

P N C T J 2 9 9 8 4 - 0 7

本資料は200/年 7 月 3 / 日付で
登録区分変更する。 [技術展開部技術協力課]

大型炉の中性子輸送効果の評価に関する研究

(受 託 研 究)

1 9 8 4 年 3 月

日本情報サービス株式会社



PNC TBJ 299 84-07

1984年3月

大型炉の中性子輸送効果の評価に関する研究*

川畠 博信 **
新浜 耕栄 **
中挾 義夫 **
山本 敏久 ***
坂東 勝 ***
竹田 敏一 ***

要　　旨

高速炉炉心計算用の三次元輸送計算コードを作成した。本コードは fine-mesh-rebalancing 法及び system rebalancing 法を用いて解の収束を図っている。この加速法の適用性を調べるための三次元テスト計算を行った。その結果、両 rebalancing を適当に組み合せて用いると実効増倍率、中性子角分布が早く収束する事が示された。加速法として最近注目をあびている拡散合成法の三次元体系への適用性を調べるために第一段階として、この手法を二次元体系へ拡張した。テスト計算では TWOTRAN-II にくらべ $1/10$ 以下の計算時間で収束する事が示された。

* 本報告書は、日本情報サービス㈱が、大阪大学工学部の協力を得て動力炉・核燃料開発事業団の委託により実施した研究成果である。

** 日本情報サービス株式会社 原子力技術部

*** 大阪大学工学部 原子力工学科

PNC
March 1984

Evaluation of Neutron Transport Effect
in Fast Reactors *

Hironobu Kawabata **
Koei Shinhama **
Yoshio Nakabasami **
Toshihisa Yamamoto ***
Masaru Bando ***
Toshikazu Takeda ***

Abstract

A three-dimensional transport code THOTH has been developed for core calculations of fast reactors. The fine-mesh rebalancing method and the system rebalancing method were adopted to converge the solution. To investigate the applicability of the two methods, a three-dimensional test calculation was performed. The appropriate use of the two rebalancing methods has efficiently converged k_{eff} and neutron angular fluxes.

We extended the diffusion synthetic acceleration method to a two-dimensional system to investigate the applicability of multi-dimensional calculations. In a test calculation, the diffusion synthetic acceleration method required computer time less than a factor of ten compared to the TWOTRAN-II code.

-
- * Study performed under contracts between Power Reactor
and Nuclear Fuel Development Corporation, Japan
Information Service Ltd. and Osaka University.
 - ** Japan Information Service Ltd.
 - *** Osaka University, Faculty of Engineering.

目 次

List of Tables

List of Figures

| | |
|-------------------------------|----|
| 1. 緒 言 | 1 |
| 2. 3 次元輸送方程式の S_n 近似 | 2 |
| 2 - 1. 中性子束分布計算の差分式 | 2 |
| 2 - 2. 計算手順 | 5 |
| 2 - 3. 計算結果 | 9 |
| 3. 中性子輸送計算のための拡散合成加速 | 23 |
| 3 - 1. 2 次元 X Y 体系での差分式 | 26 |
| 3 - 2. 計算結果 | 32 |
| 4. 結言および今後の問題点 | 33 |
| 謝 辞 | 34 |
| 参考文献 | 35 |
| 付 錄 A. 再釣合法の原理 | 36 |
| B. 拡散合成法の原理 | 39 |
| C. THOTH コード ソースリスト | 50 |

List of Tables

| | |
|-----------|---------------------------------------|
| Table 2-1 | Mesh sweep for each angular direction |
| Table 2-2 | Comparison of flux |
| Table 2-3 | Comparison of power distributions |
| Table 3-1 | Cross sections |
| Table 3-2 | Computational results |

List of Figures

- Figure 2-1 Location of $\psi_{i \pm 1/2}$, $\psi_{j \pm 1/2}$, $\psi_{k \pm 1/2}$
- Figure 2-2 Specification of surface
- Figure 2-3 Specification of angular direction
- Figure 2-4 Inner sweep procedure in THOTH
- Figure 2-5 Two-dimensional core model for 3-group test calculations
- Figure 2-6 再釣合法による固有値収束の改善
- Figure 2-7 再釣合法による中性子束収束性の改善
- Figure 2-8 内側反復計算の回数による固有値収束性への影響
- Figure 2-9 S_2 -Initial ϕ による固有値収束性の改善
- Figure 2-10 S_2 -Initial ϕ による中性子束収束性の改善
- Figure 2-11 Three dimensional core model for 3-group calculations
- Figure 2-12 Comparison of eigenvalue convergence (S_4)
- Figure 2-13 Comparison of eigenvalue convergence (S_4)
- Figure 2-14 Comparison of flux convergence (S_4)
- Figure 3-1 Mesh point for diffusion synthetic method in 2-dimensional geometry
- Figure 3-2 Geometry
- Figure 3-3 Comparison of convergent behavior of K_{eff} (3-group calculation)

1. 緒 言

高速増殖炉炉心核特性を精度よく予測するためには中性子輸送効果を考慮した核計算を実行しなければならない。燃焼初期においては制御棒が挿入されているため、制御棒反応度価値、実効倍率、出力分布等に対する中性子輸送効果が顕著になる。炉中心に制御棒が挿入された場合には二次元 RZ モデルでこの中性子輸送効果を評価できるが、オフセンターの制御棒、特に中途挿入の制御棒に対する中性子輸送効果を二次元体系の輸送計算より評価しようとするとモデリングによる近似誤差が生じる。さらに、非均質炉心になると中性子輸送効果はより強く表われるため、三次元中性子輸送を扱える計算コードの開発が望まれる。

このため、三次元輸送コードの開発に関する研究を進めた。本報告では三次元輸送コードを作成するために用いた計算方法について説明する。三次元輸送コードで特に問題となるのは収束性である。拡散計算と異なり S_n 計算では各角度分点に対応する中性子数を計算するので収束は非常におそくなる。このため、まず fine-mesh-rebalancing 法及びこの再釣合い法を全体系、全エネルギー群に適用する system-rebalancing 法をコードに組みこみ、三次元テスト問題でこの手法の有効性について調べた。

最近、中性子輸送計算の收れん加速法として拡散合成法が注目をあびている。この手法は拡散方程式に似た方程式を輸送方程式から導出し、その方程式を解くことにより加速を行う方式である。この方法は非常に有効であることが一次元体系では確かめられている。これは拡散方程式と類似の式は輸送計算にくらべ非常に早く収束できるためである。この拡散合成法を三次元輸送計算に適用した場合の有効性を調べるために、本報告では二次元体系に拡散合成法を拡張し、テスト計算により、その有効性を検討した。

2. 3次元輸送方程式の S_n 近似

2-1. 中性子束分布計算の差分式

3次元 (X, Y, Z) 体系における多群輸送方程式は

$$\mu_m \frac{\partial \psi_m}{\partial X} + \eta_m \frac{\partial \psi_m}{\partial Y} + \xi_m \frac{\partial \psi_m}{\partial Z} + \sum_t \psi_t = S_m \quad (2-1)$$

と書き表わされる。

ここで、 μ_m, η_m, ξ_m は中性子飛行方向 Ω_m の X, Y, Z 成分であり、 ψ_m は $\psi^{\theta}(X, Y, Z, \Omega_m)$ の角度依存中性子束である。 S_m は散乱および核分裂による中性子源の項である。

(2-1) 式を、差分式にするために、体系をメッシュ（ボックス）に分割する。

$$\begin{aligned} X_{i-\frac{1}{2}} < X_i < X_{i+\frac{1}{2}} & \quad i=1, 2, \dots, IT \\ Y_{j-\frac{1}{2}} < Y_j < Y_{j+\frac{1}{2}} & \quad j=1, 2, \dots, JT \\ Z_{k-\frac{1}{2}} < Z_k < Z_{k+\frac{1}{2}} & \quad k=1, 2, \dots, KT \end{aligned} \quad (2-2)$$

ここで、 $i \pm \frac{1}{2}, j \pm \frac{1}{2}, k \pm \frac{1}{2}$ は、各ボックス表面の中心位置を表わし、i, j, k はボックスの中心位置を表わす。(Fig. 2-1)

(2-1) 式の差分式は

$$\begin{aligned} \frac{\mu(\psi_{i+\frac{1}{2}} - \psi_{i-\frac{1}{2}})}{\Delta X} + \frac{\eta(\psi_{j+\frac{1}{2}} - \psi_{j-\frac{1}{2}})}{\Delta Y} + \frac{\xi(\psi_{k+\frac{1}{2}} - \psi_{k-\frac{1}{2}})}{\Delta Z} \\ + \sum_t \psi_t = S \end{aligned} \quad (2-3)$$

となる。但し、(2-3) 式では、添字 m は省略している。

さらに、 ΔX , ΔY , ΔZ は

$$\Delta X = X_{i+\frac{1}{2}} - X_{i-\frac{1}{2}}$$

$$\Delta Y = Y_{j+\frac{1}{2}} - Y_{j-\frac{1}{2}}$$

$$\Delta Z = Z_{k+\frac{1}{2}} - Z_{k-\frac{1}{2}}$$

(2-4)

を表わしている。

(2-3) 式を計算するためには、 $\psi_{i\pm\frac{1}{2}}$, $\psi_{j\pm\frac{1}{2}}$, $\psi_{k\pm\frac{1}{2}}$ と ψ の関係として、次のダイヤモンド差分近似を用いる。

$$2 \cdot \psi = \psi_{i+\frac{1}{2}} + \psi_{i-\frac{1}{2}}$$

$$= \psi_{j+\frac{1}{2}} + \psi_{j-\frac{1}{2}}$$

$$= \psi_{k+\frac{1}{2}} + \psi_{k-\frac{1}{2}}$$

(2-5)

そうすると、 $\Omega_m > 0$ の方向に飛んでいる中性子に対しては、(2-5)式を用いて

(2-3)式より $\psi_{i+\frac{1}{2}}$, $\psi_{j+\frac{1}{2}}$, $\psi_{k+\frac{1}{2}}$ を消去することにより、

$$\psi = \frac{2 \cdot |\frac{\mu}{\Delta X}| \cdot \psi_{i-\frac{1}{2}} + 2 \cdot |\frac{\gamma}{\Delta Y}| \cdot \psi_{j-\frac{1}{2}} + 2 \cdot |\frac{\epsilon}{\Delta Z}| \cdot \psi_{k-\frac{1}{2}} + S}{2 \cdot |\frac{\mu}{\Delta X}| + 2 \cdot |\frac{\gamma}{\Delta Y}| + 2 \cdot |\frac{\epsilon}{\Delta Z}| + \sum_t} \quad (2-6)$$

として、 ψ が計算されることになる。(2-6)式より、S と \sum_t が決まっている。
 $\psi_{i-\frac{1}{2}}$, $\psi_{j-\frac{1}{2}}$, $\psi_{k-\frac{1}{2}}$ がすでに計算されていれば、 ψ が計算できることになる。そのあと、(2-5)式の関係より、 $\psi_{i+\frac{1}{2}}$, $\psi_{j+\frac{1}{2}}$, $\psi_{k+\frac{1}{2}}$ は

$$\psi_{i+\frac{1}{2}} = 2 \cdot \psi - \psi_{i-\frac{1}{2}}$$

$$\psi_{j+\frac{1}{2}} = 2 \cdot \psi - \psi_{j-\frac{1}{2}}$$

$$\psi_{k+\frac{1}{2}} = 2 \cdot \psi - \psi_{k-\frac{1}{2}}$$

(2-7)

として、求められる。

$\mu < 0$, $\gamma > 0$, $\epsilon > 0$ の方向に飛んでいる中性子に対しては、(2-6)式の

$\psi_{i-\frac{1}{2}}$ を $\psi_{i+\frac{1}{2}}$ に置きかえればよい。他の方向に対しても、同様な方法で ψ を計算することができる。

一方、この方法では(2-7)式の関係より、中性子束が負になることがある。その場合には、(SET TO ZERO)と呼ばれる手法を使用している。

例として、 $\psi_{i+\frac{1}{2}}$ が負になった場合を説明する。

(2-7)式の結果として、 $\psi_{i+\frac{1}{2}}$ が負になったとすると、 $\psi_{i+\frac{1}{2}}$ をゼロとして(2-3)式を変形すると、(2-6)式のかわりに

$$\psi = \frac{\left| \frac{\mu}{\Delta X} \right| \cdot \psi_{i-\frac{1}{2}} + 2 \cdot \left| \frac{\eta}{\Delta Y} \right| \cdot \psi_{j-\frac{1}{2}} + 2 \cdot \left| \frac{\xi}{\Delta Z} \right| \cdot \psi_{k-\frac{1}{2}} + S}{2 \cdot \left| \frac{\eta}{\Delta Y} \right| + 2 \cdot \left| \frac{\xi}{\Delta Z} \right| + \sum_t} \quad (2-8)$$

として、 ψ を計算する式が得られる。

この式により、ふたたび ψ を計算したあと、(2-7)式により $\psi_{i+\frac{1}{2}}$ を計算する。 $\psi_{j+\frac{1}{2}}$ 、 $\psi_{k+\frac{1}{2}}$ に対しても、同じように再計算を行なうことになる。

このような現象は、計算開始時に S がゼロであることから生じることが多いので、注意する必要がある。

2-2. 計算手順

前述の(2-6)式で示した差分式に従い、メッシュ点の中性子を順番に計算していく(スイープ)。このスイープには、(X, Y, Z)の各方向に対し、「+」、「-」の方法がある。例えば、X方向に「+」のスイープは LEFT から RIGHT に向かう(-Xから+Xの方向)ことを表わしている。(Fig.2-2)

角度依存中性子束は、(Fig.2-3)の8象限のどれかに含まれるが、各象限の中性子束の計算では、定められた方向にしかスイープすることができない。

例えば、第4象限の角度依存中性子束に対しては

X方向は「+」方向

Y方向は「-」方向

Z方向は「+」方向

にスイープしなければならない。

同様に、その他の象限の角度依存中性子束に対しては、そのスイープの方向を(Table 2-1)に示す。

次に、(Fig. 2-4)に従って、8方向のスイープの手順を示す。

a)

- ① : ライン#1 から第7象限の方向の角度依存中性子束（第7象限内のすべての方向を考える）について、(-, -, -) 方向のスイープを行なう。
- ② : 境界上の中性子束は、境界条件に従い
反射条件 : 反射方向の角度依存中性子束をセットする。
真空条件 : 角度依存中性子束をゼロにする。
上記の方法で、値をセットする。
- ③ : 同じライン#1 を逆にスイープする。この時、(+, -, -) 方向に、第8象限がスイープされる。
- ④ : 次のライン#2 について、①～③の処理を行なう。

b)

- ⑤ : X・Y面に接するライン#J のスイープを完了したあと、②と同じように境界上の角度依存中性子束をセットする。
- ⑥ : ライン#J から、(-, +, +) 方向に第6象限の角度依存中性子束についてスイープを行なう。
- ⑦ : ②と同じように、境界上のセットを行なったあと、逆に(+, +, +) 方向で第5象限のスイープを行なう。
- ⑧ : ⑥～⑦をライン#1 まで行なう。

c)

- ⑨ : ①～⑧でスイープが完了した斜線の平面#1 から、次の平面#2 に移る。その後、ライン#J+1 よりライン#2 J に向って、第7象限のスイープを行なう。
- ⑩ : ③と同じように、第8象限のスイープを行なう。

d)

- ⑪ : ⑨～⑩を繰返して、最上面(平面#k)までのスイープを行なう。
- ⑫ : ②と同じように境界上のセットを行なう。
- ⑬ : 次に、①～⑩の処理を平面#k から平面#1 まで行なう。この時、スイープされる象限は、1, 2, 3, 4 象限である。

各象限の角度依存中性子束は、 S_n オーダーの N に対して、

$$MMX = n \cdot (n + 2) / 8 \quad (2-9)$$

の方向が、考えられている。

前述の計算では、各スイープの時に、角度成分として、 MMX 個がまとめてスイープされる。

THOTH コードでは、外側反復計算で求めた他群からのソース (QQ) に、内側反復計算で求めた中性子束から計算した自群散乱ソースを加算している。新しく計算されていく角度依存中性子束の効果を、できる限り新しいソース項として用いるために、角度依存中性子束の計算の度に、中性子束の再計算を行なった。この場合、計算時間が、2 倍程度になったほか、中性子束が非対称なままで収束してしまうことになった。そのために、現在は体系全体のスイープが 1 回完了するごとに中性子束の再計算を行なっている。

体系全体のスイープが 1 回完了すると、中性子束より各セル内での吸収量、もれ量が計算され、再釣合法による中性子束の加速が行なわれる。

再釣合法を適用する場合には、体系全体に対して適用する場合 (system-rebalancing 法) と、メッシュ単位に適用する場合 (fine-mesh-rebalancing 法) の 2 種類が使い分けられるようになっている。これは、体系の非均質性や大きさによって使い分けなければならない。

体系の固有値 (実効増倍率) は、体系全体の核分裂量、吸収量および体系からのもれ量を足し合わせて計算する。

中性子束を出力が 1.0 になるように規格化したあと、求めた固有値を用いて、核分裂ソース ($FISS$) および各群のソース (QQ) が次のように計算される。

$$FISS = \sum_{g'} \nu \sum_f \phi^{g'} / k_{eff}$$

$$QQ^g = \chi^g \cdot FISS + \sum_{g'} \sum_s \phi^{g' \rightarrow g} \cdot \phi^{g'}$$

(2-10)

外側反復 2 回目以降は、前回の内側反復計算で、すでに各セルごとの吸収量、もれ量

が求まっているので、これをすべての群について足し合わせたあと、再釣合法を用いてソースとのバランスをとって中性子束および核分裂ソースの加速を行なう。

計算の終了は、内側反復計算が指定された回数に達したときか、中性子束が収束したときである。

中性子束の収束は、求められた新しい中性子束 (SCLFL) と、前回の中性子束 (SCLOL2) を比較し、その変化率の最大値を各群ごとに計算する。この時、固有値 (EIGEN) も、前回の固有値 (EGNOLD) との変化率を計算する。収束判定は、以下の 2 つの条件が満足されているかどうかで調べる。

$$\max_{i,j,k} \left| \frac{SCLFL - SCLOL2}{SCLFL} \right| < CONCR$$

$$\max_{i,j,k} \left| \frac{EIGEN - EGNOLD}{EIGEN} \right| < CONCRE$$

ここで、CONCR, CONCRE は、それぞれ中性子束、固有値の収束判定基準値であり、 10^{-4} , 10^{-5} が使用される。

THOTH コードでは、計算時間が長くなることを考慮して、次のように計算時間を判定して再計算用のファイル出力を行なう。収束しない場合には、外側反復計算の 1 回の所要時間と、残り時間を比較し、残り時間が少なければ、次の外側反復計算は行なわずにファイル出力を行なった後、計算を終了する。次回の計算ではそのファイルの値を初期値として計算を行なうことができる。

2-3. 計算結果

(I) 2次元体系での再釣合法による加速の効果

再釣合法による加速の効果を調べるために、(Fig.2-5)に示すように、一片が 15.5 cm の燃料集合体と、水反射体による $\frac{1}{4}$ 小型炉心体系で、3群の計算を行なった。収束条件は、中性子束変化率、固有値変化率ともに 10^{-3} を使用した。

再釣合法の効果を調べるために、

- ① 加速しない場合
 - ② 内側反復計算のみに再釣合法を使用する場合
 - ③ 内側反復計算、外側反復計算の両方に再釣合法を使用する場合
- の3ケースについて計算を行なった。

以下にその結果について説明する。

(Fig.2-6) は、固有値の変化の様子を示したもので横軸には計算時間を示している。この図でわかるように内側反復計算のみに再釣合法を適用するだけで、大幅な改善が行なわれたことがわかる。次に (Fig.2-7) に、中性子束変化率の様子を示しているが、この図では、外側反復計算にも再釣合法を適用しなければ十分な加速が行なわれないことがわかる。

いずれの場合も加速しない場合に、収束条件に近づくに従って収束が遅くなるのに対して、再釣合法により、きわめて急速に収束することが示されている。

(Fig.2-8) で、内側反復計算の回数の違いによる固有値の変化の様子を示す。この図において、内側反復計算が 5 回と 7 回の場合を示しているが、両者の間には有意な差は見られない。

従って、この体系の計算では内側反復計算の回数は 5 回で十分である。結論として前述の (Fig.2-6) の場合が、内側反復計算を 10 回行なっていることを考えると、実際の再釣合法による加速効果は倍程度になると思われる。

次に、 S_8 計算をするために、一担 S_2 計算を行なった場合の効果を述べる。(Fig.2-9) に示すように、 S_2 計算で収束したあと、 S_8 計算では中性子束が急速に収束

することがわかる。この効果は、体系が均質であるため、 S_2 計算と S_8 計算の角度依存中性子束が類似しているためと思われる。非均質な体系にこの方法を適用してその効果を評価したいと思っている。

(ii) TWOTRANコードとの計算結果の比較

THOTHコードにより、2次元体系の計算を行なう際に、X Y軸を用いてZ軸にメッシュを1点取ったモデルで計算を行なった。この場合 S₄ 計算で $4 \times 4 \times 1$ メッシュでは収束したが、 $6 \times 6 \times 1$ メッシュでは収束しなかった。

原因を調べるために、TWOTRANコードで、1次元体系の計算を行なった。この場合には、 5×1 メッシュで収束したものの中性子束分布に異常が見られた。

いずれの場合も特に熱群の中性子束の収束性の悪さが目立った。

さらに、TWOTRANコードで 5×2 メッシュの計算をしたところ正常な結果が得られたので、この現象は Sn コード 特有のものか、再釣合法加速に特有のものであると思われる。

次に、THOTHコードで収束した $4 \times 4 \times 1$ メッシュの計算結果を TWOTRAN コードの結果と比較した。体系は (Fig. 2-5) に示したものとほぼ同じであるが、反射体の厚さを 20 cm、Z 軸方向を 1 メッシュにしている。

(Table 2-2) に、中性子束分布を示している。特に反射体の所で大きな差異が見られるが、これはスイープの順番の問題で、角度依存中性子束が上下非対称になることから特に中性子束のチルトが大きくなる反射体の部分で、Z 軸方向へのものが生じたものである。

THOTHコードの計算内容の検証のために、計算モデルとして X-Y 体系と同様に X-Z, Y-Z 体系で計算したが、結果はまったく問題がなかった。

THOTHコードと TWOTRANコードの固有値は、THOTHコードで 0.7711, TWOTRANコードで 0.7571 となり、これは中性子束分布の違いによるものであると考えられる。

(iii) 3次元非均質体系への再釣合法の適用

Fine-mesh-rebalancing 法は、加速効果は大きいが、適用する体系によっては発散する場合がある。特に、メッシュの数が多く中性子束分布が大きくひずむ体系に適用する場合には、その安定性について検討する必要がある。

System-rebalancing 法は、体系全体の吸収量、ソース量、体系よりのもれ量から、全エネルギー群で平均されたファクターを計算し、中性子束分布に適用する加速法である。収束に対する安定性は高いが、個々のメッシュ点の中性子束のバランスを考えないために、加速効果はあまり大きくなれない。この方法は **fine-mesh-rebalancing** 法で、個々のメッシュ点の中性子束のバランスが取れなかつた場合に用いられるのが普通である。

TWOTRAN コードでは、両者の長所を組み合わせて使うために、内側反復計算の奇数回目には **coarse-mesh-rebalancing** 法、偶数回目には **system-rebalancing** 法を用いている。

THOTH コードに、再釣合法を適用した場合の収束の安定性および有効性を検討するため、次のような 3 種類の加速法について、テスト計算を行なった。

- ① **system-rebalancing** 法のみを適用
- ② 奇数回目に **fine-mesh-rebalancing** 法、偶数回目に **system-rebalancing** 法を適用
- ③ **fine-mesh-rebalancing** 法を適用

いずれも、外側反復計算については **fine-mesh-rebalancing** 法を用いている。方法②は **TWOTRAN** コードと同じである。

計算体系は (Fig.2-11) に示すような 1 片 15.5 cm の立方体セルからなる $4 \times 4 \times 4$ の集合体と、それをとり囲む厚さ 15.5 cm の水反射体よりなっている。エネルギー群数は 3 群で S_4 計算を行ない内側反復計算の回数は最大で 5 回である。収束条件は、固有値変化率が 10^{-4} 、中性子束変化率が 5×10^{-4} である。

結果としては、方法②、③は、いずれも固有値が振動して収束しなかった。原因は

内側反復計算で中性子束が振動し、収束しないまま外側反復計算に入っていたためである。対策として前回の外側反復計算での中性子束変化率に比べて、今回の内側反復計算の中性子束変化率が大きくなつた場合、それ以降は **system-rebalancing** 法のみを用いるようにした。但し、一括計算を中断した後の再計算では、前回の結果がないために、再度 **fine-mesh-rebalancing** 法が用いられる事になる。さらに、**fine-mesh-rebalancing** 法で計算した加速ファクターの値が、2.0以上の時、又は0.5以下の時には、このような振動が発生して収束しないことがわかつた。そのため、THOTHコードでは、このファクターの上下限値を指定し、その範囲を出た場合は **system-rebalancing** 法を適用するようにした。

(Fig.2-12) では計算開始後初期の固有値の変化を示し、(Fig.2-13) では計算開始1分後以降の固有値の変化を示している。又、(Fig.2-14) では (Fig.2-13) に対して、中性子束変化率の様子を示している。

方法①では、固有値の変化が少なくて、収束が遅いが、途中から **fine-mesh-rebalancing** 法で再計算を行なうと、外側反復計算を1, 2回した後、再度 **system-rebalancing** 法にもどつてしまふ。しかし、この時固有値が急速に収束していることがわかる。

再計算後も **system-rebalancing** 法のみでは、固有値は収束せず、そのため中性子束の収束も悪くなつてゐる。

方法②では、約4分後に固有値 1.0146 に収束した。約2分後に山を生じてゐるのは、再計算により **fine-mesh-rebalancing** 法が用いられたためである。

方法③が、計算初期では最もよい収束性を示したが、途中より固有値が発散する方向に動き、中性子束変化率も振動した。

以上の結果より、計算の効率を上げるには、少なくとも計算初期では、数回の **fine-mesh-rebalancing** 法が必要であり、中性子束分布が十分収束した後は、**fine-mesh-rebalancing** 法は用いない方が、収束の安定性の面から有利であることがわかつた。

のことから、system-rebalancing 法に加えて、周期的に、fine-mesh
- rebalancing 法を用いる加速法が有効であるとわかった。

(Table 2-3) には、方法②で計算した中性子束分布から求めた出力分布と、
CITATION コードで計算した出力分布の比較を示す。結果としては、燃料集合体
A, B の境界や反射体の周辺の輸送効果の大きい所で、出力に差異が生じている。

1群 CORE CENTER

| | | | |
|-----------|---------|---------|---------|
| 4.997-3* | 3.337-3 | 7.842-4 | 3.447-5 |
| 4.726-3** | 3.365-3 | 8.374-4 | 3.871-5 |
| | 2.215-3 | 5.049-4 | 1.982-5 |
| | 2.445-3 | 5.913-4 | 2.194-5 |
| (対称性) | 良好) | 1.463-4 | 1.696-5 |
| | | 1.880-4 | 2.210-5 |
| | | | 6.365-6 |
| | | | 8.177-6 |

2群

| | | | |
|-----------|---------|---------|---------|
| 2.115-3* | 1.403-3 | 4.949-4 | 5.400-5 |
| 2.000-3** | 1.413-3 | 5.298-4 | 5.797-5 |
| | 9.237-4 | 3.186-4 | 3.311-5 |
| | 1.009-3 | 3.737-4 | 3.751-5 |
| | | 1.044-4 | 1.505-5 |
| | | 1.343-4 | 1.946-5 |
| | | | 4.939-6 |
| | | | 6.711-6 |

3群

| | | | |
|-----------|---------|---------|---------|
| 1.938-3* | 1.626-3 | 2.530-3 | 1.453-3 |
| 1.732-3** | 1.617-3 | 1.911-3 | 1.078-3 |
| | 1.300-3 | 1.754-3 | 9.686-4 |
| | 1.524-3 | 2.236-3 | 1.246-3 |
| | | 1.022-3 | 4.014-4 |
| | | 1.465-3 | 5.824-4 |
| | | | 1.116-4 |
| | | | 1.596-4 |

* THOTH ** TWOTRAN

Table 2-2 Comparison of flux

Table 2-1 Mesh Sweep for Each Angular Direction

| Mesh sweep | Angular direction | | | | | | | |
|---------------|-------------------|---|---|---|---|---|---|---|
| | 1 | 2 | 3 | 4 | 5 | 6 | 7 | 8 |
| X | + | - | - | + | + | - | - | + |
| Y | + | + | - | - | + | + | - | - |
| Z | + | + | + | + | - | - | - | - |

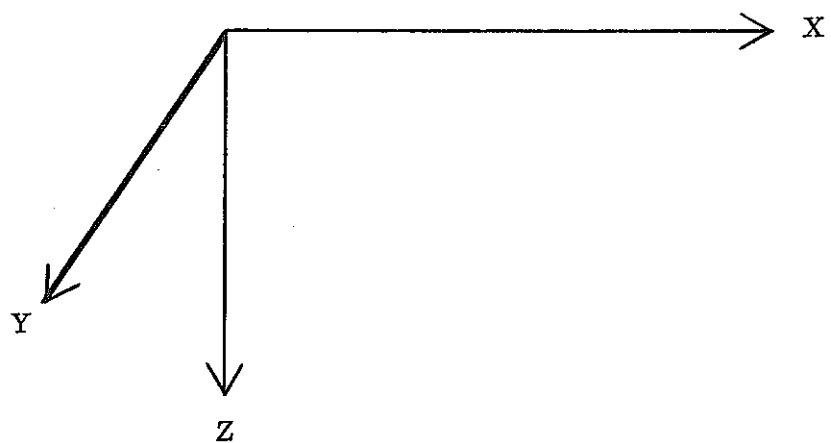
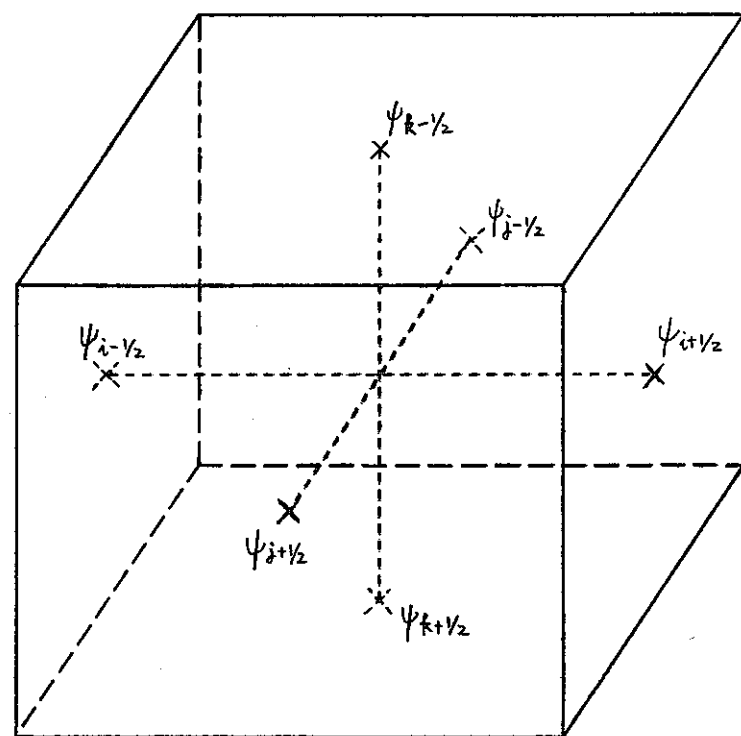


Fig. 2 - 1 Location of $\psi_i \pm \frac{1}{2}$, $\psi_j \pm \frac{1}{2}$ and $\psi_k \pm \frac{1}{2}$

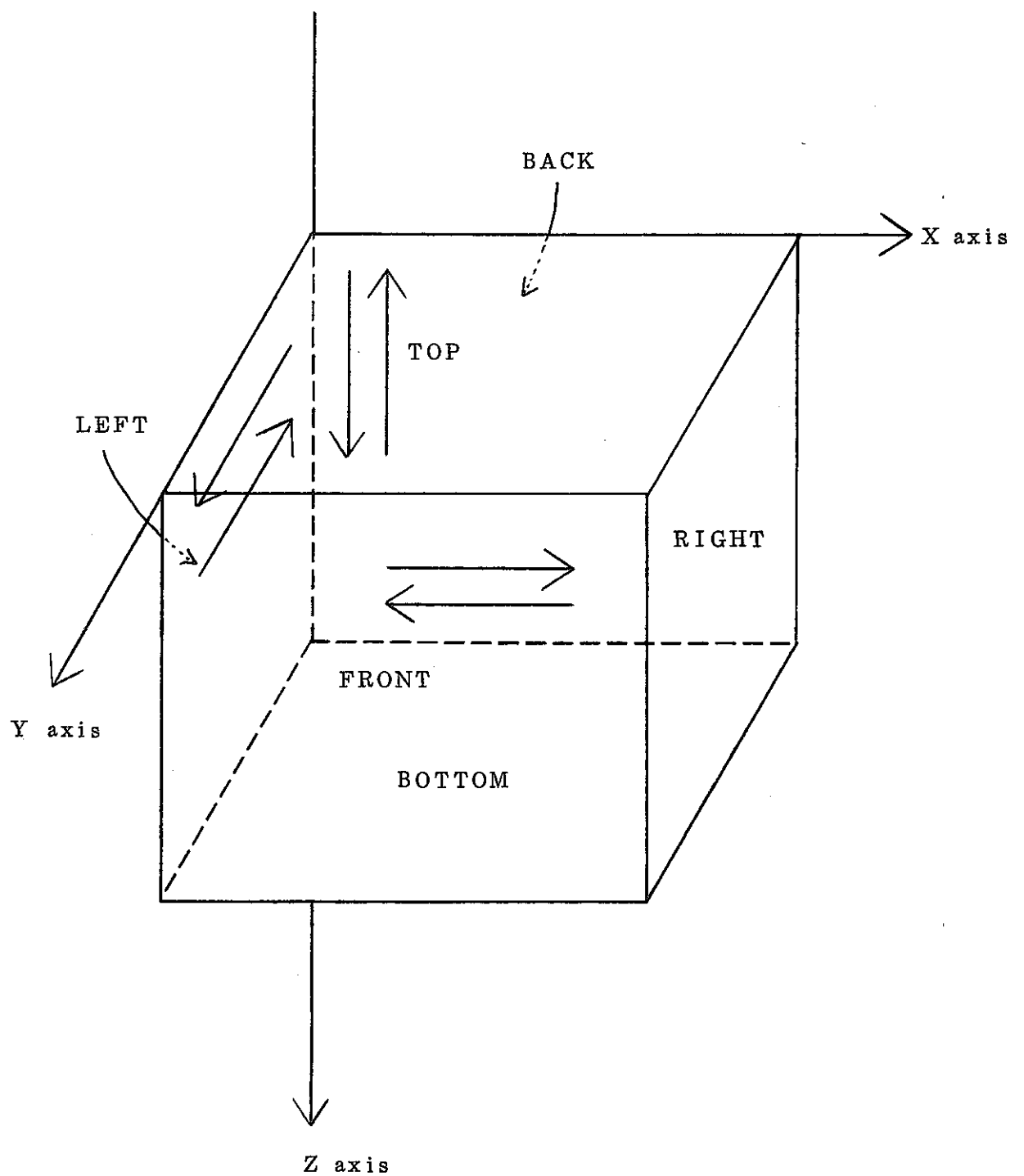
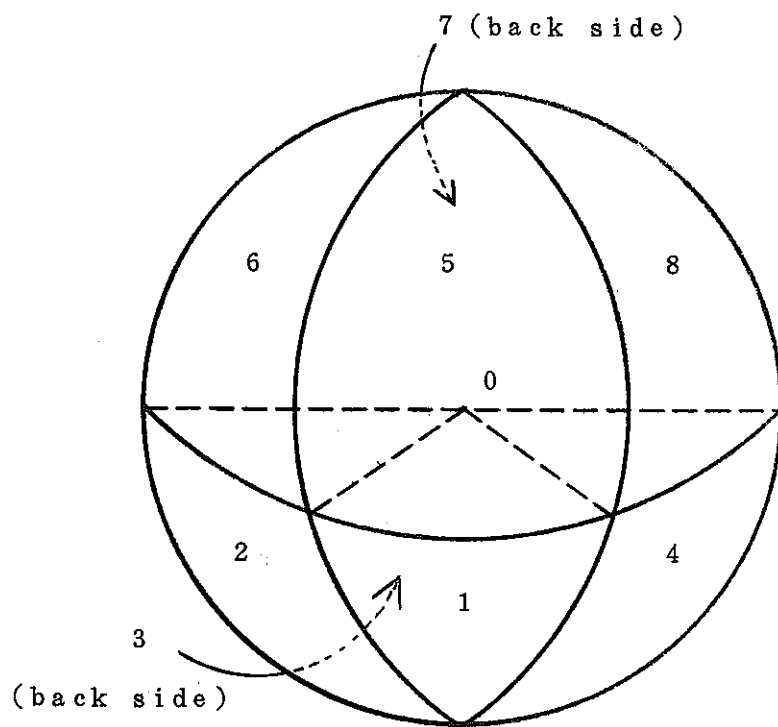


Fig. 2 - 2 Specification of surface

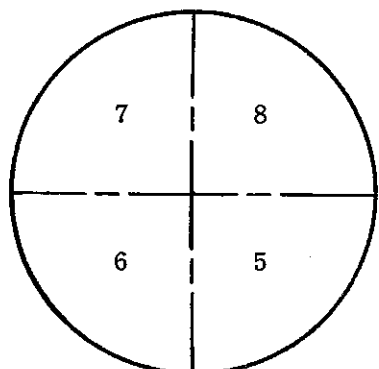
| | | | | |
|--|------------------------|-------------------------|------------------------|---|
| 0.63 E-2 0.68 E-2 (-7.3 %) | 0.98 0.87 (12.6) | 1.78 2.24 (-20.6) | 1.97 1.81 (8.8) | |
| | 1.27 1.02 (24.5) | 1.94 2.26 (-14.1) | 1.94 1.74 (11.5) | R E F L E C T O R |
| Eigenvalue 1.0146 1.0380 (-2.3) | | 1.82 2.23 (-18.4) | 1.58 1.53 (3.27) | |
| THOTH CITATION (%-DIF.) | | | 1.18 0.99 (19.2) | |
| | | | R E F L E C T O R | |

Table 2-3 Comparison of Power Distributions



Definition of each quadrant and origin

Upper view



Lower view

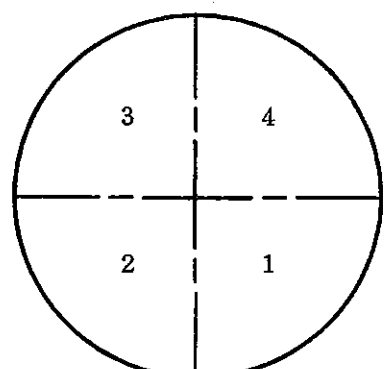


Fig. 2 - 3 Specification of angular direction

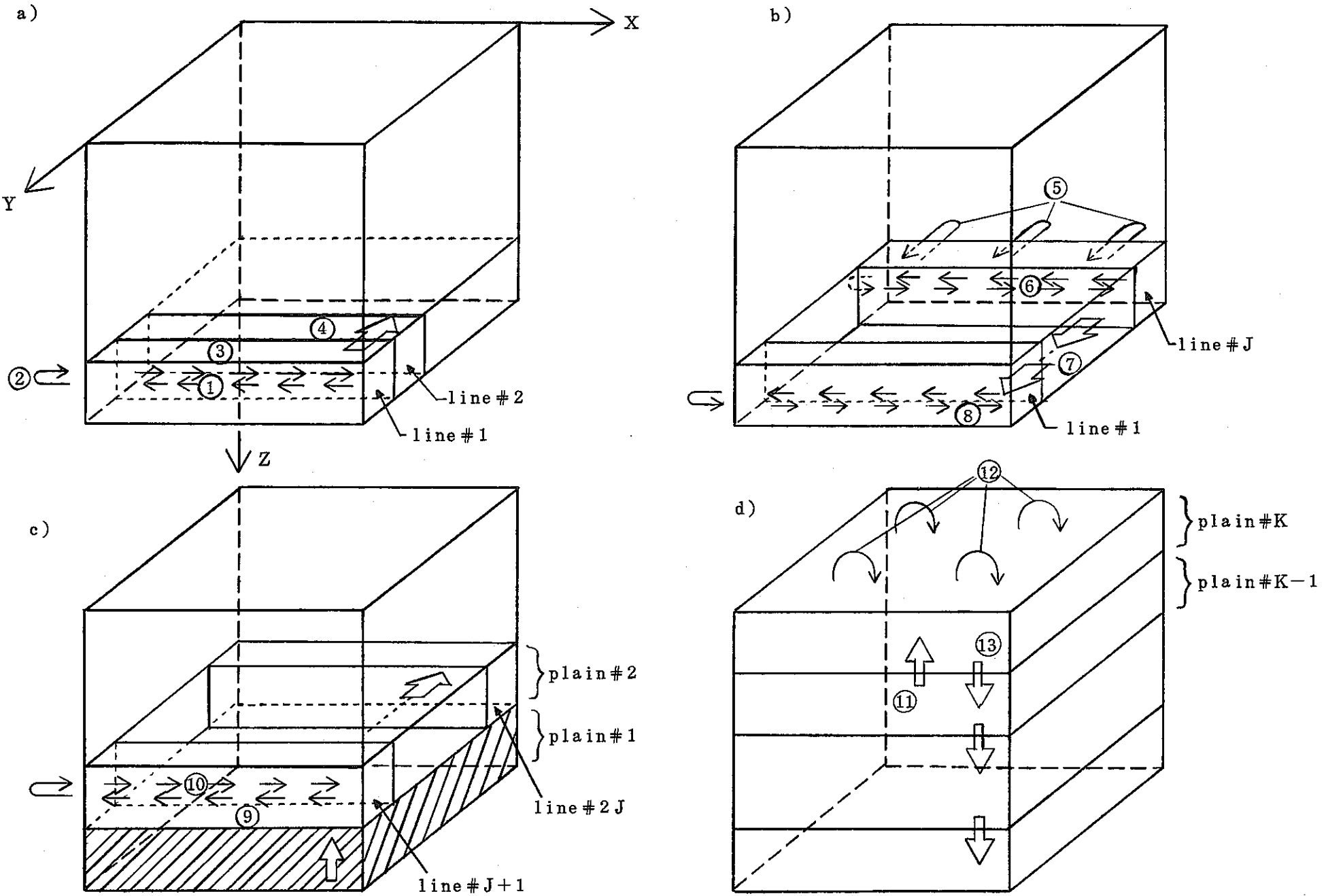


Fig. 2 - 4 Inner sweep procedure in THOTH

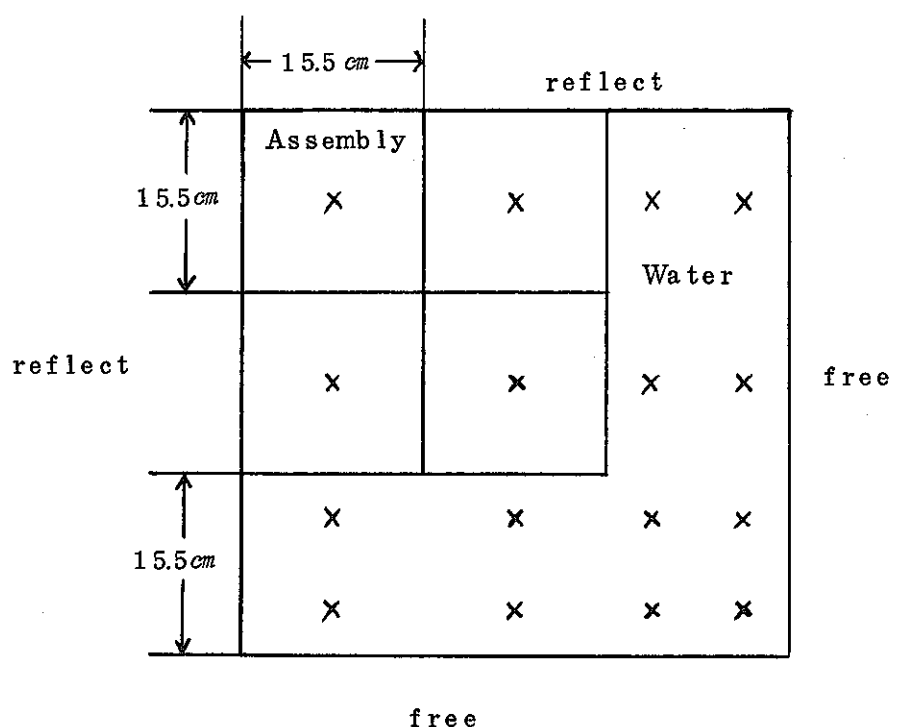
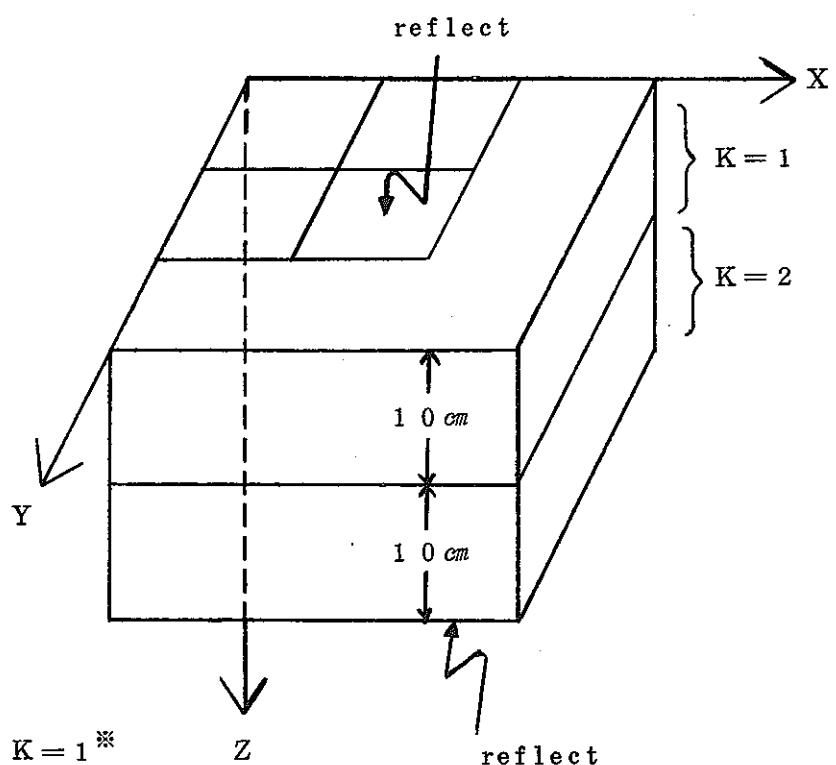


Fig. 2 - 5 Two-dimensional core model
for 3 group test calculation

* For K=2, same as K=1

3. 中性子輸送計算のための拡散合成加速

S_n 法で中性子輸送方程式を解く場合、異なる方向の角度依存中性子束（以後、angular flux と書く）は、与えられたソース分布（原子炉で扱う問題では普通等方分布である）に対して、別々に計算されるためにそれらを全ての角度にわたり総和したスカラー量の中性子束（angular flux に対して scalar flux という）の収束の仕方は、拡散方程式の場合に比べて極めて緩慢である。この scalar flux の収束の緩慢さは、直接にソース分布の収束を遅くし、間接的には固有値が、だらだらと変動を続け、いつまでも収束しないという事態を招く。

拡散合成法（diffusion synthetic acceleration method）はこの欠点を克服するための一つの手段である。

この方法を説明するために、まず S_n 法の計算手順を簡単に次式で表わすことにする。

$$\vec{\Omega} \cdot \nabla \tilde{\psi}^l + \sum_t \tilde{\psi}^l = \sum_s \phi^l + Q \quad (3-1)$$

$$\phi^{l+1} = \tilde{\phi}^l \equiv \int d\Omega \tilde{\psi}^l \quad (3-2)$$

(3-1) 式で $\tilde{\psi}^l$ は、 l 回目の S_n 計算で計算される変数であり、正しくはエネルギー群、場所及び方向を添字で明記すべきであるが、見やすくするため省略してある。以後 $\tilde{\psi}^l$ はすべてのエネルギー群、すべての場所、すべての方向を代表して表わすものとする。

(3-1) 式を解いて得た $\tilde{\psi}^l$ から (3-2) 式により次回 ($l+1$ 回目) の (3-1) 式右辺のソースに使う ϕ^{l+1} を計算する。

ここで (3-1) 式の P_0 モーメント（すなわち $\int d\Omega$ の積分）をとると

$$\nabla \cdot \tilde{J}^l + \sum_t \tilde{\phi}^l = \sum_s \phi^l + Q \quad (3-3)$$

を得る。ここで $\tilde{J}^l \equiv \int d\Omega \vec{\Omega} \tilde{\psi}^l$ は中性子流を表わす。(3-3) 式において

$$\tilde{J}^l = -D \nabla \tilde{\phi}^l \quad (D = \frac{1}{3\sum_{tr}})$$

とするのが拡散理論であるが、当然のことながら輸送理論とは一致しない。しかし、輸送理論の中性子流 \vec{J} を

$$\vec{J} = -D \nabla \phi + \vec{R} \quad (\vec{R} : \text{補正項})$$

と表わすことはできる。ところで(3-1)式の P_1 モーメント(すなわち $\int \vec{Q} d\Omega$ の積分)をとることによって、次式が得られる。

$$\frac{1}{3} \nabla \tilde{\Phi}^l + \tilde{\Gamma}^l + \sum_t \frac{\tilde{\Gamma}^l}{Z_t} = 0 \quad (3-4)$$

ここで $\tilde{\Gamma}^l$ は $\tilde{\Phi}^l$ には強く依存しない項である。これから

$$\tilde{\frac{\Gamma}{J}}^l = -D^* \nabla \tilde{\Phi}^l + \tilde{\vec{R}}^l \quad \left(\begin{array}{l} D^* \equiv \frac{1}{3 \sum_t} \\ \tilde{\vec{R}}^l \equiv -\frac{\tilde{\Gamma}^l}{Z_t} \end{array} \right)$$

が導びかれ(3-3)式に用いると、輸送方程式は

$$-\nabla \cdot D^* \nabla \tilde{\Phi}^l + (\sum_t - \sum_s) \tilde{\Phi}^l = Q - \nabla \cdot \tilde{\vec{R}}^l - \sum_s (\tilde{\Phi}^l - \phi^l) \quad (3-5)$$

と書き直すことができる。いいかえれば、この式は(3-1)式を解いて得た $\tilde{\psi}^l$ から計算した新しい $\tilde{\Phi}^l$ が満たすべき式である。

$l \rightarrow \infty$ (収束時) では $\tilde{\Phi}^l = \phi^l$ であるが、当然ながら $\tilde{\vec{R}}^l \rightarrow 0$ ではない。

そこで、 $l \rightarrow \infty$ で $\tilde{\Phi}^l = \phi^l$ となることを見込んで次の方程式を考える。

$$-\nabla \cdot D^* \nabla \phi^* + \sum_k \phi^* = Q - \nabla \cdot \tilde{\vec{R}}^l \quad (3-6)$$

ここでは、もはや $\tilde{\Phi}^l$ は上の式を満たさないので ϕ^* と、別の変数に置き換えられている。当然ながら $l \rightarrow \infty$ で $\phi^* = \phi^l = \tilde{\Phi}^l$ 。この式は $\tilde{\vec{R}}^l$ が求まったあと ($\tilde{\vec{R}}^l = \frac{\tilde{\Gamma}^l}{J^l} + D^* \nabla \tilde{\Phi}^l$) ではについて解ける式である。

ここで、もし \tilde{R}^l の l による変化が $\tilde{\Phi}^l$ に比べて少ないとすれば、(3-6)式の解 ϕ^* は近似的に (3-1) 式の収束値のように見なせるから次回 ($l+1$ 回目) の反復計算において ϕ^* を使う方が、 $\tilde{\Phi}^l$ を使うより有利である。実際 \tilde{R}^l は一次元 slab 体系の場合 $\frac{2}{3}\nabla\tilde{\Phi}_z^l$ ($\tilde{\Phi}_z = \frac{1}{4\pi} \int_1^1 P_2(\mu) \psi(\mu) d\mu$) となり原子炉のような（拡散的な）問題では $\tilde{\Phi}_z^l = 0$ となる領域が多いから有利である。また、仮りに \tilde{R}^l の変動が大きくても (3-6) 式は収束の極限でのバランス $\phi^l = \tilde{\Phi}^l$ を包含した方程式であるから、真値への漸近を早めることができ。これが拡散合成法の原理であり、ここで紹介したものもその中でも特にソース補正法と呼ぶ。

(3-6) 式を直接解いて解 ϕ^* を ϕ^{l+1} として用いる方法もあるが、その場合 $\nabla\tilde{R}^l$ 項の計算に微分が含まれているので、加速の計算がメッシュのとり方に敏感になってくる。そこで今度の計算では (3-6) 式の代わりにこれと等価な (3-6) 式から (3-5) 式を差引いた

$$-\nabla \cdot D^* \nabla f^{l+1} + \sum_R f^{l+1} = \sum_S (\tilde{\Phi}^l - \phi) \quad (3-7)$$

を用いた。ここで f は

$$\phi^{l+1} = \tilde{\Phi}^l + f^{l+1} \quad (3-8)$$

である。すなわち (3-6) 式でなく (3-7) 式を解いて f^{l+1} を求め、それから ϕ^{l+1} を (3-8) 式で求める方法である。こうすることにより (3-6) 式を具体的に数値計算する場合に大きな問題となる、輸送と拡散の差分の違いに基づく加速の不安定性をいくぶんかは確実に取除くことができる。

3 - 1. 2 次元 X Y 体系での差分式

拡散合成法による輸送計算の加速において安定な加速結果を得るには輸送方程式と拡散型加速方程式の間の整合性が必要とされる。これは Alcouffe によって最初に指摘され、離散化した加速拡散方程式の導出は離散化した輸送方程式をその差分の構造を保ちつつ、変形することによって達成される。以下に 1 次元 slab 体系での Larsen の方法を 2 次元 X Y 体系に拡張し、加速方程式を導出する。(3-1) 式に対応して離散化した輸送釣合方程式は

$$\begin{aligned} & \frac{\mu_m}{h_i} (\Psi_{m,i+\frac{1}{2},j}^{l+\frac{1}{2}} - \Psi_{m,i-\frac{1}{2},j}^{l+\frac{1}{2}}) + \frac{\eta_m}{h_j} (\Psi_{m,i,j+\frac{1}{2}}^{l+\frac{1}{2}} - \Psi_{m,i,j-\frac{1}{2}}^{l+\frac{1}{2}}) + \sigma_{t,i,j} \Psi_{m,i,j}^{l+\frac{1}{2}} \\ &= \sum_{n=0}^N (2n+1) \sigma_{s,n,i,j} \sum_{k=0}^n R_{n,m}^k \phi_{n,i,j}^{k,l} + Q_{m,i,j} \end{aligned} \quad (3-9)$$

ここで Ψ_m は方向 m の中性子束で (i, j) は空間格子を表わし、半整数は格子境界上の量であることを示す。 ℓ は前と同様に反復回数を示す。 μ_m, η_m は方向 m の単位ベクトル Ω_m の、 x および y 方向の成分である。 $R_{n,m}^k$ は方向 m に対する球面調和関数値、 $\phi_{n,i,j}^k$ は中性子束の角度モーメントで

$$\phi_{n,i,j}^k = \sum_m R_{n,m}^k \Psi_{m,i,j} W_m \quad (3-10)$$

W_m は方向 m の荷重であり、次のように規格化されている。

$$\sum_m W_m = 1 \quad (3-11)$$

ダイヤモンド差分式は

$$\Psi_{m,i,j}^{l+\frac{1}{2}} = \frac{1}{2} (\Psi_{m,i+\frac{1}{2},j}^{l+\frac{1}{2}} + \Psi_{m,i-\frac{1}{2},j}^{l+\frac{1}{2}}) \quad (3-12a)$$

$$= \frac{1}{2} (\Psi_{m,i,j+\frac{1}{2}}^{l+\frac{1}{2}} + \Psi_{m,i,j-\frac{1}{2}}^{l+\frac{1}{2}}) \quad (3-12b)$$

である。

加速の式は P_1 方程式から導かれる。これは拡散近似が P_1 近似から導かれたのと同様である。そこで (3-9) 式の次の三つのモーメントをとる。

$$L_0^0 = \sum_m R_{0m}^0 w_m = \sum_m w_m \quad (3-13a)$$

$$L_1^0 = \sum_m R_{1m}^0 w_m = \sum_m w_m \mu_m \quad (3-13b)$$

$$L_1^1 = \sum_m R_{1m}^1 w_m = \sum_m w_m \eta_m \quad (3-13c)$$

得られる三つの式の中には二次以上の高次の中性子束のモーメントが現われるが、それらの項は P_1 近似が輸送厳密解となるような状況ではゼロとなる。加速の過程で外挿する量はこれら以外のゼロ次及び一次のモーメントだけである。これらの量は次の内側反復のソースとして用いられるので、添字を $(\ell + \frac{1}{2})$ あるいは ℓ から $(\ell + 1)$ に置き換えた式からもとの式を差し引くと高次モーメントは消え次式を得る。

$$\begin{aligned} & \frac{1}{h_i} (f_{1,i+\frac{1}{2},j}^{0,\ell+1} - f_{1,i-\frac{1}{2},j}^{0,\ell+1}) + \frac{1}{h_j} (f_{1,i,j+\frac{1}{2}}^{0,\ell+1} - f_{1,i,j-\frac{1}{2}}^{0,\ell+1}) \\ & + (\sigma_{tij} - \sigma_{s0ij}) (\phi_{0,ij}^{0,\ell+1} - \phi_{0,ij}^{0,\ell+1}) = \sigma_{s0ij} (\phi_{0,ij}^{0,\ell+\frac{1}{2}} - \phi_{0,ij}^{0,\ell}) \end{aligned} \quad (3-14a)$$

$$\begin{aligned} & \frac{1}{3h_i} (f_{0,i+\frac{1}{2},j}^{0,\ell+1} - f_{0,i-\frac{1}{2},j}^{0,\ell+1}) + (\sigma_{tij} - \sigma_{s1ij}) (\phi_{1,ij}^{0,\ell+1} - \phi_{1,ij}^{0,\ell+\frac{1}{2}}) \\ & = \sigma_{s1ij} (\phi_{1,ij}^{0,\ell+\frac{1}{2}} - \phi_{1,ij}^{0,\ell}) \end{aligned} \quad (3-14b)$$

$$\begin{aligned} & \frac{1}{3h_j} (f_{0,i+\frac{1}{2},j}^{0,\ell+1} - f_{0,i-\frac{1}{2},j}^{0,\ell+1}) + (\sigma_{tij} - \sigma_{s1ij}) (\phi_{1,ij}^{1,\ell+1} - \phi_{1,ij}^{1,\ell+\frac{1}{2}}) \\ & = \sigma_{s1ij} (\phi_{1,ij}^{1,\ell+\frac{1}{2}} - \phi_{1,ij}^{1,\ell}) \end{aligned} \quad (3-14c)$$

ここで ϕ は

$$\phi_{n,i+\frac{1}{2},j}^{k,l+1} = \phi_{n,i+\frac{1}{2},j}^{k,l+\frac{1}{2}} + f_{n,i+\frac{1}{2},j}^{k,l} \quad (n=0,1 : 0 \leq k \leq n) \quad (3-15)$$

等を満たす格子境界上の量である。格子平均の中性子束の値は (3-12) 式に、輸送バランス式に用いたと同じ操作をすることによって

$$\phi_{0,ij}^{0,l+1} = \phi_{0,ij}^{0,l+\frac{1}{2}} + \frac{1}{2}(f_{0,i+\frac{1}{2},j}^{0,l+1} + f_{0,i-\frac{1}{2},j}^{0,l+1}) \quad (3-16a)$$

$$= \phi_{0,ij}^{0,l+\frac{1}{2}} + \frac{1}{2}(f_{0,i,j+\frac{1}{2}}^{0,l+1} + f_{0,i,j-\frac{1}{2}}^{0,l+1}) \quad (3-16b)$$

$$\phi_{1,ij}^{0,l+1} = \phi_{1,ij}^{0,l+\frac{1}{2}} + \frac{1}{2}(f_{1,i+\frac{1}{2},j}^{0,l+1} + f_{1,i-\frac{1}{2},j}^{0,l+1}) \quad (3-16c)$$

$$\phi_{1,ij}^{1,l+1} = \phi_{1,ij}^{1,l+\frac{1}{2}} + \frac{1}{2}(f_{1,i,j+\frac{1}{2}}^{1,l+1} + f_{1,i,j-\frac{1}{2}}^{1,l+1}) \quad (3-16d)$$

より求まる。 $\phi_n^{k,l+\frac{1}{2}}$ は加速の段階では既知である。

(3-14) 式および (3-16) 式の 7 つの式が加速の式である。通常の拡散合成法ではこれらの式から f_1^0 及び f_1^1 を消去し、 f_0^0 に対する拡散型方程式を導き、その解を用いて (3-16) 式から中性子束モーメントの外挿を行う。しかし、得られた拡散型方程式には隣接する 4 格子 ((i, j), (i+1, j), (i, j+1), (i+1, j+1)) のすべての格子境界上の変数が含まれているため (2 次元 X Y 体系では 12 個、3 次元 X Y Z 体系では 54 個)、差分に関する新たな近似を入れて格子の角の点に計算点を移さなければ通常の拡散コードが使用できない。(Fig 3-1 参照) この新たな差分の近似を入れることにより加速の式と輸送方程式の間の整合性は悪くなるが、とりあえずこの方式を用いる。加速拡散方程式は以下のようになる。

$$\begin{aligned}
& - \frac{1}{h_{i+\frac{1}{2}}} \left\{ \bar{D}_{x,i+1,j+\frac{1}{2}} (f_{0,i+\frac{3}{2},j+\frac{1}{2}}^{0,\ell+1} - f_{0,i+\frac{1}{2},j+\frac{1}{2}}^{0,\ell+1}) - \bar{D}_{x,i,j+\frac{1}{2}} (f_{0,i+\frac{1}{2},j+\frac{1}{2}}^{0,\ell+1} - f_{0,i-\frac{1}{2},j+\frac{1}{2}}^{0,\ell+1}) \right. \\
& - \frac{1}{h_{j+\frac{1}{2}}} \left\{ \bar{D}_{y,i+\frac{1}{2},j+1} (f_{0,i+\frac{1}{2},j+\frac{3}{2}}^{0,\ell+1} - f_{0,i+\frac{1}{2},j+\frac{1}{2}}^{0,\ell+1}) - \bar{D}_{y,i+\frac{1}{2},j} (f_{0,i+\frac{1}{2},j+\frac{1}{2}}^{0,\ell+1} - f_{0,i+\frac{1}{2},j-\frac{1}{2}}^{0,\ell+1}) \right. \\
& + \bar{\sigma}_{R,i+\frac{1}{2},j+\frac{1}{2}} f_{0,i+\frac{1}{2},j+\frac{1}{2}}^{0,\ell+1} = \frac{1}{4h_{i+\frac{1}{2}}h_{j+\frac{1}{2}}} (g_{0,ij}^{0,\ell+\frac{1}{2}} + g_{0,i+1,j}^{0,\ell+\frac{1}{2}} + g_{0,i,j+1}^{0,\ell+\frac{1}{2}} + g_{0,i+1,j+1}^{0,\ell+\frac{1}{2}}) \\
& - \frac{1}{2h_{i+\frac{1}{2}}h_{j+\frac{1}{2}}} \left\{ (g_{1,ij}^{0,\ell+\frac{1}{2}} + g_{1,i+1,j+1}^{0,\ell+\frac{1}{2}}) - (g_{1,i,j+1}^{0,\ell+\frac{1}{2}} + g_{1,i+1,j}^{0,\ell+\frac{1}{2}}) \right\} \\
& - \frac{1}{2h_{i+\frac{1}{2}}h_{j+1}} \left\{ (g_{1,i+1,j+1}^{1,\ell+\frac{1}{2}} + g_{1,i,j+1}^{1,\ell+\frac{1}{2}}) - (g_{1,i+1,j}^{1,\ell+\frac{1}{2}} + g_{1,i,j}^{1,\ell+\frac{1}{2}}) \right\} \quad (3-17)
\end{aligned}$$

ここで

$$h_{i+\frac{1}{2}} = \frac{1}{2}(h_i + h_{i+1}), \quad h_{j+\frac{1}{2}} = \frac{1}{2}(h_j + h_{j+1}) \quad (3-18a, b)$$

$$\bar{D}_{x,i,j+\frac{1}{2}} = \frac{1}{2h_{j+\frac{1}{2}}} (\bar{D}_{i,j+1} h_{j+1} + \bar{D}_{i,j} h_j) \quad (3-18c)$$

$$\bar{D}_{y,i+\frac{1}{2},j} = \frac{1}{2h_{i+\frac{1}{2}}} (\bar{D}_{i+1,j} h_{i+1} + \bar{D}_{i,j} h_i) \quad (3-18d)$$

$$\bar{D}_{ij} = \frac{1}{3(\sigma_{t,ij} - \sigma_{s,ij})} \quad (3-18e)$$

$$\begin{aligned}
\bar{\sigma}_{R,i+\frac{1}{2},j+\frac{1}{2}} &= \frac{1}{4h_{i+\frac{1}{2}}h_{j+\frac{1}{2}}} (\sigma_{R,ij} h_i h_j + \sigma_{R,i+1,j} h_{i+1} h_j \\
& + \sigma_{R,i,j+1} h_i h_{j+1} + \sigma_{R,i+1,j+1} h_{i+1} h_{j+1}) \quad (3-18f)
\end{aligned}$$

$$\sigma_{R,ij} = \sigma_{t,ij} - \sigma_{s,ij} \quad (3-18g)$$

$$g_{0,ij}^{0,\ell+\frac{1}{2}} = \sigma_{s,ij} (\phi_{0,ij}^{0,\ell+\frac{1}{2}} - \phi_{0,ij}^{0,\ell}) h_i h_j \quad (3-19a)$$

$$g_{1,ij}^{0,l+\frac{1}{2}} = \frac{\sigma_{s,ij}}{\sigma_{t,ij} - \sigma_{s,ij}} (\phi_{1,ij}^{0,l+\frac{1}{2}} - \phi_{1,ij}^{0,l}) h_i \quad (3-19b)$$

$$g_{1,ij}^{1,l+\frac{1}{2}} = \frac{\sigma_{s,ij}}{\sigma_{t,ij} - \sigma_{s,ij}} (\phi_{1,ij}^{1,l+\frac{1}{2}} - \phi_{1,ij}^{1,l}) h_i \quad (3-19c)$$

であり、また(3-16)式の代わりに次式を用いる。

$$\phi_{0,ij}^{0,l+1} = \phi_{0,ij}^{0,l+\frac{1}{2}} + \frac{1}{4} (f_{0,i+\frac{1}{2},j+\frac{1}{2}}^{0,l+1} + f_{0,i+\frac{1}{2},j-\frac{1}{2}}^{0,l+1} + f_{0,i-\frac{1}{2},j+\frac{1}{2}}^{0,l+1} + f_{0,i-\frac{1}{2},j-\frac{1}{2}}^{0,l+1}) \quad (3-20a)$$

$$\phi_{1,ij}^{0,l+1} = \phi_{1,ij}^{0,l+\frac{1}{2}} - \frac{D_{ij}}{2h_i} (f_{0,i+\frac{1}{2},j+\frac{1}{2}}^{0,l+1} + f_{0,i+\frac{1}{2},j-\frac{1}{2}}^{0,l+1} - f_{0,i-\frac{1}{2},j+\frac{1}{2}}^{0,l+1} - f_{0,i-\frac{1}{2},j-\frac{1}{2}}^{0,l+1}) \quad (3-20b)$$

$$\phi_{1,ij}^{1,l+1} = \phi_{1,ij}^{1,l+\frac{1}{2}} - \frac{D_{ij}}{2h_j} (f_{0,i+\frac{1}{2},j+\frac{1}{2}}^{0,l+1} + f_{0,i-\frac{1}{2},j+\frac{1}{2}}^{0,l+1} - f_{0,i+\frac{1}{2},j-\frac{1}{2}}^{0,l+1} - f_{0,i-\frac{1}{2},j-\frac{1}{2}}^{0,l+1}) \quad (3-20c)$$

内側反復計算は、まず(3-9)式および(3-12)式から $\psi_{m,ij}^{l+\frac{1}{2}}$ を計算し(3-19)式の拡散、ソース項の計算を経て(3-17)式で外挿量 $f_{0,i+\frac{1}{2},j+\frac{1}{2}}^{0,l+\frac{1}{2}}$ を求め、最後に(3-20)式で $\phi_{0,ij}^{0,l+1}$, $\phi_{1,ij}^{0,l+1}$, $\phi_{1,ij}^{1,l+1}$ を外挿することにより閉じる。もし $\phi_{0,ij}^{0,l+1}$ が負になることがあれば、その回は外挿をやめて、次の(3-9)式右辺ソース項には $\phi_{0,ij}^{0,l+1}$ に代えて $\phi_{0,ij}^{0,l+\frac{1}{2}}$ そのものを用いる。

内側反復で、自群散乱の変動から外挿量 f_0^0 を解く式(3-17)式を求めたが、同様に核分裂の変動から外側反復の加速拡散方程式を新たに導き検証した。外側反復を表わす輸送方程式を

$$\vec{\Omega} \cdot \nabla \tilde{\psi}_g^k + \sigma_{t,g} \tilde{\psi}_g^k = \sum_g \int \sigma_{s,g} \tilde{\psi}_g^k d\Omega + \frac{\chi_g}{k_{\text{eff}}^k} \sum_g \nu \sigma_{f,g} \phi_g^k \quad (3-21)$$

と表わすと、この度導出した外側反復の加速の式は

$$\begin{aligned}
 & -\nabla \cdot D_g \nabla f_g^{k+1} + \sigma_{Rg} f_g^{k+1} \\
 &= \sum_{g' \neq g} \tilde{\sigma}_s g' \rightarrow g f_g^{k+1} + \chi_g \left(\frac{\sum_{g'} \nu \sigma_f g' \tilde{\Phi}_{g'}^k}{\tilde{k}_{\text{eff}}^k} - \frac{\sum_{g'} \nu \sigma_f g' \tilde{\Phi}_{g'}^k}{k_{\text{eff}}^k} \right) \quad (3-22)
 \end{aligned}$$

で与えることができる。ここで $\tilde{\Psi}^k$, $\tilde{\Phi}^k$ は k 回目の Sn 外側反復で求められる量であり、 \tilde{k}_{eff}^k はその直後に次式で計算される更新された固有値である。

$$\tilde{k}_{\text{eff}}^k = \frac{\int dV \sum_{g'} \nu \sigma_f g' \tilde{\Phi}_{g'}^k}{\frac{1}{\tilde{k}_{\text{eff}}^k} \int dV \sum_{g'} \nu \sigma_f g' \tilde{\Phi}_{g'}^k} \quad (3-23)$$

これをもとに (3-22) 式の核分裂変動項を所与の値として、多群拡散方程式の固定ソース問題を解く、求まった f_g^{k+1} から次式により中性子束及び固有値を外挿する。

$$\phi_g^{k+1} = \tilde{\Phi}_g^k + f_g^{k+1} \quad (3-24)$$

$$k_{\text{eff}}^{k+1} = \frac{\int dV \sum_{g'} \nu \sigma_f g' \phi_{g'}^{k+1}}{\frac{1}{\tilde{k}_{\text{eff}}^k} \int dV \sum_{g'} \nu \sigma_f g' \tilde{\Phi}_{g'}^k} \quad (3-25)$$

この ϕ_g^{k+1} 及び k_{eff}^{k+1} が次回($k+1$)回目の外側反復で (3-21) 式ソース項に用いられる。ここでも内側反復の場合と同様に ϕ_g^{k+1} が負になった場合は外挿をやめ $\tilde{\Phi}^k$ 、として用いる。

3-2. 計算結果

(Fig. 3-2) および(Table 3-1)にテスト計算に用いた体系および断面積を示す。計算は拡散合成法による加速について、1) 内側反復及び外側反復の加速を用いた場合、2) 内側反復の加速のみを用いた場合および3) 基準計算として TWOTRAN コードによる再釣合加速法を用いた場合について行なった。

結果を(Table 3-2)に示す。収束精度はすべて $|\Delta k_{eff}/k_{eff}| < 10^{-5}$ である。加速法が異なること以外はすべての条件を同一にしてある。拡散合成法では内側反復でとく拡散方程式の最大反復回数は5回とした。外側反復でとく多群拡散方程式はこの体系の場合、上方散乱がなく、固定ソース問題であるのでそれ自身のための外側反復を必要としない。また、外側反復と内側反復の両方を行なった計算では、1回目の S_n 計算を始める前に多群拡散固有値問題を $|\Delta k_{eff}/k_{eff}| < 10^{-4}$ まで解き、その拡散解を S_n 計算の初期値として用いている。これに要した時間も計算時間に含まれている。

(Fig. 3-3)に計算時間 (cpu time) に対する固有値 k_{eff} の収束の様子を示す。各外側反復毎に固有値をプロットしてある。(Fig. 3-3)から以下の事がわかる。

- 1) 拡散合成法では1回の外側反復での変動分 Δk_{eff} が反復初期において大きいため真値への近づき方が早い。しかし k_{eff} が収束するほど変動分は減少し、激しく振動するようなことはない。このことは拡散合成法がつねに中性子バランスのとれた加速の式を扱っていることに因ると考えられる。
- 2) 今回導入した外側反復の加速法は、初期値に拡散解を用いたことによる効果を除いて考えても有効であり、1)で述べた性質をより強める働きをすることがわかる。
- 3) 計算に要した時間は、拡散合成法、再釣合法ともほぼ外側反復の回数で判断することができるようである。
- 4) これは具体的には示していないが、3つの計算のいずれも結果で得られる中性子束は各メッシュとも 10^{-8} 以内で一致した。

以上の点から拡散合成法の二次元 XY 体系への応用が有効であることが一応確認されたので、今後、二次元体系についての研究を進めてゆくとともに、三次元体系への適用性についても研究してゆく予定である。

4. 結言および今後の問題点

高速増殖炉炉心核特性を精度よく予測するために中性子輸送効果を考慮する三次元輸送コードの開発を行なった。中性子輸送効果については、拡散計算（CITATIONコード）との計算結果の比較により示された。輸送計算（Sn）における中性子束分布および固有値の収束性の悪さを改善するために、種々の再釣合法の検討を行なった。

この結果、fine-mesh-rebalancing法とsystem-rebalancing法を、周期的に使い分ける方法が有効であることがわかった。この方法については、テストモデルでは有効性を確認できたが、大型炉に対しては、まだ十分に有効性を確認していない。このため、今後は大型炉を含む種々の炉心に対して再釣合法による中性子束分布や固有値の変化を十分に検討し、最適な加速が行なわれるようとする必要がある。

また、新しい加速法として拡散合成法を二次元XY体系で定式化して、テストを行なった。テストモデルに対してはTWOTRANコードに対して、10倍以上速く収束することがわかった。これも種々の炉心に適用して、その効果を確認し、三次元XYZ体系への拡張を行なう必要がある。今後、この加速法を今回開発した三次元輸送コードに組込み、大型炉の計算を行なうことにより、その有効性を検証してゆく予定である。

謝 詞

本研究を進めるに当り、有益な情報を提供され、御助言を頂いた動力炉・核燃料開発事業団高速増殖炉開発本部の白方・大谷の各氏に深く感謝の意を表する次第である。

参 考 文 献

- (1) K. Lathrop and F. Brinkley, LA-4848-MS (1973)
- (2) K. Lathrop , LA-6333-MS (1976)
- (3) R. E. Alcouffe , J. Nucl. Sci. Eng. , 64, 344 (1977)
- (4) E. W. Larsen , J. Nucl. Sci. Eng. , 82, 64 (1982)
- (5) E. W. Larsen , J. Nucl. Sci. Eng. , 82, 47 (1982)

Appendix A

再釣合法の原理

再釣合法は、計算体系をいくつかの領域に分け、その各領域の中性子束バランスを強制的にとることによって、中性子束分布をより収束解に近づける、という手法である。具体的には、各領域の中性子束にリバランスファクターを乗じて、各領域の中性子バランスをとり、そのリバランスファクターを乗じた後の中性子束を新しい中性子束として用いる。内側反復計算においては、各群でのソース分布が与えられており、下のようなバランス式を解くのが目的である。

$$-\sum_i^8 S_i L_{i \rightarrow c}^{\frac{1}{2}} + \sum_i^8 S_i L_{c \rightarrow i}^{\frac{1}{2}} + \sum_{tr_c}^{\frac{1}{2}} \phi_c^{\frac{1}{2}} V_c = Q_c^{\frac{1}{2}} V_c \quad (A-1)$$

ただし、 $L_{i \rightarrow c}$ は、左右上下前後の 8 つの近接する領域 i から中心 (center) の領域へ流れ込む部分中性子束を示している。 S_i , V_c , Q_c はそれぞれ近接する領域 i との境界の面積、中心領域の体積、およびソースである。一般に未収束の中性子束では (A-1) 式を満たさないので、中心および近接する 8 つの中性子束にリバランスファクターを乗じて、その結果、中性子バランスがとれたと仮定する。

$$L_{i \rightarrow c}^{\frac{1}{2}} \propto \phi_i^{\frac{1}{2}}, \quad L_{c \rightarrow i}^{\frac{1}{2}} \propto \phi_c^{\frac{1}{2}} \quad (A-2)$$

であるから、リバランスファクターを乗じた後のバランス式は、下のようになる。

$$-\sum_i^8 S_i f_i^{\frac{1}{2}} L_{i \rightarrow c}^{\frac{1}{2}} + \sum_i^8 S_i f_c^{\frac{1}{2}} L_{c \rightarrow i}^{\frac{1}{2}} + \sum_{tr_c}^{\frac{1}{2}} f_c^{\frac{1}{2}} \phi_c^{\frac{1}{2}} V_c = Q_c^{\frac{1}{2}} V_c \quad (A-3)$$

f は、リバランスファクターである。 f_i は、近接する領域のリバランスファクターでありこれを既知とすれば、中心領域のリバランスファクターは、下の式で与えられる。

$$f_c^{\frac{1}{2}} = \frac{Q_c^{\frac{1}{2}} V_c + \sum_i^8 S_i f_i^{\frac{1}{2}} L_{i \rightarrow c}^{\frac{1}{2}}}{\sum_i^8 S_i L_{c \rightarrow i}^{\frac{1}{2}} + \sum_{tr_c}^{\frac{1}{2}} \phi_c^{\frac{1}{2}} V_c} \quad (A-4)$$

上式は全領域の f が収束条件を満たすまで繰り返し計算される。

通常は、多い場合でも 100 回以内で収束する（収束条件 10^{-4} の場合）ので、実際のコード上では、200 回計算しても収束しない場合は、リバランスファクターが求まらないとして、加速は行なわないようにしている。

求められたリバランスファクターは、古い中性子束分布にそれぞれ乗じられ、それを新しい中性子束分布として、再び内側反復計算を続ける。

以上の操作は各群で独立して行なわれている。

外側反復計算は、最後の内側反復計算で計算されたもれの量と中性子束分布を用いて、全群について総和した中性子バランス式を解く。

すなわち

$$-\sum_i^S S_i f_i \sum_j^G L_{i \rightarrow c}^j + \sum_i^S S_i f_c \sum_j^G L_{c \rightarrow i}^j + f_c V_c \sum_j^G \sum_a^G \phi_c^j = \frac{1}{k} f_c V_c \sum_j^G \nu \sum_a^G \phi_c^j \quad (A-5)$$

$$f_c = \frac{\sum_i^S S_i f_i \sum_j^G L_{i \rightarrow c}^j}{\sum_i^S S_i \sum_j^G L_{c \rightarrow i}^j + V_c \sum_j^G \sum_a^G \phi_c^j - \frac{1}{k} V_c \sum_j^G \nu \sum_a^G \phi_c^j} \quad (A-6)$$

求められたリバランスファクターは、内側反復計算の場合と同様に中性子束分布に用いられる他、核分裂ソース分布にも用いられる。

Fine-mesh-rebalancing 法は、バランスをとる領域を各メッシュごとに取る方法であり、system-rebalancing 法はメッシュの取り方に関係なく体系全体でのバランスをとる方法である。

System-rebalancing 法の場合はリバランスファクターを求めるのに反復計算は不要で下の式によって求められる。

内側反復計算の場合

$$f = \frac{\sum_{\text{SYSTEM}} Q^g V}{\sum_{\text{SYSTEM}} S L_{(\text{net})}^g + \sum_{\text{SYSTEM}} \sum_{\text{tr}} \phi^g V} \quad (\text{A}-7)$$

外側反復計算の場合

$$f = \frac{\sum_{\text{SYSTEM}} \sum_{\text{G}} r \sum_f \phi^g V / k_{\text{eff}}}{\sum_{\text{SYSTEM}} \sum_{\text{G}} S L_{(\text{net})}^g + \sum_{\text{SYSTEM}} \sum_{\text{G}} \sum_a \phi^g V} \quad (\text{A}-8)$$

ただし、 \sum_{SYSTEM} , \sum_{G} はそれぞれ空間及びエネルギー群についての総和を示す。

Appendix B

拡散合成法の原理

多群中性子輸送方程式の数値解は通常 S_n 近似により求められるが多次元体系では収束が遅いため計算時間が膨大になる。このため TWOTRAN 等の輸送コードで拡散理論の結果に対する輸送補正を大型炉心で計算しても、その解が収束しているかどうか、空間メッシュ数は充分かどうか等につき調べる必要がある。多次元輸送コードには粗メッシュ再釣合法及び chebyshev 加速法が收れん加速法としてよく用いられており、特に粗メッシュ再釣合法は多次元体系に応用されているが中性子もれが少ない大型の炉心で衝突当たりの吸収割合が少ない場合には、この方法も有効ではなくなり不安定な加速法となってしまう事が Reed により示されている。最近 Reed, Gelbard - Hageman, Alcouffe - Lewis, Alcouffe, Lewis, Painter 等は拡散合成法と称される輸送計算加速法の有効性について調べている。一次元体系での適用例を見ると拡散合成法は他の加速法に比べ非常に有効である事が示されている。ここでは拡散合成法を二次元体系に応用してその有効性につき論じる。

エネルギー群 g 群における中性子輸送方程式を考える。

$$-\Omega \nabla \tilde{\Psi}_g^l + \sum_t^g \tilde{\Psi}_g^l(r, \Omega) = \sum_s^{g \rightarrow g} \phi_g^{l-1}(r) + QQ^g(r) \quad (B-1)$$

$\tilde{\Psi}_g^l$: g 群 l 番目内側反復での角度依存中性子束

\sum_t^g : g 群の全断面積

$\sum_s^{g \rightarrow g}$: g 群の自群散乱断面積

QQ^g : g 群のソース（核分裂+散乱項）

ϕ_g^{l-1} : g 群の中性子束

(B-1) 式の自群散乱項に表われる中性子束 ϕ_g を拡散合成法により予測する。このため輸送方程式 (B-1) を次の拡散方程式に似た形式に変形する。

$$\text{但し } -\nabla \cdot D^g \nabla \phi_g^l + \sum_r \phi_g^l = QQ^g(r) - R_g^l \quad (B-2)$$

$$R_g^l = \nabla \cdot \tilde{J}_g^l + \nabla \cdot D^g \nabla \tilde{\phi}_g^l \quad (B-3)$$

$$\tilde{J}^l = \int d\Omega \Omega \tilde{\Psi}_g^l(r, \Omega) \quad (B-4)$$

$$\tilde{\phi}_g^l = \int d\Omega \tilde{\Psi}_g^l(r, \Omega) \quad (B-5)$$

(B-1) 式より $\tilde{\Psi}_g^l$ を求め (B-4) に代入し R_g^l を計算する。つぎに (B-2) 式を解き ϕ_g^l を求め (B-1) 式の右辺の項を求める。この操作をくり返し行ない ψ , ϕ を収束させる。

Table 3-1 Cross Sections

| Region | Group | Σ_a | $V\Sigma f$ | Σ_{tr} | $\Sigma^{1 \rightarrow g}$ | $\Sigma^{2 \rightarrow g}$ | $\Sigma^{3 \rightarrow g}$ |
|--------|-------|------------|-------------|---------------|----------------------------|----------------------------|----------------------------|
| Fuel | 1 | 0.2737-2 | 0.3714-2 | 0.3410 | 3.079-1 | 0 | 0 |
| | 2 | 0.2219-1 | 0.6855-2 | 0.6869 | 3.032-2 | 6.1659-1 | 0 |
| | 3 | 0.4749-1 | 0.5001-1 | 1.0077 | 1.232-5 | 4.8136-2 | 9.602-1 |
| Water | 1 | 0.1003-3 | 0 | 0.3699 | 3.1258-1 | 0 | 0 |
| | 2 | 0.2447-3 | 0 | 0.8737 | 5.7159-2 | 7.7817-1 | 0 |
| | 3 | 0.6807-2 | 0 | 1.4940 | 2.3630-5 | 9.5295-2 | 1.4872 |

fission
spectrum

$$x^1 = 1.0$$

$$x^2 = x^3 = 0$$

Table 3-2 Computational Results

| | | Eigenvalue | Number of Outer Iterations | Calculational Time (sec) |
|----------------------------------|-----------------|------------|----------------------------|--------------------------|
| Diffusion Synthetic Acceleration | Outer and Inner | 0.78956 | 15 | 1.73 |
| | Inner only | 0.78957 | 27 | 4.65 |
| Rebalance Acceleration | | 0.78961 | 98 | 15.23 |

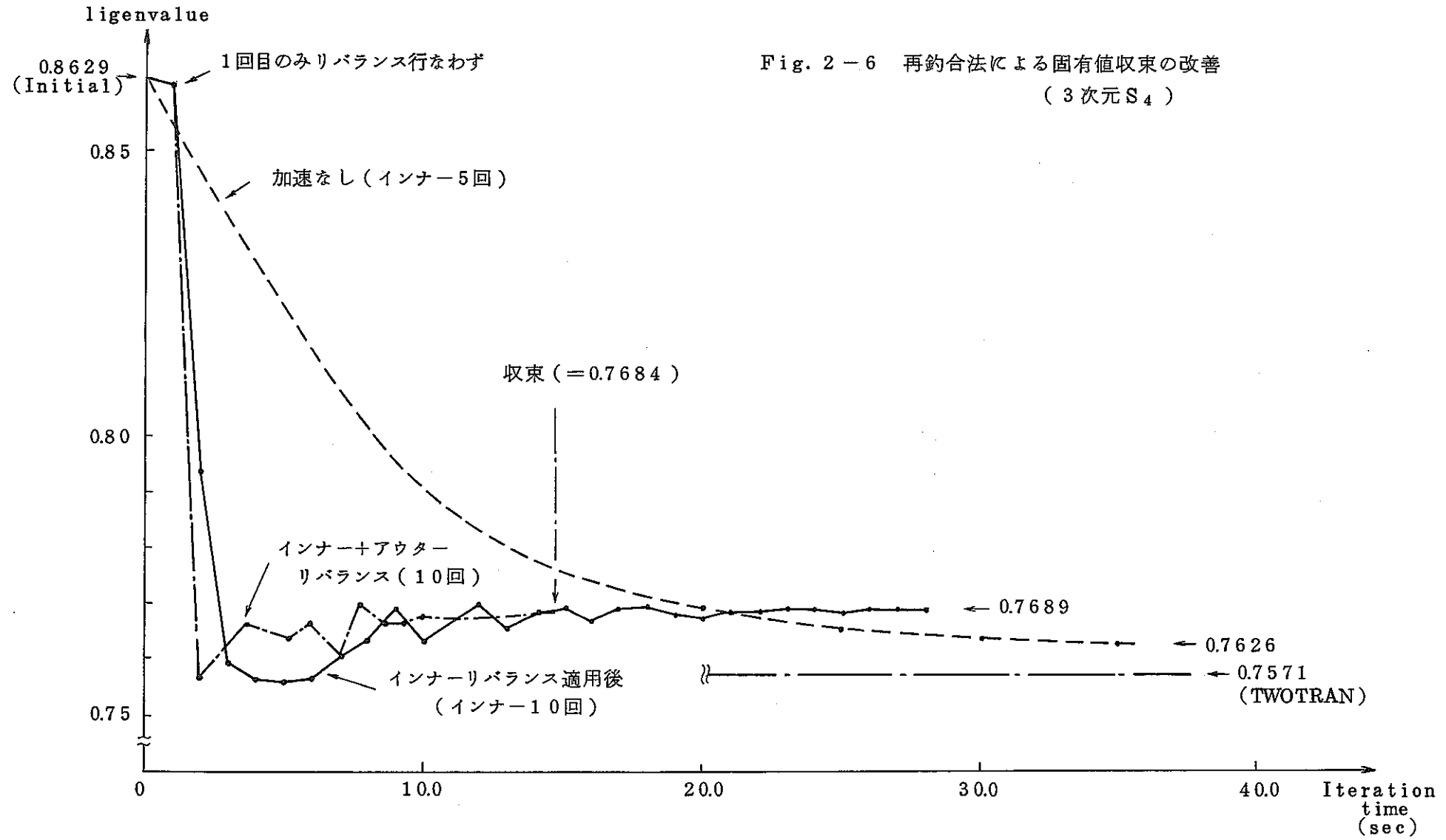
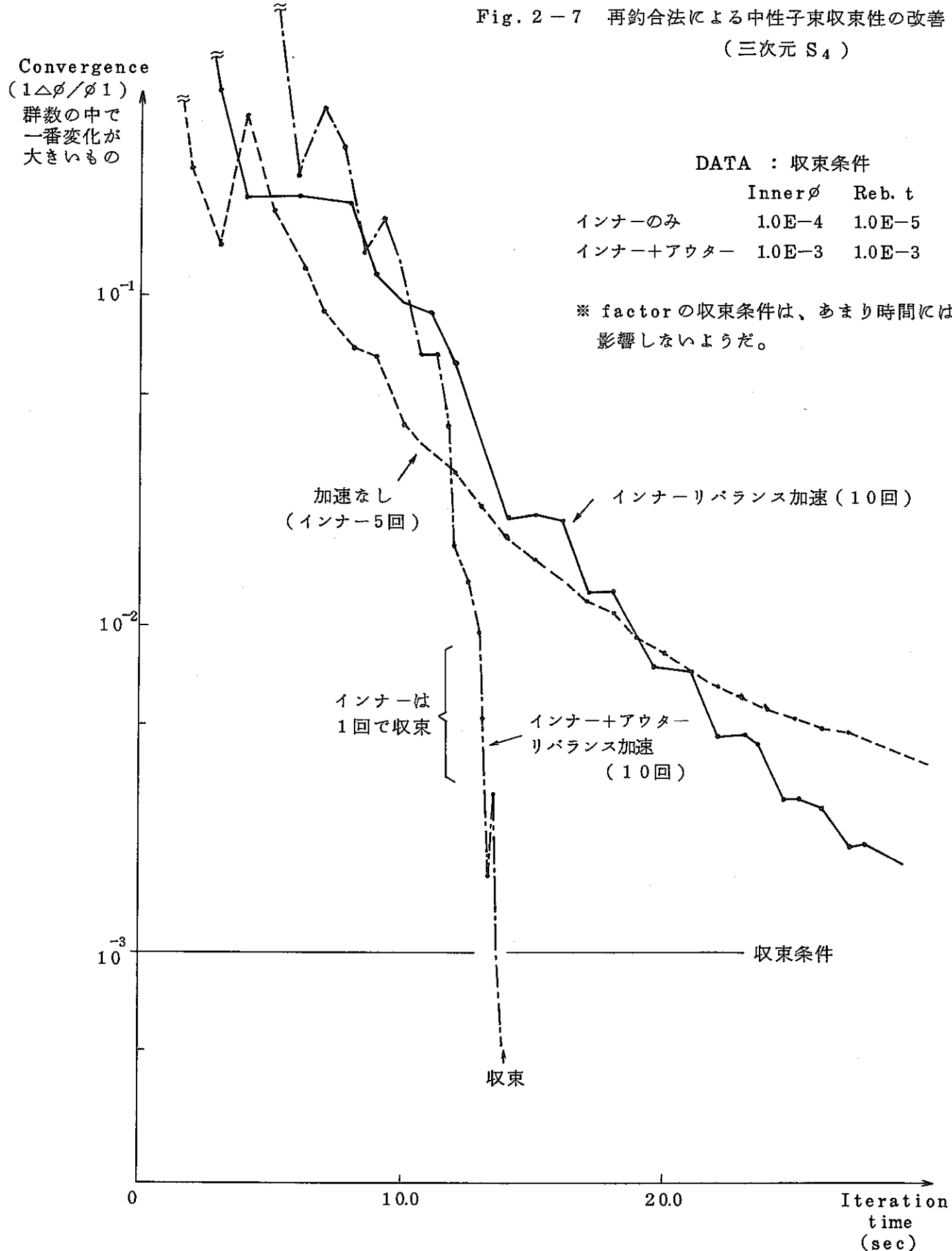
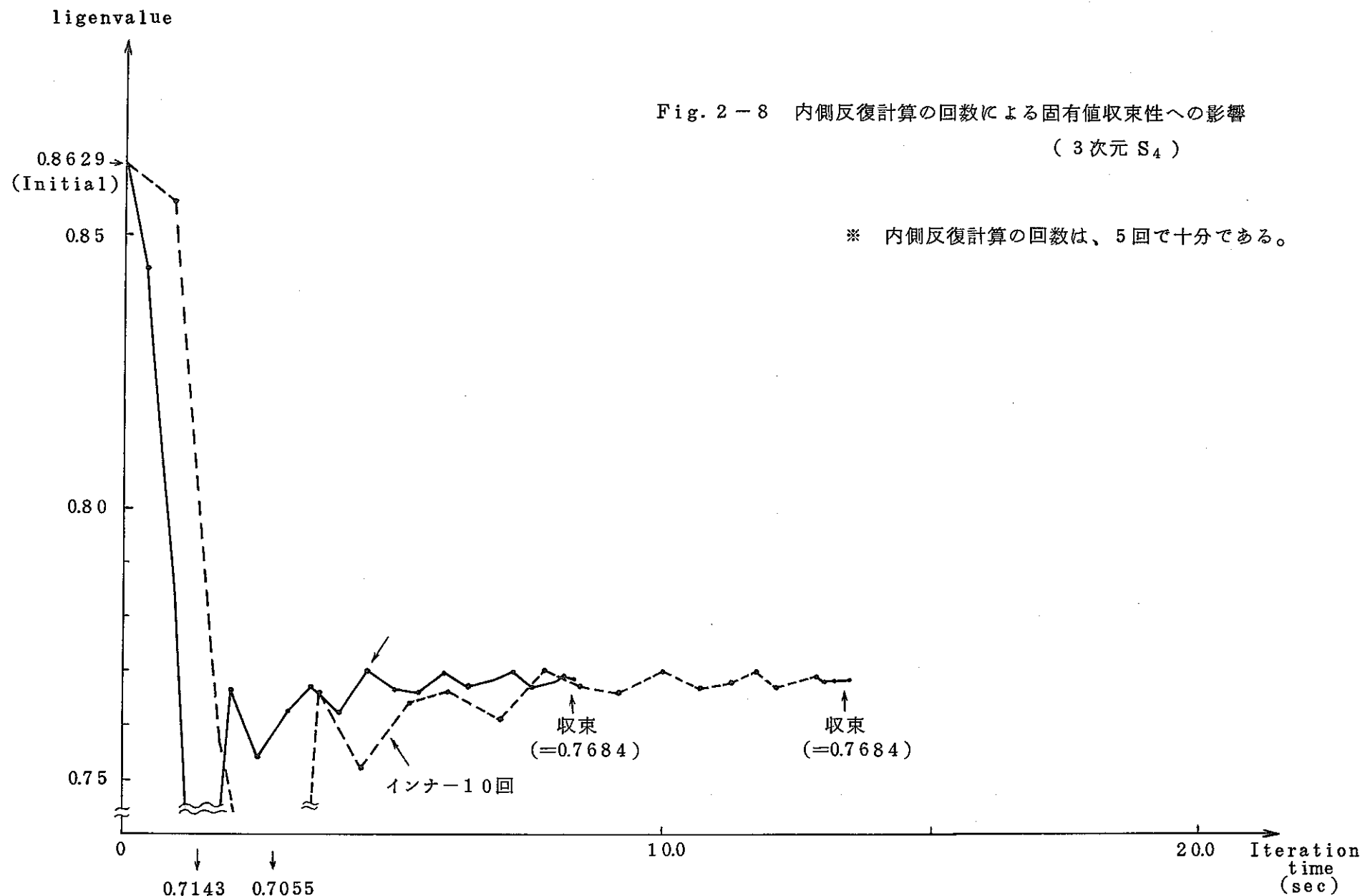
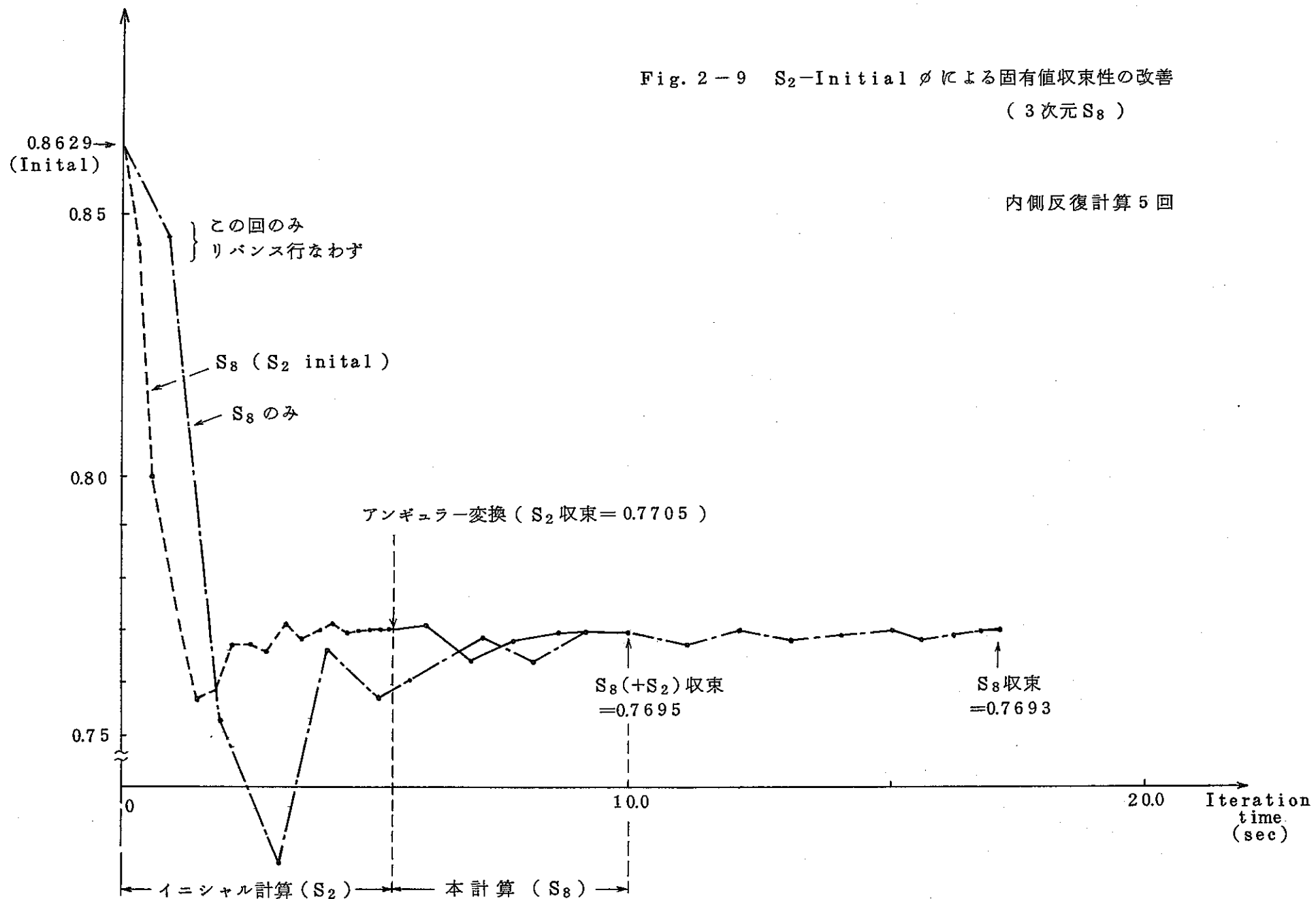


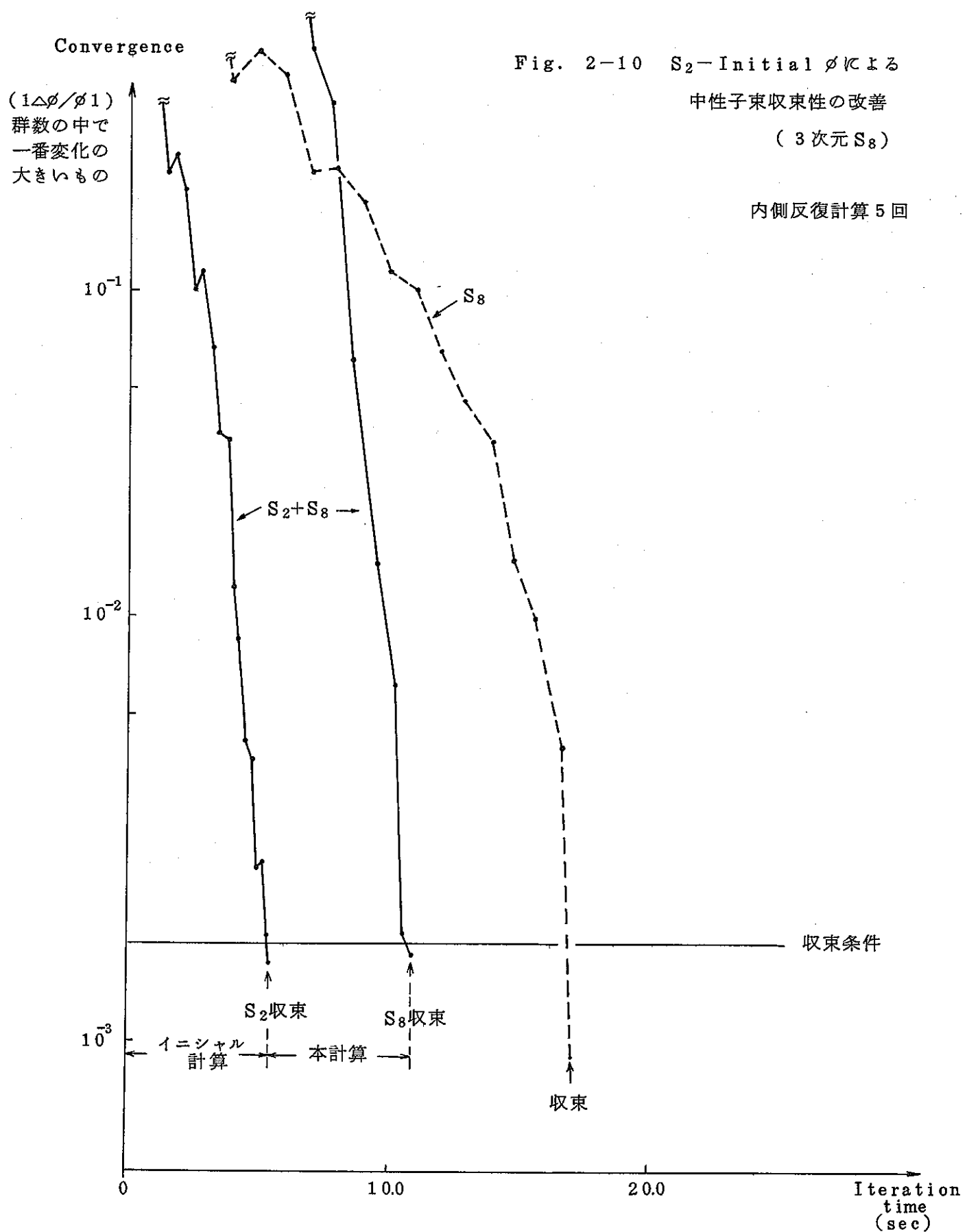
Fig. 2-7 再釣合法による中性子束収束性の改善
(三次元 S₄)

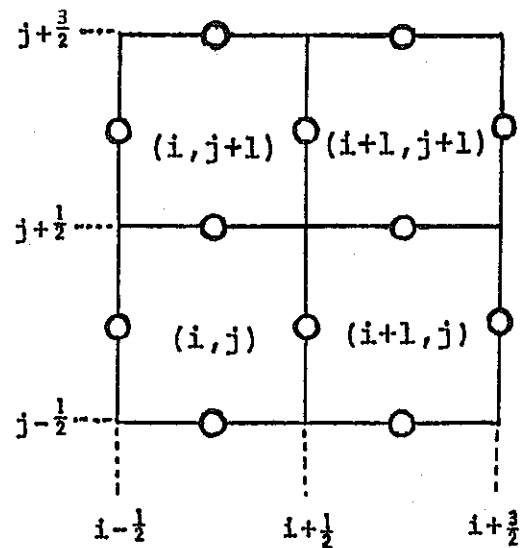




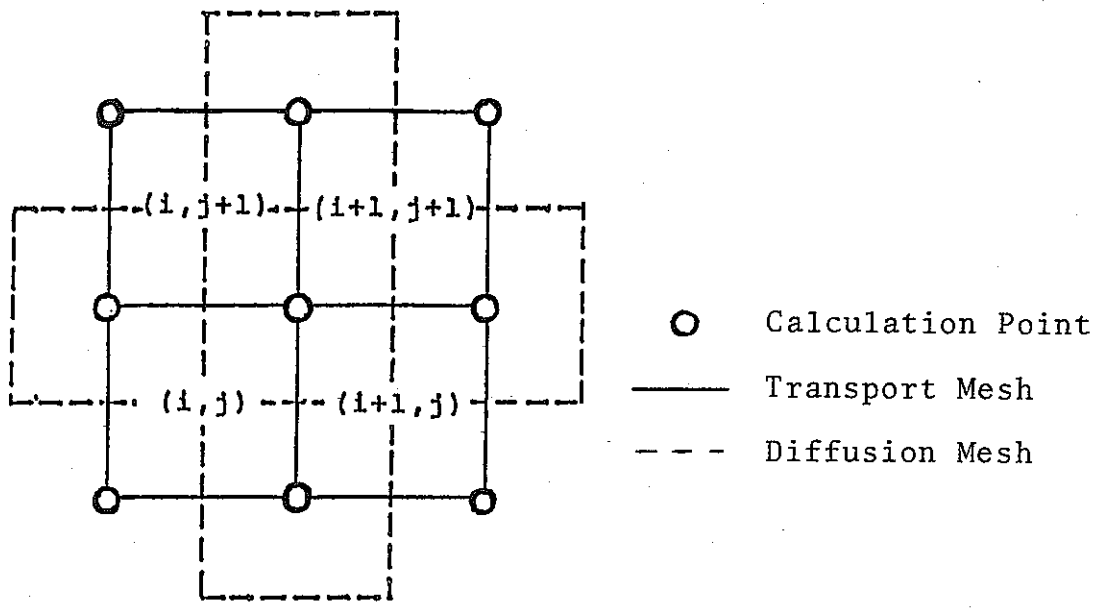
ligenvalue





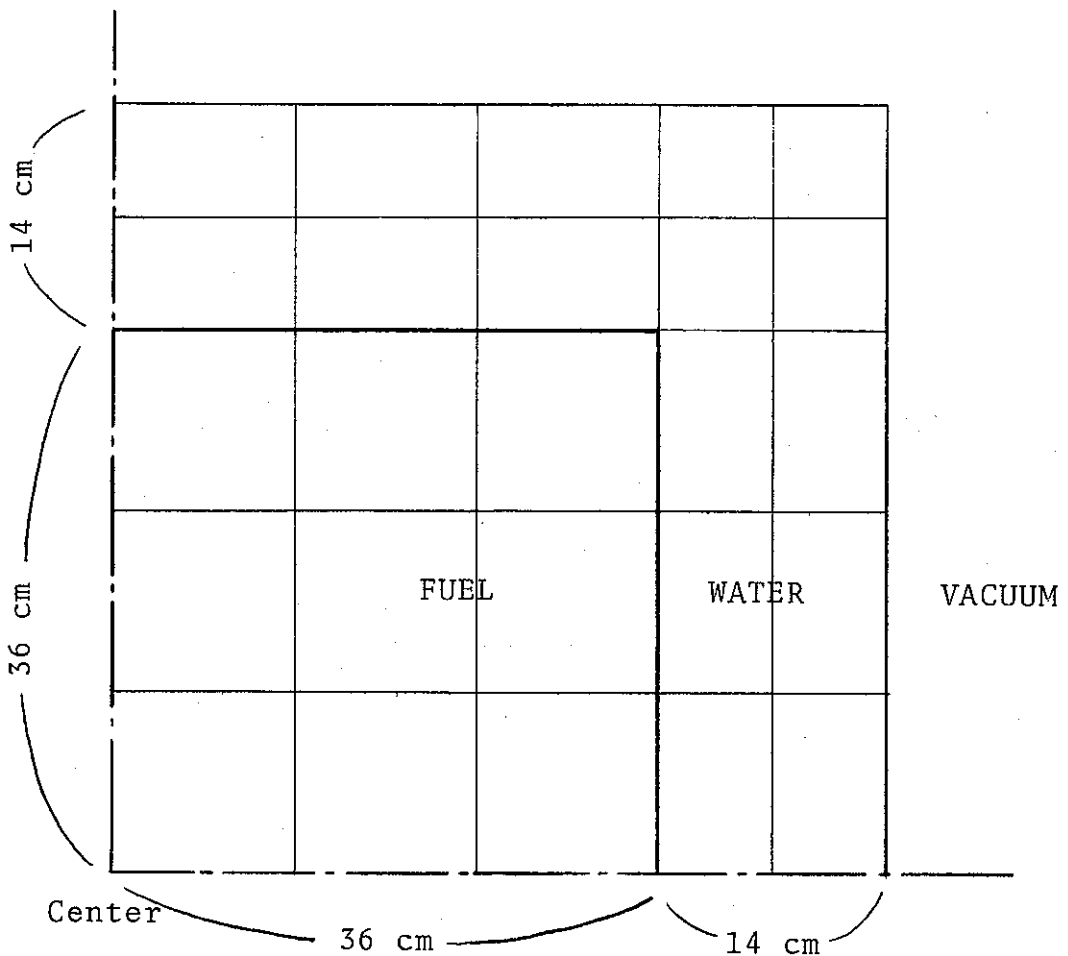


(a) Edge center mesh point
(S_n transport)



(b) Corner mesh point
(diffusion)

Fig. 3-1 Mesh Point for Diffusion Synthetic Method in 2-Dimensional Geometry



Sample Calculation

2 Dimensional

3 Group Transport Calculation

S4 Keff Calculation

Fig. 3-2 Geometry

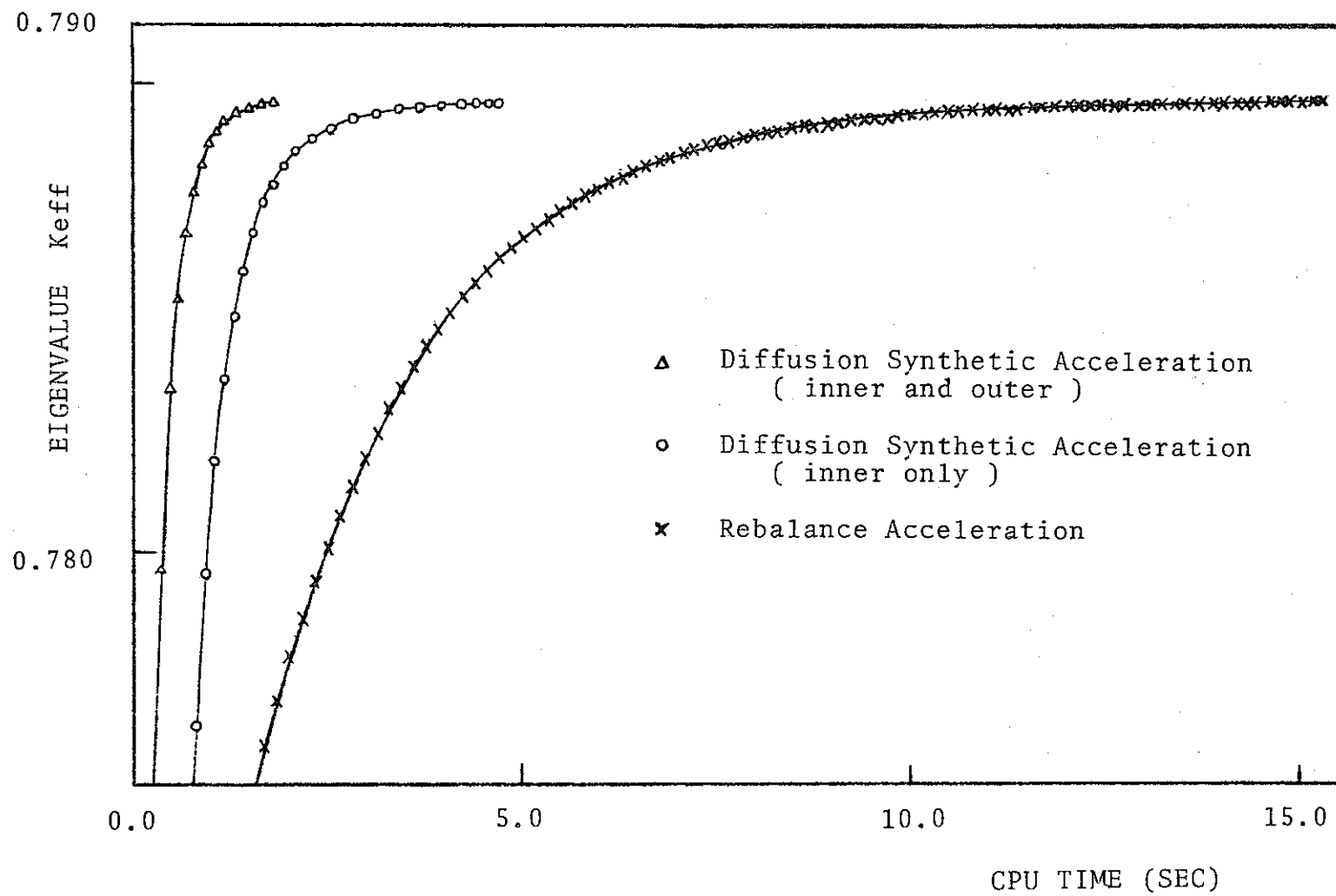


Fig. 3-3 Comparison of Convergent Behavior of Keff (3 Group Calculation)

Appendix C

THOTHコードソースリスト


```

01300     IFUNC=ISTART+2
01310     GOTO(1,1,2),IFUNC
01320C*****+
01330     1 CONTINUE
01340     CALL DUMPRO(DELX,DELY,DELZ,MAP,XABS,XFIS,XTRA,XSET,XI,IBNDCH,
01350     & ISCTMX,ISCTMN,ANGFLI,ANGFLJ,ANGFLK,SCFL,SCLOL2,TBALX,TBALY,
01360     & TBALZ)
01370     GOTO 999
01380C****+
01390     2 CONTINUE
01400     READ(5,501) (DELX(I),I=1,IMX)
01410     READ(5,501) (DELY(J),J=1,JMX)
01420     READ(5,501) (DELZ(K),K=1,KMX)
01430     DO 21 K=1,KMX
01440     DO 21 J=1,JMX
01450     READ(5,502) (MAP(I,J,K),I=1,IMX)
01460   21 CONTINUE
01470     DO 22 NR=1,MAPMX
01480     DO 22 NG=1,NGMX
01490     READ(5,601) XABS(NC,NR),XFIS(NC,NR),XTRA(NC,NR),(XSET(NN,NC,
01500     & NR),NN=1,NGMX)
01510   22 CONTINUE
01520     READ(5,601) (XI(NC),NG=1,NGMX)
01530     READ(5,602) IBL,IBR,IBT,IBB,IBN,IBF
01540   501 FORMAT(6E12.5)
01550   502 FORMAT(24I3)
01560     IBNDCN(1,1)=IBR
01570     IBNDCN(1,2)=IBL
01580     IBNDCN(2,1)=IBB
01590     IBNDCN(2,2)=IBT
01600     IBNDCN(3,1)=IBF
01610     IBNDCN(3,2)=IBN
01620     CALL ISREAD(MAP,ISCTMX,ISCTMN,XSET)
01630   999 CONTINUE
01640     WRITE(6,601) ISTART,MONT,IRDMA
01650   601 FORMAT(10X,'OPTIONS'//20X,'RESTART [0] OR NEW PROBLEM [1]',20X,
01660     & 13//20X,'MONITOR OPTION YES [-1] OR NO [DOTHERS]',9X,13//20X,
01670     & 'INITIAL S-2 CALC. YES [-1] OR NO [OTHERS]',9X,13//20X,
01680     WRITE(6,602) IMX,JMX,KMX,NGMX,MAPMX,NSH
01690   602 FORMAT(10X,'CONTROL INTEGERS'//20X,'NUMBER OF MESHES (X)',10X,13/
01700     & 20X,'NUMBER OF MESHES (Y)',10X,13//20X,'NUMBER OF MESHES (Z)',
01710     & 10X,13//20X,'NUMBER OF GROUPS',14X,13//20X,
01720     & 'NUMBER OF MATERIALS',11X,13//20X,'NUMBER OF S-N CONSTANTS',
01730     & 5X,13//)
01740     WRITE(6,603) CONCR,CONCRI,CONCRE,ITINNX,TIMOUT,EIGEN,IGRD,IR8MX,
01750     & RFCUL,RFCLL,CONCRR
01760   603 FORMAT(10X,'CONVERGENCE CRITERIA'//20X,'OUTER LOOP',21X,1PE12.5/
01770     & 20X,'INNER LOOP',21X,E12.5//20X,'EIGENVALUE',15X,E12.5/
01780     & 20X,'MAXIMUM INNER LOOPS',12X,112//20X,'TIME LIMIT',21X,OFF12.5,
01790     & 'MIN'//20X,'INITIAL EIGEN VALUE',11X,F12.5//20X,
01800     & 2112//20X,'FACTOR UPPER LIMIT',13X,F12.5//20X,
01810     & 'FACTOR LOWER LIMIT',13X,F12.5//20X,'REBALANCE CONVERGENCE',
01820     & 10X,1PE12.5//)
01830     WRITE(6,604) (DELX(I),I=1,IMX)
01840   604 FORMAT(10X,'GEOMETRY'//20X,'MESH SIZES (X)'//20X,15F8.2)
01850     WRITE(6,620) (DELY(J),J=1,JMX)
01860   620 FORMAT(//20X,'MESH SIZES (Y)'//20X,15F8.2)
01870     WRITE(6,621) (DELZ(K),K=1,KMX)
01880   621 FORMAT(//20X,'MESH SIZES (Z)'//20X,15F8.2)
01890     WRITE(6,605)
01900   605 FORMAT(//10X,'MATERIAL MAP')
01920     DO 10 K=1,KMX
01930     WRITE(6,611) K
01940   611 FORMAT(//25X,'K%',13//)
01950     DD 10 J=1,JMX
01960     WRITE(6,612) (MAP(I,J,K),I=1,IMX)
01970   10 CONTINUE
01980   612 FORMAT(25X,24I3)
01990     WRITE(6,622)
02000   622 FORMAT(//10X,'MACRO CROSS SECTION SET')
02010     DO 11 MAPI=1,MAPMX
02020     WRITE(6,606) MAPI
02030   606 FORMAT(//20X,'MATERIAL NO.',16//25X,5HGROUP,1SH ABSORPTION,
02040     & 15H PRODUCTION,15H TRANSPORT,/)
02050     WRITE(6,623) (NG,XABS(NG,MAPI),XFIS(NG,MAPI),XTRA(NG,MAPI),NN=1,
02060     & NGMX)
02070   623 FORMAT(25X,13,2X,3E15.6)
02080   11 CONTINUE
02090     WRITE(6,624)
02100   624 FORMAT(//10X,'SCATTERING MATRIX')
02110     DO 12 MAPI=1,MAPMX
02120     WRITE(6,625) MAPI
02130   625 FORMAT(//20X,'MATERIAL NO.',15)
02140     DO 13 NG=1,NGMX
02150     WRITE(6,626) (XSET(NN,NG,MAPI),NN=1,NGMX)
02160   13 CONTINUE
02170   626 FORMAT(1H ,10(1PE12.5))
02180   12 CONTINUE
02190     WRITE(6,627)
02200   627 FORMAT(//10X,'FISSION SPECTRUM'//)
02210     WRITE(6,628) (XI(NG),NG=1,NGMX)
02220   628 FORMAT(20X,6(1PE12.5))
02230     WRITE(6,607) (IBNDCN(ID,2),IBNDCN(ID,1),ID=1,3)
02240   607 FORMAT(//10X,'BOUNDARY CONDITIONS'//20X,'FREE [0] OR REFLECT [1]'//
02250     & 1//25X,'LEFT',5X,13//25X,'RIGHT',5X,13//25X,'FRONT',5X,13//25X,
02260     & 'BACK',5X,13//25X,'TOP',7X,13//25X,'BOTTOM',4X,13//)
02270     CALL CNTRL
02280     RETURN
02290     END
02300     SUBROUTINE ROMANCE(DELX,DELY,DELZ,MAP,XABS,XFIS,XTRA,XSET,XI,
02310     & IBNDCN,AMU,ETA,AKSI,WGT,ISCTMX,ISCTMN,ANGFLI,ANGFLJ,ANGFLK,
02320     & QO,SCFL,SCLOL1,SCLOL2,FISS,QV,SS,BALX,BALY,BALZ,TBALX,TBALY,
02330     & TBALZ,RFC,ALR,AUD,ANF,S,XT,GRX,TX,CONVM,CONV,CONVM)
02340     COMMON /CONTL/IMX,JMX,KMX,MMX,MFIX,NGMX,MAPMX,NSN,NFIK,ITINMX,
02350     & NQUAD(2,2,2)
02360     COMMON /MONIT/EGNOLD,EIGEN,PWROLD,PWRNEW,CONCR,CONCRI,CONCRE,
02370     & CONCRR,TIMOUT,TIMLMT,TIMCPU,ITROUT,ITRIN,ITREB,ISTA,IPRV,NOW,
02380     & IMXK, JMXK, KMXK, NGMXK
02390     COMMON /OPTON/ISTART,MONT,IRDMA,IGRD
02400     DIMENSION MAP(IMX,JMX,KMX),QO(IMX,JMX,KMX,NGMX),XTRA(NGMX,MAPMX),
02410     & XSET(NGMX,NGMX,MAPMX),XFIS(NGMX,MAPMX),XABS(NGMX,MAPMX),
02420     & XI(NGMX),ISCTMN(NGMX,MAPMX),ISCTMX(NGMX,MAPMX),SCFL(1IMX,JMX,
02430     & KMX,NGMX),SCLOL1(IMX,JMX,KMX),SCLOL2(IMX,JMX,KMX,NGMX)
02440     DIMENSION GRX(30,NGMX),TX(30),DELX(IMX),DELY(IMX),DELZ(KMX),
02450     & IBNDCN(3,2),ANGFLI(8,MFIX,IMX+1,KMX,NGMX),ANGFLJ(8,MFIX,
02460     & IMX, JMX+1,KMX, NGMX), ANGFLK(8,MFIX,IMX, JMX, KMX+1, NGMX),
02470     & AMU(MFIX), ETA(MFIX), AKSI(MFIX), WGT(MFIX), CONVM(NGMX),
02480     & CONV(IMX), CONVM(IMX, JMXK)
02490     DIMENSION FISS(IMX,JMX,KMX),SS(IMX,JMX,KMX),BALX(2,IMX+1,JMX,KMX),
02500     & BALY(2,IMX,JMX+1,KMX),BALZ(2,IMX,JMX,KMX+1),RFC(IMX,JMX,KMX),
02510     & OVIIMX,JMX,KMX),TBALZ(2,IMX+1,JMX,KMX),TBALY(2,IMX,JMX+1,KMX)
02520     & TBALZ(2,IMX,JMX,KMX+1)
02530     DIMENSION ALR(MFIX,IMX),AUD(MFIX,IMX),ANF(MFIX,IMX),S(IMX),XT(IMX)
02540     IF(IRDMA.NE.-1) RETURN
02550     MMX=1
02560     NSN=2
02570     CALL CPTIME(1BGN)
02580     CALL SNCNH(AMU,ETA,AKSI,WGT,NSH)

```

```

02590 CALL INITIAL(ANGFLJ,ANGFLK,ANGFLK,SCLFL,MAP,XTRA,XSCT,XFIS,XI,DELX,
02591 & DELY,DELZ,IBNDCN)
02592 CALL OUTER(MAP,OO,XTRA,XSCT,XFIS,XABS,XI,ISCTMX,ISCTMN,SCLFL,
02593 & GRX,TX,DELX,DELY,DELZ,IBNDCN,ANGFLJ,ANGFLK,ALR,AUD,ANF,
02594 & S,XT,AMU,ETA,AKSI,WGT,SCLDL1,SCLDL2,FISS,OV,SS,BALX,BALY,BALZ,
02595 & TBALX,TBALY,TBALZ,RFC,CONVMX,CONV,CONVM)
02596 WRITE(6,601)
02597 601 FORMAT(1H,
02598 & '***** END OF INITIAL GUESS S-2 CALCULATION. *****',1H1)
02599 CALL CPTIME(1END)
02600 TIMROM=1END-IBGN
02601 TIMMLMT=TIMROM
02602 RETURN
02603 END
02604 SUBROUTINE RONDO(DELX,DELY,DELZ,MAP,XABS,XFIS,XTRA,XSCT,XI,
02605 & IBNDCN,AMU,ETA,AKSI,WGT,ISCTMX,ISCTMN,ANGFLJ,ANGFLK,
02606 & OO,SCLFL,SCLDL1,SCLDL2,FISS,OV,SS,BALX,BALY,BALZ,TBALX,
02607 & TBALZ,RFC,ALR,AUD,ANF,S,XT,GRX,TX,CONVMX,CONV,CONVM)
02608 COMMON /CONTL/IMX,JMX,KMX,MMX,MFIX,NGMX,MAPMX,NSN,NFIX,ITINMX,
02609 & NOUAD(2,2,2)
02610 COMMON /MONIT/EGNOLD,EIGEN,PWROLD,PWRNEW,CONCR,CONCR1,CONCRE,
02611 & CONCR2,TIMOUT,TIMMLMT,TIMCPU,ITROUT,ITRIN,ITREB,ISTA,IPRV,NOW,
02612 & IMMX,JMMX,KMMX,NGMMX
02613 COMMON /OPTON/ISTART,MONT,IROMA,IGRD
02614 DIMENSION MAP(IMX,JMX,KMX),OO(IMX,JMX,KMX),XTRA(NGMX,MAPMX),
02615 & XSCT(NGMX,NGMX,MAPMX),XFIS(NGMX,MAPMX),XABS(NGMX,MAPMX),
02616 & X(NGMX),SCLDL1(IMX,JMX,KMX),SCLDL2(IMX,JMX,KMX,NGMX)
02617 DIMENSION GRX(30,NGMX),TX(30),DELX(IMX),DELY(JMX),DELZ(KMX),
02618 & IBNDCN(3,2),ANGFL1(8,MMIX,IMX+1,JMX,KMX,NGMX),ANGFL2(8,MMIX,
02619 & JMX,JMX+1,KMX,NGMX),ANGFLK(8,MMIX,IMX,JMX,KMX+1,NGMX),
02620 & AMU(MFIX),ETA(MFIX),AKSI(MFIX),WGT(MFIX),CONVMX(NGMX),
02621 & CONV(IMX),CONVM(1IMX,NGMX)
02622 DIMENSION FISS(IMX,JMX,KMX),SS(IMX,JMX,KMX),BALX(2,IMX+1,JMX,KMX),
02623 & BALY(2,IMX,JMX+1,KMX),BALZ(2,IMX,JMX,KMX+1),RFC(IMX,JMX,KMX),
02624 & OV(IMX,JMX,KMX),TBALX(2,IMX+1,JMX,KMX),TBALY(2,IMX,JMX+1,KMX),
02625 & TBALZ(2,IMX,JMX,KMX+1)
02626 MMX=MMIX
02627 NSN=NFIX
02628 CALL SNCON(AMU,ETA,AKSI,WGT,NSN)
02629 IF(IROMA.NE.-1.AND.ISTART.EQ.1) CALL INITIAL(ANGFLJ,ANGFLJ,ANGFLK,
02630 & SCLFL,MAP,XTRA,XSCT,XFIS,XI,DELX,DELY,DELZ,IBNDCN).
02631 IF(IROMA.EQ.-1) CALL CONANG(ANGFLJ,ANGFLJ,ANGFLK)
02632 CALL OUTER(MAP,OO,XTRA,XSCT,XFIS,XABS,XI,ISCTMX,ISCTMN,SCLFL,
02633 & GRX,TX,DELX,DELY,DELZ,IBNDCN,ANGFLJ,ANGFLK,ALR,AUD,ANF,
02634 & S,XT,AMU,ETA,AKSI,WGT,SCLDL1,SCLDL2,FISS,OV,SS,BALX,BALY,BALZ,
02635 & TBALX,TBALY,TBALZ,RFC,CONVMX,CONV,CONVM)
02636 RETURN
02637 END
02638 SUBROUTINE SNCON (U,E,X,W,N)
02639 DIMENSION U(36), E(36), X(36), W(36)
02640 ICODEM=1
02641 NN=N
02642 ME(N*(N+2))/8
02643 MM=M
02644 NOUT=6
02645 I=N/2
02646 IF(N.EQ.80)GO TO 310
02647 IF(N.EQ.160) GO TO 330
02648 IF (N.GT.16) GO TO 180
02649 GO TO 100,110,120,130,140,150,160,170, 1
02650C =
02651 100 W(1)=1.0
02652 U(1)=.57735027
02653 E(1)=U(1)
02654 GO TO 240
02655C =
02656 110 U(2)=0.90444905
02657 U(1)=0.30163878
02658 W(1)=0.33333333
02659 W(2)=W(1)
02660 W(3)=W(1)
02661 W(4)=W(1)
02662 W(5)=W(1)
02663 W(6)=W(1)
02664 W(7)=W(1)
02665 W(8)=W(1)
02666 W(9)=W(1)
02667 W(10)=W(1)
02668 GO TO 190
02669C =
02670 120 U(1)=0.23009194
02671 U(2)=0.6813432
02672 U(3)=0.94557676
02673 W(1)=0.16544656
02674 W(2)=0.16388677
02675 W(3)=W(1)
02676 W(4)=W(2)
02677 W(5)=W(2)
02678 W(6)=W(2)
02679 W(7)=W(1)
02680 W(8)=W(1)
02681 W(9)=W(1)
02682 W(10)=W(1)
02683 GO TO 190
02684C =
02685 130 U(1)=0.19232747
02686 U(2)=0.57735027
02687 U(3)=0.79352178
02688 U(4)=0.96229948
02689 W(1)=0.11678847
02690 W(2)=0.09325523
02691 W(3)=W(2)
02692 W(4)=W(1)
02693 W(5)=W(2)
02694 W(6)=W(2)
02695 W(7)=W(2)
02696 W(8)=W(1)
02697 W(9)=W(2)
02698 W(10)=W(2)
02699 W(11)=W(7)
02700 W(12)=W(3)
02701 W(13)=W(2)
02702 W(14)=W(2)
02703 W(15)=W(1)
02704 GO TO 190
02705C =
02706 140 U(1)=0.16962228
02707 U(2)=0.50714192
02708 U(3)=0.69686020
02709 U(4)=0.84500612
02710 U(5)=0.97080202
02711 W(1)=0.088442043
02712 W(2)=0.067288705
02713 W(3)=0.055780071
02714 W(4)=W(2)
02715 W(5)=W(1)
02716 W(6)=W(2)
02717 W(7)=0.053133809
02718 W(8)=W(7)
02719 W(9)=W(2)
02720 W(10)=W(3)
02721 W(11)=W(7)
02722 W(12)=W(3)
02723 W(13)=W(2)
02724 W(14)=W(2)
02725 W(15)=W(1)
02726 GO TO 190
02727C =
02728 150 U(1)=0.15295746
02729 U(2)=0.45769112
02730 U(3)=0.62869660
02731 U(4)=0.76226828
02732 U(5)=0.87868027
02733 U(6)=0.97600932

```

```

03880      W[1]=0.07332178
03890      W[2]=0.05266740
03900      W[3]=0.04161495
03910      W[4]=W[3]
03920      W[5]=W[2]
03930      W[6]=W[1]
03940      W[7]=W[2]
03950      W[8]=0.03895667
03960      W[9]=0.03249018
03970      W[10]=W[8]
03980      W[11]=W[2]
03990      W[12]=W[3]
04000      W[13]=W[9]
04010      W[14]=W[9]
04020      W[15]=W[3]
04030      W[16]=W[3]
04040      W[17]=W[8]
04050      W[18]=W[3]
04060      W[19]=W[2]
04070      W[20]=W[2]
04080      W[21]=W[1]
04090      GO TO 190
04100C *
04110 160      U[1]=0.14238965
04120      U[2]=0.42048076
04130      U[3]=0.57735027
04140      U[4]=0.69990145
04150      U[5]=0.80398498
04160      U[6]=0.89605866
04170      U[7]=0.97951538
04180      W[1]=0.062171628
04190      W[2]=0.043325697
04200      W[3]=0.033217605
04210      W[4]=0.031837060
04220      W[5]=W[3]
04230      W[6]=W[2]
04240      W[7]=W[1]
04250      W[8]=W[2]
04260      W[9]=0.030485324
04270      W[10]=0.024645116
04280      W[11]=W[10]
04290      W[12]=W[9]
04300      W[13]=W[2]
04310      W[14]=W[3]
04320      W[15]=W[10]
04330      W[16]=0.019984453
04340      W[17]=W[10]
04350      W[18]=W[3]
04360      W[19]=W[4]
04370      W[20]=W[10]
04380      W[21]=W[10]
04390      W[22]=W[4]
04400      W[23]=W[3]
04410      W[24]=W[9]
04420      W[25]=W[3]
04430      W[26]=W[2]
04440      W[27]=W[2]
04450      W[28]=W[1]
04460      GO TO 190
04470C *
04480 170      U[1]=0.13344572
04490      U[2]=0.39119433
04500      U[3]=0.53629687
04510      U[4]=0.65075610
04520      U[5]=0.74746822
04530      U[6]=0.83302700
04540      U[7]=0.91058181
04550      U[8]=0.98203079
04560      W[1]=0.05415425
04570      W[2]=0.03679653
04580      W[3]=0.02777273
04590      W[4]=0.02680284
04600      W[5]=W[4]
04610      W[6]=W[3]
04620      W[7]=W[2]
04630      W[8]=W[1]
04640      W[9]=W[2]
04650      W[10]=0.02494275
04660      W[11]=0.01962325
04670      W[12]=0.01879762
04680      W[13]=W[11]
04690      W[14]=W[10]
04700      W[15]=W[2]
04710      W[16]=W[3]
04720      W[17]=W[11]
04730      W[18]=0.01544801
04740      W[19]=W[18]
04750      W[20]=W[11]
04760      W[21]=W[3]
04770      W[22]=W[4]
04780      W[23]=W[12]
04790      W[24]=W[18]
04800      W[25]=W[12]
04810      W[26]=W[4]
04820      W[27]=W[4]
04830      W[28]=W[11]
04840      W[29]=W[11]
04850      W[30]=W[4]
04860      W[31]=W[3]
04870      W[32]=W[10]
04880      W[33]=W[3]
04890      W[34]=W[2]
04900      W[35]=W[2]
04910      W[36]=W[1]
04920      GO TO 190
04930C
04940C      SN SET NOT FOUND IN LIBRARY
04950C
04950 180      WRITE (NOUT,280)
04970      CALL EXIT
04960 190      K=I+1
04980      DO 210 J=2,I
05000      LA=I+1-J
05010      DO 200 L=1,LA
05020      U(K)=U(L)
05030 200      K=K+1
05040 210      CONTINUE
05050      K=1
05060      DO 230 J=1,I
05070      LA=I+1-J
05080      DO 220 L=1,LA
05090      E(K)=U(J)
05100 220      K=K+1
05110 230      CONTINUE
05120 240      DO 250 J=1,M
05130 250      W(J)=.25*W(J)
05140C
05150C      REORDER SN LIBRARY
05160C

```

```

05170      K=1
05180      L=MM
05190  260  T=U(K)
05200      U(K)=U(L)
05210      U(L)=T
05220      T=E(K)
05230      E(K)=E(L)
05240      E(L)=T
05250      T=W(K)
05260      W(K)=W(L)
05270      W(L)=T
05280      K=K+1
05290      L=L-1
05300      IF (K.LT.L) GO TO 260
05310      GO TO 320
05320C *
05330  310  N=N/10
05340      M=(N+(N+2))/8
05350      E(1)=0.9305641
05360      E(2)=0.6699905
05370      E(3)=0.6699905
05380      E(4)=0.3300094
05390      E(5)=E(4)
05400      E(6)=E(4)
05410      E(8)=0.0694318
05420      E(7)=E(8)
05430      E(9)=E(7)
05440      E(10)=E(7)
05450      U(1)=0.2588851
05460      U(2)=0.6858601
05470      U(3)=0.2840926
05480      U(4)=0.9118124
05490      U(5)=0.6674930
05500      U(6)=0.2443194
05510      U(7)=0.9784184
05520      U(8)=0.8294630
05530      U(9)=0.5542295
05540      U(10)=0.1946195
05550      W(1)=0.04348186
05560      W(2)=0.04075907
05570      W(3)=0.04075907
05580      W(4)=0.02717272
05590      W(5)=W(4)
05600      W(6)=W(4)
05610      W(7)=0.01087046
05620      W(8)=W(7)
05630      W(9)=W(7)
05640      W(10)=W(7)
05650      GOTD 320
05660C *
05670  330  N=N/10
05680      W(1)=0.01265357
05690      W(2)=0.01389881
05700      W(3)=W(2)
05710      W(4)=0.01307111
05720      W(5)=W(4)
05730      W(6)=W(4)
05740      W(7)=0.01133387
05750      W(8)=W(7)
05760      W(9)=W(7)
05770      W(10)=W(7)
05780      W(11)=0.00906709
05790      W(12)=W(11)
05800      W(13)=W(11)
05810      W(14)=W(11)
05820      W(15)=W(11)
05830      W(16)=0.00653556
05840      W(17)=W(16)
05850      W(18)=W(16)
05860      W(19)=W(16)
05870      W(20)=W(16)
05880      W(21)=W(16)
05890      W(22)=0.00397109
05900      W(23)=W(22)
05910      W(24)=W(22)
05920      W(25)=W(22)
05930      W(26)=W(22)
05940      W(27)=W(22)
05950      W(28)=W(22)
05960      W(29)=0.00158170
05970      W(30)=W(29)
05980      W(31)=W(29)
05990      W(32)=W(29)
06000      W(33)=W(29)
06010      W(34)=W(29)
06020      W(35)=W(29)
06030      W(36)=W(29)
06040      U(1)=0.14020693
06050      U(2)=0.40587392
06060      U(3)=0.16811848
06070      U(4)=0.62463346
06080      U(5)=0.45726783
06090      U(6)=0.16737164
06100      U(7)=0.79065568
06110      U(8)=0.57028852
06120      U(9)=0.44787047
06130      U(10)=0.15727120
06140      U(11)=0.90161681
06150      U(12)=0.81336028
06160      U(13)=0.64546638
06170      U(14)=0.41442776
06180      U(15)=0.14280208
06190      U(16)=0.96314169
06200      U(17)=0.89750519
06210      U(18)=0.77070617
06220      U(19)=0.59133288
06230      U(20)=0.37175881
06240      U(21)=0.12680001
06250      U(22)=0.98855331
06260      U(23)=0.93899261
06270      U(24)=0.84233591
06280      U(25)=0.70344291
06290      U(26)=0.52927537
06300      U(27)=0.32866773
06310      U(28)=0.11133434
06320      U(29)=0.99498855
06330      U(30)=0.95675170
06340      U(31)=0.88174741
06350      U(32)=0.77285806
06360      U(33)=0.63426823
06370      U(34)=0.47130382
06380      U(35)=0.29022746
06390      U(36)=0.09799781
06400C *
06410      E(1)=0.98014490
06420      E(2)=0.89833320
06430      E(3)=E(2)
06440      E(4)=0.75276620
06450      E(5)=E(4)

```

```

06460      E( 6)=E( 4)
06470      E( 7)=0.59171730
06480      E( 8)=E( 7)
06490      E( 9)=E( 7)
06500      E(10)=E( 7)
06510      E(11)=0.40828260
06520      E(12)=E( 1)
06530      E(13)=E( 1)
06540      E(14)=E( 1)
06550      E(15)=E( 1)
06560      E(16)=0.23723370
06570      E(17)=E( 6)
06580      E(18)=E(16)
06590      E(19)=E(16)
06600      E(20)=E(16)
06610      E(21)=E( 6)
06620      E(22)=0.10166670
06630      E(23)=E(22)
06640      E(24)=E(22)
06650      E(25)=E(22)
06660      E(26)=E(22)
06670      E(27)=E(22)
06680      E(28)=E(22)
06690      E(29)=0.01985500
06700      E(30)=E(29)
06710      E(31)=E(29)
06720      E(32)=E(29)
06730      E(33)=E(29)
06740      E(34)=E(29)
06750      E(35)=E(29)
06760      E(36)=E(29)
06770 320 CONTINUE
06780      M=N*2)/8
06790      WRITE (INDUT,290)N
06800      DO 270 J=1,M
06810      W(J)=W(J)/2.0
06820      X(J)=SORT(1.0-U(J)*U(J)-E(J)*E(J))
06830 270 WRITE (INOUT,300)J,U(J),E(J),X(J),W(J)
06840      RETURN
06850C
06860C
06870 280 FORMAT (31HNO SUCH SN CONSTANTS AVAILABLE)
06880 290 FORMAT (///16X,2H S,I2,10H CONSTANTS//40X,2HMU,13X,3HETA,13X,
06890 & 3HXSI, 12X,6HWEIGHT//)
06900 300 FORMAT (25X,14,4X,4E16.8)
06910      END
06920      SUBROUTINE CNTRL
06930      DIMENSION IDRCT(8),JDRCT(8),KDRCT(8)
06940      COMMON /CNTRL/IMX,JMX,KMX,MMX,MFIX,NGMX,MAPMX,NSN,NFIX,ITINMX,
06950      & NQUAD(2,2,2)
06960      DATA IDRCT/ 1,-1,-1, 1, 1,-1,-1, 1/
06970      DATA JDRCT/ 1, 1,-1,-1, 1, 1,-1,-1/
06980      DATA KDRCT/ 1, 1, 1, 1,-1,-1,-1,-1/
06990      DO 1 IQUAD=1,8
07000      ID=[IDRCT(IQUAD)+3]/2
07010      JD=[JDRCT(IQUAD)+3]/2
07020      KD=[KDRCT(IQUAD)+3]/2
07030      NQUAD(ID,JD,KD)=IQUAD
07040 1 CONTINUE
07050      RETURN
07060      END
07070      SUBROUTINE INITIAL(ANGFLJ,ANGFLU,ANGFLK,SCLFL,MAP,XTRA,XSCT,XFIS,
07080 & XI,DELX,DELY,DELZ,IBNDCH)
07090      COMMON /CNTRL/IMX,JMX,KMX,MMX,MFIX,NGMX,MAPMX,NSN,NFIX,ITINMX,
07100 & NQUAD(2,2,2)
07110      COMMON /MONIT/EGHOLD,EIGEN,PWROLD,PWRNEW,CONCR,CONCRI,CONCRE,
07120 & CONCR, TIMEOUT,TIMLMT,TIMCPU, ITROUT,ITRIN,ITRIB,ISTA,IPRV,NOW,
07130 & IMXM, JMMX, KMMX, NGMX
07140      DIMENSION ANGLJ(8,MMX,IMX+1,JMX,KMX,NGMX), ANGLU(8,MMX,IMX+1,JMX,KMX,NGMX),
07150 & ANGLK(8,MMX,IMX+1,JMX,KMX,NGMX), SCLFL( IMX,MMX,NGMX), XFIS(NGMX,
07160 & MAPMX), XSCT(NGMX,NGMX,MAPMX), XI(NGMX), DELX(IMX), DELY(JMX),
07170 & DELZ(KMX), IBNDCH(3,2)
07180      FVOL=0.0
07200      DO 10 I=1,IMX
07210      DO 10 J=1,JMX
07220      DO 10 K=1,KMX
07230      MAPI=MAP(I,J,K)
07240      IF(XFIS(1,MAPI).LE.0.0) GOTO 100
07250      FVOL=FVOL+DELX(I)*DELY(J)*DELZ(K)
07260 100 CONTINUE
07270 10 CONTINUE
07280      PWRNEW=0.0
07290      DO 1 K=1,KMX
07300      DO 1 J=1,JMX
07310      DO 1 I=1,IMX
07320      MAPI=MAP(I,J,K)
07330      DO 1 NG=1,NGMX
07340      F1=0./XFIS(1,NG)
07350      IF(NG.EQ.1) GOTO 101
07360      DO 2 NN=1,NG-1
07370      F=F*XSCT(NN,NG,MAPI)*SCLFL(I,J,K,NN)
07380 2 CONTINUE
07390 101 CONTINUE
07400      XX=XTRA(NG,MAPI)-XSCT(NG,NG,MAPI)
07410      SF=F/XX
07420      IF(XFIS(1,MAPI).LE.0.0) SF=1.0E-6
07430      SCLFL(I,J,K,NG)=SF
07440      PWRNEW=PWRNEW+SF*XFIS(NG,MAPI)*DELX(I)*DELY(J)*DELZ(K)
07450      DO 4 JD=1,2
07460      DO 4 KD=1,2
07470      I0=NQUAD(2,JD,KD)
07480      DO 40 M=1,MMX
07490      ANGFLJ(I0,M,I,J,K,NG)=SF
07500 40 CONTINUE
07510      I0=NQUAD(1,JD,KD)
07520      DO 41 M=1,MMX
07530      ANGFLJ(I0,M,I+1,J,K,NG)=SF
07540 41 CONTINUE
07550 4 CONTINUE
07560      DD 5 ID=1,2
07570      DO 5 KD=1,2
07580      I0=NQUAD(2,JD,KD)
07590      DO 50 M=1,MMX
07600      ANGFLJ(I0,M,I,J,K,NG)=SF
07610 50 CONTINUE
07620      I0=NQUAD(1,JD,KD)
07630      DO 51 M=1,MMX
07640      ANGFLJ(I0,M,I,J+1,K,NG)=SF
07650 51 CONTINUE
07660 5 CONTINUE
07670      DD 6 ID=1,2
07680      DO 6 JD=1,2
07690      I0=NQUAD(1,JD,KD)
07700      DO 60 M=1,MMX
07710      ANGFLJ(I0,M,I,J,K,NG)=SF
07720 60 CONTINUE
07730      I0=NQUAD(1,JD,KD)
07740 60 CONTINUE

```

```

07750      ANGFLK(I0,M,I,J,K+1,NG)*SF
07760      61      CONTINUE
07770      6      CONTINUE
07780      1      CONTINUE
07790      EIGEN=PWRNEW
07800      WRITE(6,601) PWRNEW
07810      601 FORMAT('///10X,'INITIAL GEUSS'/20X,'POWER OR EIGENVALUE',10X,
07820      & F10.5)
07830      DO 20 NG=1,NGMX
07840      DO 7 J=1,JMX
07850      DD 7 K=1,KMX
07860      DD 7 JD=1,2
07870      DD 7 KD=1,2
07880      IO1=NQUAD(1,JD,KD)
07890      IO2=NQUAD(2,JD,KD)
07900      DD 7 M=1,MMX
07910      IF(IBNDCN(1,2),EQ,0) ANGFLI(I02,M,1,J,K,NG)=0.0
07920      AF=ANGFLI(I02,M,1,J,K,NG)
07930      ANGFLI(I01,M,1,J,K,NG)=AF
07940      IF(IBNDCN(1,1),EQ,0) ANGFLI(I01,M,IMX+1,J,K,NG)=0.0
07950      AF=ANGFLI(I01,M,IMX+1,J,K,NG)
07960      ANGFLI(I02,M,IMX+1,J,K,NG)=AF
07970      7      CONTINUE
07980      DO 8 K=1,KMX
07990      DD 8 I=1,IMX
08000      DD 8 KD=1,2
08010      DD 8 IO1=1,2
08020      IO1=NQUAD(1,JD,1)
08030      IO2=NQUAD(1,JD,2)
08040      DD 8 M=1,MMX
08050      IF(IBNDCN(2,2),EQ,0) ANGFLJ(I02,M,1,1,K,NG)=0.0
08060      AF=ANGFLJ(I02,M,1,1,K,NG)
08070      ANGFLJ(I01,M,1,1,K,NG)=AF
08080      IF(IBNDCN(2,1),EQ,0) ANGFLJ(I01,M,1,IMX+1,K,NG)=0.0
08090      AF=ANGFLJ(I01,M,1,IMX+1,K,NG)
08100      ANGFLJ(I02,M,1,IMX+1,K,NG)=AF
08110      8      CONTINUE
08120      DO 9 I=1,IMX
08130      DD 9 J=1,JMX
08140      DD 9 IO1=1,2
08150      DD 9 JD=1,2
08160      IO1=NQUAD(1,JD,1)
08170      IO2=NQUAD(1,JD,2)
08180      DD 9 M=1,MMX
08190      IF(IBNDCN(3,2),EQ,0) ANGFLK(I02,M,1,J,1,NG)=0.0
08200      AF=ANGFLK(I02,M,1,J,1,NG)
08210      ANGFLK(I01,M,1,J,1,NG)=AF
08220      IF(IBNDCN(3,1),EQ,0) ANGFLK(I01,M,1,J,KMX+1,NG)=0.0
08230      AF=ANGFLK(I01,M,1,J,KMX+1,NG)
08240      ANGFLK(I02,M,1,J,KMX+1,NG)=AF
08250      9      CONTINUE
08260      20      CONTINUE
08270      RETURN
08280      END
08290      SUBROUTINE CONANG(ANGFLJ,ANGFLK,ANGFLK)
08300      COMMON /CONT1/IMX,JMX,KMX,MMX,MFIX,NGMX,MAPMX,NSN,NFIIX,ITINMX,
08310      & NQUAD(2,2,2)
08320      DIMENSION ANGFLI(8,MFLOAT,IMX+1,JMX,KMX,NGMX),ANGFLJ(8,MFLOAT,IMX,IMX+1,
08330      & 1, KMX,NGMX),ANGFLK(101,M,1,J,KMX+1,NG)
08340      DD 1 NG=1,NGMX
08350      DO 1 K=1,KMX+1
08360      DD 1 J=1,JMX+1
08370      DD 1 I=1,IMX+1
08380      IF(J,EQ,IMX+1,OR,K,EQ,KMX+1) GOTO 102
08390      DD 11 IO1=1,8
08400      DD 11 M=2,MMX
08410      ANGFLI(I01,M,1,J,K,NG)=ANGFLI(I01,I,J,K,NG)
08420      11      CONTINUE
08430      102      CONTINUE
08440      IF(K,EQ,KMX+1,OR,I,EQ,IMX+1) GOTO 103
08450      DD 12 IO1=1,8
08460      DD 12 M=2,MMX
08470      ANGFLJ(I01,M,1,J,K,NG)=ANGFLJ(I01,I,J,K,NG)
08480      12      CONTINUE
08490      103      CONTINUE
08500      IF(I,EQ,IMX+1,OR,J,EQ,IMX+1) GOTO 104
08510      DD 13 IO1=1,8
08520      DD 13 M=2,MMX
08530      ANGFLK(I01,M,1,J,K,NG)=ANGFLK(I01,I,J,K,NG)
08540      13      CONTINUE
08550      104      CONTINUE
08560      1      CONTINUE
08570      RETURN
08580      END
08590      SUBROUTINE ISCTREAD(MAP,ISCTMX,ISCTMN,XSCT)
08600      COMMON /CONT1/IMX,JMX,KMX,MMX,MFIX,NGMX,MAPMX,NSN,NFIIX,ITINMX,
08610      & NQUAD(2,2,2)
08620      COMMON /MONIT/EGNOLD,EIGEN,PWROLD,PWRNEW,CONCR,CONCRI,CONCRE,
08630      & CONCRR,TIMOUT,TIMLMT,TIMCPU,ITROUT,ITRIN,ITREB,ISTA,IPRV,NOW,
08640      & IMXM,JMMX,KMMX,NGMX
08650      DIMENSION MAP(IMX,JMX,KMX),ISCTMX(NGMX,MAPMX),ISCTMN(NGMX,MAPMX),
08660      & XSCT(NGMX,NGMX,MAPMX)
08670      DO 100 K=1,KMX
08680      DD 100 J=1,JMX
08690      DD 100 I=1,IMX
08700      MAP1=MAP(I,J,K)
08710      DD 200 NG=1,NGMX
08720C----- E N T R A N C E -----
08730      NN=NGMX
08740      1      ISCTMN(NG,MAP1)=NN
08750      IF(XSCT(NN,NG,MAP1),GT,0.0) GOTO 101
08760      NN=NN-1
08770      GOTO 1
08780C****
08790      101      NN=1
08800      2      ISCTMN(NG,MAP1)=NN
08810      IF(XSCT(NN,NG,MAP1),GT,0.0) GOTO 201
08820      NN=NN+1
08830      GOTO 2
08840C****
08850      201      CONTINUE
08860C----- E X I T -----
08870      200      CONTINUE
08880      100      CONTINUE
08890      RETURN
08900      END
08910      SUBROUTINE OUTER(MAP,OO,XTRA,XSCT,XFIS,XABS,XI),ISCTMX,ISCTMN,
08920      & SCLFL,GRX,TX,DELX,DELY,DELZ,IBNDCN,ANGFLI,ANGFLJ,ANGFLK,ALR,
08930      & AUD,ANF,S,XT,AMU,ETA,AKSI,WGT,SCLDL1,SCLDL2,FISS,QV,SS,BALX,
08940      & BALY,TBALX,TBALY,RFC,CONVMX,CONV,CONVMV)
08950      COMMON /CONT1/IMX,JMX,KMX,MMX,MFIX,NGMX,MAPMX,NSN,NFIIX,ITINMX,
08960      & NQUAD(2,2,2)
08970      COMMON /MONIT/EGNOLD,EIGEN,PWROLD,PWRNEW,CONCR,CONCRI,CONCRE,
08980      & CONCRR,TIMOUT,TIMLMT,TIMCPU,ITROUT,ITRIN,ITREB,ISTA,IPRV,NOW,
08990      & IMXM,JMMX,KMMX,NGMX
09000      COMMON /OPTON/ISTART,MONT,IRDMA,1GRD
09010      COMMON /REBFC/IR8MX,RFCLL,RFPMX,ICONB,IFLG(70)
09020      DIMENSION MAP(IMX,JMX,KMX),OO(IMX,JMX,KMX,NGMX),XTRA(NGMX,MAPMX),
09030      & XSCT(NGMX,NGMX,MAPMX),XFIS(NGMX,MAPMX),XABS(NGMX,MAPMX),

```

```

09040   8 XJ(NGMX),ISCTMX(NGMX,MAPMX),ISCTMN(NGMX,MAPMX),SCLFL(IJMX, JMX,
09050   8 KMX,NGMX)
09060   DIMENSION GRX(30,NGMX),TK(30),DELX(IJMX),DELY(JMX),DELZ(KMX),
09070   8 IBNDCN(3,2),ANGFL(1, B, MFIIX,IMX+1,JMX,KMX,NGMX),ANGFLJ(B,MFIIX,
09080   8 IMX, JMX+1,KMX, NGMX), ANGFLK(8,MFIIX,IMX,JMX,KMX+1,NGMX),
09090   8 AMU(MFIIX), ETA(MFIIX), AKSI(MFIIX),WGT(MFIIX),SCLOL(IJMX,JMX,KMX),
09100   8 SCLOL2(IJMX,JMX,KMX,NGMX),CONVMX(NGMX), CONVY(IMX), CONVM(IMXM,
09110   8 JMMX)
09120   DIMENSION FISS(IMX,JMX,KMX),SS(IMX,JMX,KMX),BALX(2,3MX+1,JMX,KMX),
09130   8 BALY(2,IMX,JMX+1,KMX),BALZ(2,IMX,JMX,KMX+1),RFC(IMX,JMX,KMX),
09140   8 OV(IJMX,JMX,KMX),TBALX(2,IMX+1,JMX,KMX),TBALY(2,IMX,JMX+1,KMX),
09150   8 TBALZ(2,IMX,JMX,KMX+1)
09160   DIMENSION ALR(MFIIX,IMX),AUD(MFIIX,IMX),ANF(MFIIX,IMX),S(IMX),XT(IMX)
09170   ITROUT=1
09180   CALL CPTIME(ISTA)
09190C *** D U T E R   R O O P   E N T R Y   S T A R T ***
09200   WRITE(6,605)
09210   605 FORMAT(1H1,25X,'***** C O N V E R G E N C E   I N F O R M A T ',/
09220   8 ' I O N S *****//12H   D U T E R   12H   I N N E R   '/
09230   8 12H   R E B A L A N C E ,12H   R E B A L A N C E ,18H   C P U - T I M E   ,24X,
09240   4 12H   F L U X   ,6H   M A X . / 12H   I T E R A T I O N ,12H   I T E R A T I O N S ,
09250   4 12H   I T E R A T I O N ,12H   C O N V E R G E N C E ,6H   H O U R ,6H   M I N . ,6H   S E C ,
09260   8 12H   E I G E N V A L U E ,12H   P O W E R   ,12H   C O N V E R G E N C E ,6H   G R O U P //)
09270   DO 11 NG=1,NGMX
09280   11 CONVMX(NG)=1.0
09290   IF(IGRD,GE,4) IFLAG=-5
09300   DD 10 NG=1,NGMX
09320   10 IFLG(NG)=IFLAG
09330   101 CONTINUE
09340   EGNOLD=EIGEN
09350   PWROLD=PWRNEW
09360C *** E I G E N V A L U E   C A L C U L A T I O N ***
09370   CALL EIGENV(FISS,MAP,SCLFL,XFIS,XABS,DELX,DELY,DELZ,TBALX,TBALY,
09380   8 TBALZ)
09390   FNDR=EIGEN/PWRNEW
09400   DO 2 K=1,KMX
09410   DO 2 J=1,JMX
09420   DO 2 I=1,IMX
09430   FISS(I,J,K)=FISS(I,J,K)/EIGEN
09440   2 CONTINUE
09450   IF(ISTART,EO,1,AND,ITROUT,EO,1) GOTO 1003
09460C *** O U T E R   R E B A L A N C E   E N T R Y ***
09470   DO 200 K=1,KMX
09480   DO 200 J=1,JMX
09490   DO 200 I=1,IMX
09500   MAPI=MAP(1,J,K)
09510   VDL=DELX(1)=DELY(1)+DELZ(1)
09520   OV(1,J,K)=FISS(1,J,K)*VOL
09530C   OV(1,J,K)=0.0
09540   SS(1,J,K)=0.0
09550   DO 200 NG=1,NGMX
09560   SS(1,J,K)=SS(1,J,K)+XABS(NG,MAPI)*SCLFL(1,J,K,NG)*VOL
09570C   SS(1,J,K)=SS(1,J,K)+(XABS(NG,MAPI)*SCLFL(1,J,K,NG)-
09580C   & FISS(1,J,K))*VOL
09590   200 CONTINUE
09600   ICONB=-5
09610   IF(IGRD,LE,1) ICONB=IGRD
09620   CALL REBAL(OV,SS,TBALX,TBALY,TBALZ,IBNDCN,RFC)
09630   IF(ICONB,NE,0) GOTO 203
09640   DO 202 K=1,KMX
09650   DO 202 J=1,JMX
09660   DO 202 I=1,IMX
09670   RFC(I,J,K)=1.0
09680   202 CONTINUE
09690   203 CONTINUE
09700C *** E I G E N V A L U E   R E C A L C U L A T I O N ***
09710   DO 210 J=1,JMX
09720   DO 210 K=1,KMX
09730   TBALX(2,IMX+1,J,K)=TBALX(2,IMX+1,J,K)*RFC(1,J,K)
09740   210 TBALX(1,1,J,K)=TBALX(1,1,J,K)*RFC(1,J,K)
09750   DO 211 I=1,IMX
09760   DO 211 K=1,KMX
09770   TBALY(2,I,JMX+1,K)=TBALY(2,I,JMX+1,K)*RFC(1,JMX,K)
09780   211 TBALY(1,I,J,K)=TBALY(1,I,J,K)*RFC(1,I,J,K)
09790   DO 212 I=1,IMX
09800   DO 212 J=1,JMX
09810   DO 212 K=1,KMX
09820   212 TBALZ(2,I,J,KMX+1)=TBALZ(2,I,J,KMX+1)*RFC(1,J,KMX)
09830   TBALZ(1,I,J,K)=TBALZ(1,I,J,K)*RFC(1,I,J,K)
09840   CALL EIGENV(FISS,MAP,SCLFL,XFIS,XABS,DELX,DELY,DELZ,TBALX,
09850   & TBALY, TBALZ)
09860   FNDR=EIGEN/PWRNEW
09870   DO 220 K=1,KMX
09880   DO 220 J=1,JMX
09890   DO 220 I=1,IMX
09900   RFC(I,J,K)=RFC(1,J,K)*FNDR
09910   220 CONTINUE
09920   IF(ISTART,EO,1,AND,ITROUT,EO,1) GOTO 221
09930   DO 204 K=1,KMX
09940   DO 204 J=1,JMX
09950   DO 204 I=1,IMX
09960   FISS(I,J,K)=FISS(I,J,K)*RFC(I,J,K)
09970   204 CONTINUE
09980   221 CONTINUE
09990   DO 3 NG=1,NGMX
10000   DO 205 K=1,KMX
10010   DO 205 J=1,JMX
10020   DO 205 I=1,IMX
10030   SCLFL(I,J,K,NG)=SCLFL(1,J,K,NG)*RFC(I,J,K)
10040   205 CONTINUE
10050   DO 4 K=1,KMX
10060   DO 4 J=1,JMX
10070   DO 4 JD=1,2
10080   DO 4 KD=1,2
10090   N1=NQUAD(1,JD,KD)
10100   N2=NQUAD(2,JD,KD)
10110   DO 4 M=1,MMX
10120   & ANGFLJ(N1,M,1,J,K,NG)=ANGFLJ(N1,M,1,J,K,NG)
10130   & RFC(1,J,K)
10140   & ANGFLJ(N2,M,IMX+1,J,K,NG)=ANGFLJ(N2,M,IMX+1,J,K,
10150   & NG)*RFC(1,JMK,K)
10160   4 CONTINUE
10170   DO 5 K=1,KMX
10180   DO 5 I=1,IMX
10190   DO 5 ID=1,2
10200   DO 5 KD=1,2
10210   N1=NQUAD(1,JD,1,KD)
10220   N2=NQUAD(1,JD,2,KD)
10230   DO 5 M=1,MMX
10240   & ANGFLJ(N1,M,1,J,K,NG)=ANGFLJ(N1,M,1,J,K,NG)
10250   & RFC(1,J,K)
10260   & ANGFLJ(N2,M,1,JMX+1,K,NG)=ANGFLJ(N2,M,1,JMX+1,K,
10270   & NG)*RFC(1,JMK,K)
10280   5 CONTINUE
10290   DO 6 JF=1,JMX
10300   DO 6 I=1,IMX
10310   DO 6 ID=1,2
10320   DO 6 JD=1,2
10330   N1=NQUAD(1,JD,1,KD)

```

```

10330      N2=NQUAD(1D,JD,2)
10340      DO 5 M=1,MMX
10350      ANGFLK(N1,M,I,J,1,NG)=ANGFLK(N1,M,I,J,1,NG)
10360      *RFC(I,J,1)
10370      ANGFLK(N2,M,I,J,KMX+1,NG)=ANGFLK(N2,M,I,J,KMX+1,
10380      NG)*RFC(I,J,KMX)
10390      6      CONTINUE
10400      3      CONTINUE
10410 1003  CONTINUE
10420C *** C L E A R   R E B A L A N C E   A R R A Y S ****
10430      DO 209 L=1,2
10440      DO 206 K=1,KMX
10450      DO 206 J=1,JMX
10460      DO 206 I=1,IMX+1
10470      TBALX(L,I,J,K)=0.0
10480 206  CONTINUE
10490      DO 207 K=1,KMX
10500      DO 207 J=1,JMX+1
10510      DO 207 I=1,IMX
10520      TBALY(L,I,J,K)=0.0
10530 207  CONTINUE
10540      DO 208 K=1,KMX+1
10550      DO 208 J=1,JMX
10560      DO 208 I=1,IMX
10570      TBALZ(L,I,J,K)=0.0
10580 208  CONTINUE
10590 209  CONTINUE
10600C *** E X T E R N A L   S O U R C E   C A L C U L A T I O N ****
10610      DO 7 K=1,KMX
10620      DO 7 J=1,JMX
10630      DO 7 I=1,IMX
10640      MAP2=MAP(I,J,K)
10650      DO 8 NG=1,NGMX
10660      OO(I,J,K,NG)=0.0
10670      IA=ISCTMN(NG,MAP2)
10680      IB=ISCTMX(NG,MAP2)
10690      DO 9 NN=1A,IB
10700      IF(NN.EQ.NG) GOTO 9
10710      SCLFLX=SCLFL(1,J,K,NN)
10720      DO(I,J,K,NG)=OO(I,J,K,NG)+XSCT(NN,NG,MAP2)*SCLFLX
10730 9      CONTINUE
10740      OO(I,J,K,NG)=OO(I,J,K,NG)+XI(NG)=FISS(I,J,K)
10750 8      CONTINUE
10760 7      CONTINUE
10770C *** I N N E R   S W E E P   E N T R Y ****
10780      DO 13 NG=1,NGMX
10790 13  CONVMX(NG)=ABS(CONVMX(NG))
10800      CALL INNER(AMU,ETA,AKSI,WGT,DELX,DELY,DELZ,ALR,AUD,ANF,ANGFLI,
10810 8      ANGFLJ,ANGFLK,SCLFL,SCLOL1,IBNDN,MAP,OO,XSCT,XTRA,S,XT,QV,
10820      SS,BALX,BALY,BALZ,TBALX,TBALY,TBALZ,RFC,CONVMX)
10830C *** F L U X   C O N V E R G E N C E   T E S T ****
10840      CALL CONTEST(SCLFL,SCLOL2,CONVMX,CONV,CONVM)
10850      IF(ISTART.NE.-1) GOTO 102
10860      IF(NSN.NE.NFIX) RETURN
10870      CALL CODA(SCLFL,ANGFLI,ANGFLJ,ANGFLK,FISS,OO),
10880      CALL REACT(SCLFL,ANGFLJ,ANGFLK,GRX,TX,DELX,DELY,DELZ,
10890 8      AMU,ETA,AKSI,WGT,XABS,XFIS,XTRA,XSCT,XI,MAP)
10900      STOP '... END OF CALCULATION.'
10910C ****
10920 102  CONTINUE
10930C *** C H E C K   T I M E   F O R   A D D I T I O N A L   S W E E P ****
10940      DATA FACTOR /1.0E-6/
10950      CALL CPTIME(NDW)
10960      TIMCPU=FLOAT(NOW-ISTA)/600000.
10970      TIMOIT=FLOAT(NOW-IPRV)/60000.
10980      RESOUR=TIMOIT-TIMCPU
10990      TIMDMP=MMX*IMX*JMX*NGMX*FACTOR
11000      TREO=TIMMLMT+TIMOIT+TIMDMP
11010      IF(RESOUR.GT.TREO) GOTO 999
11020      CALL DUMPWR(DELX,DELY,DELZ,MAP,KABS,XFIS,XTRA,XSCT,XI,IBNDN,
11030 8      ISCTMX,ISCTMN,ANGFLI,ANGFLJ,ANGFLK,SCLFL,SCLOL2,TBALX,
11040 8      TBALY,TBALZ)
11050      CALL REACT(SCLFL,ANGFLI,ANGFLJ,ANGFLK,GRX,TX,DELX,DELY,DELZ,
11060 8      AMU,ETA,AKSI,WGT,XABS,XFIS,XTRA,XSCT,XI,MAP)
11070      STOP '... TIME LIMIT OVER. TRY RESTART.'
11080 999  IPRV=NOW
11090C *** C O N T I N U E   O U T E R   S W E E P ****
11100  ITROUT=ITROUT+1
11110C  IF(ITROUT.EQ.6) STOP '... END OF OUTER TEST'
11120  GOTO 101
11130C *** O U T E R   R O O P   E N T R Y   E N D ****
11140      END
11150      SUBROUTINE EIGENV(FISS,MAP,SCLFL,XFIS,XABS,DELX,DELY,DELZ,TBALX,
11160 8      TBALY,TBALZ)
11170      COMMON /CONT1/IMX,JMX,KMX,MMX,MMF,NGMX,MAPMX,NSN,NFIX,ITINMX,
11180 8      NQUAD(2,2,2)
11190      COMMON /MONIT/EGNOLD,EIGEN,PWROLD,PWRNEW,CONCR,CONCR1,CONCRE,
11200 8      CONCR2,TIMOUT,TIMMLMT,TIMCPU,ITROUT,ITRIN,ITREB,ISTA,IPRV,NDW,
11210 8      IMMX,JMMX,KMMX,NGMMX
11220      DIMENSION FISS(IMX,JMX,KMX),MAP(IMX,JMX,KMX),SCLFL(IMX,JMX,KMX,
11230 8      NGMX),XABS(NGMX,MAPMX),XFIS(NGMX,MAPMX),DELX(IMX),DELY(JMX),
11240 8      DELZ(KMX),TBALX(2,IMX+1,JMX,KMX),TBALY(2,IMX,JMX+1,KMX),
11250 8      TBALZ(2, IMX,JMX,KMX+1)
11260      TF=0.0
11270      TA=0.0
11280      DO 1 K=1,KMX
11290      DO 1 J=1,JMX
11300      DO 1 I=1,IMX
11310      FISS(I,J,K)=0.0
11320      MAP(I)=MAP(I,J,K)
11330      DO 1 NG=1,NGMX
11340      SF=SCLFL(I,J,K,NG)
11350      FIS=XFIS(NG,MAP(I))*SF
11360      FISS(I,J,K)=FISS(I,J,K)+FIS
11370      VOL=DELX(I)*DELY(J)*DELZ(K)
11380      TF+TF+FIS=VOL
11390      TA+TA+KABS(NG,MAP(I))=SF*VOL
11400 1  CONTINUE
11410      LREC1=2*(IMX+1)*JMX*KMX
11420      LREC2=2*IMX*KMX*(KMX+1)
11430      XL=0.0
11440      DO 251 K=1,KMX
11450      DO 251 J=1,JMX
11460      XL=XL+TBALX(1,I,J,K)+TBALX(2,IMX+1,J,K)
11470      XL=XL-TBALX(2,I,J,K)-TBALX(1,IMX+1,J,K)
11480 251  CONTINUE
11490      YL=0.0
11500  DO 252 I=1,IMX
11510      DO 252 K=1,KMX
11520      YL=YL+TBALY(1,I,J,K)+TBALY(2,IMX+1,K)
11530      YL=YL-TBALY(2,I,J,K)-TBALY(1,IMX+1,K)
11540 252  CONTINUE
11550      ZL=0.0
11560  DO 253 I=1,IMX
11570      DO 253 J=1,JMX
11580      ZL=ZL+TBALZ(1,I,J,K)+TBALZ(2,IMX+1,J,K)
11590      ZL=ZL-TBALZ(2,I,J,K)-TBALZ(1,IMX+1,J,K)
11600 253  CONTINUE
11610      EIGEN=TF/(TA+XL+YL+ZL)

```

```

11620 PWRNEW=TF
11630 RETURN
11640 END
11650 SUBROUTINE INNER(AMU,ETA,AKS),WGT,DELX,DELY,DELZ,ALR,AUD,ANF,
11660 & ANGFLJ,ANGFLX,SCFLJ,SCLOLJ,IBNDCN,MAP,OO,XSET,XTRA, S,
11670 & XT,OV,SS,BALX,BALY,BALZ,TBALX,TBALY,TBALZ,RFC,CONVMX)
11680 COMMON /CONT1/IMX,JMX,KMX,MMX,MFIK,NGMX,MAPMX,NSN,NFIK,ITINMX,
11690 & NQUAD(2, 2)
11700 COMMON /MONIT/EGNOLD,EIGEN,PWRNEW,CONCR,CONCRI,CDNCRE,
11710 & CONCRR,TIMOUT,TIMMLT,TIMCPU,ITROUT,ITRIN,ITREB,ISTA,IPRV,NOW,
11720 & IMXK, JMXM, KMXM, NGMXM
11730 COMMON /OPTON/ISTART,MONT,IRDMA,IGRD
11740 COMMON /REBFC/IRBMX,RCFL,RFCL,RFMX,ICONB,IFLG(70)
11750 COMMON /SWEEP/IDRCT,1,J,K,NC
11760 DIMENSION AMU(MFIK),ETA(MFIK),AKS(MFIK),WGT(MFIK),DELX(IMX),
& DELY(JMX),DELZ(KMX)
11770 DIMENSION ALR(MFIK,IMX),AUD(MFIK,IMX),ANF(MFIK,IMX),ANGFLJ(8,MMX,
& IMX+1,JMX,KMX,NGMX),ANGFLJ(8,MMX,IMX,IMX+1,KMX,NGMX),ANGFLK(8,
& MFIK, JMX, JMX, KMX+1, NGMX),SCFLJ(IMX, JMX, KMX, NGMX),SCLOLJ(IMX,
& JMX, KMX)
11780 DIMENSION IBNDCN(3,2),MAP(IMX,JMX,KMX),OO(IMX,JMX,KMX,NGMX),
& XCST(NGMX,NGMX,MAPMX),XTRA(NGMX,MAPMX), S(IMX), XT(IMX), SS(IMX,
& JMX,KMX),BALX(2,IMX+1,JMX,KMX),BALY(2, IMX, JMX+1,KMX),BALZ(2,
& IMX, JMX, KMX+1),RFC(IMX,JMX,KMX),OV(IMX,JMX,KMX),TBALX(2,IMX+1,
& JMX,KMX),TBALY(2,IMX,JMX+1,KMX),TBALZ(2,IMX,JMX,KMX+1),
& CONVMX(NGMX)
11790 NC=1
11800 11 CONTINUE
11810 ITIN=0
11820 NTREB=0
11830 10 CONTINUE
11840 DO 12 K=1,KMX
11850 DO 12 J=1,JMX
11860 DO 12 I=1,IMX
11870 SCLOLJ(I,J,K)=SCFLJ(I,J,K,NC)
11880 12 CONTINUE
11890 IDRCT=-1
11900 JDRCT=-1
11910 KDRCT=-1
11920 1 CONTINUE
11930 K#1
11940 K#2
11950 IF(KDRCT.EQ.1) GOTO 2
11960 K=KMX
11970 K#1
11980 2 CONTINUE
11990 J#1
12000 JD#2
12010 3 CONTINUE
12020 I#1
12030 ID#2
12040 IF(IDRCT.EQ.1) GOTO 4
12050 K=KMX
12060 K#1
12070 4 CONTINUE
12080 J#1
12090 JD#1
12100 5 CONTINUE
12110 ID#2
12120 IF(IDRCT.EQ.1) GOTO 6
12130 6 CONTINUE
12140 I#1
12150 ID#2
12160 IF(IDRCT.EQ.1) GOTO 7
12170 I#1
12180 7 CONTINUE
12190 8 CONTINUE
12200 IQUAD=NQUAD(ID,JD,KD)
12210C**** D A T A M A N A G E M E N T E N T R Y *****
12220 IA=I+2-ID
12230 JA=J+2-JD
12240 KA=K+2-KD
12250C---- X B O U N D A R Y O P E R A T I O N ----
12260 IFUNC=IBNDCN(1,1D)
12270 GOTO (101,102),IFUNC+1
12280C**** 101 CONTINUE
12290 DO 103 M=1,MMX
12300 ALR(M,I)=O.O
12310 ANGFLJ(IQUAD,M,IA,J,K,NC)=ALR(M,I)
12320 103 CONTINUE
12330 GOTO 1000
12340 102 CONTINUE
12350C**** 102 CONTINUE
12360 ID#1
12370 IF(ID,EQ.1) IDR#2
12380 IO=NQUAD(ID,JD,KD)
12390 DO 104 M=1,MMX
12400 ALR(M,I)=ANGFLJ(IQUAD,M,IA,J,K,NC)
12410 ANGFLJ(IQUAD,M,IA,J,K,NC)=ALR(M,I)
12420 104 CONTINUE
12430 1000 CONTINUE
12440 IF(J.EQ.1,AND,JD.EQ.2) GOTO 2000
12450 IF(J.EQ.JMX,AND,JD.EQ.1) GOTO 2000
12460 2000C---- D A T A T R A N S F E R T O A U D A R R A Y ----
12470C---- D A T A T R A N S F E R T O A N F A R R A Y ----
12480 DO 200 II=1,IMX
12490 DO 200 M=1,MMX
12500 AUD(M,II)=ANGFLJ(IQUAD,M,II,JA,K,NC)
12510 200 CONTINUE
12520 GOTO 2001
12530C**** 2000 CONTINUE
12540 2000C---- Y B O U N D A R Y O P E R A T I O N ----
12550 IFUNC=IBNDCN(2,JD)
12560 GOTO (201,202),IFUNC+1
12570 201 CONTINUE
12580 DO 203 II=1,IMX
12590 DO 203 M=1,MMX
12600 AUD(M,II)=O.O
12610 ANGFLJ(IQUAD,M,II,JA,K,NC)=AUD(M,II)
12620 203 CONTINUE
12630 GOTO 2001
12640 202 CONTINUE
12650 JD#1
12660 IF(JD,EQ.1) JDR#2
12670 IO=NQUAD(ID,JDR,KD)
12680 DO 204 II=1,IMX
12690 DO 204 M=1,MMX
12700 AUD(M,II)=ANGFLJ(IQUAD,M,II,JA,K,NC)
12710 ANGFLJ(IQUAD,M,II,JA,K,NC)=AUD(M,II)
12720 204 CONTINUE
12730 2001 CONTINUE
12740 IF(K,EQ.1,AND,KD.EQ.2) GOTO 3000
12750 IF(K,EQ.KMX,AND,KD.EQ.1) GOTO 3000
12760 3000C---- D A T A T R A N S F E R T O A N F A R R A Y ----
12770 DO 300 II=1,IMX
12780 DO 300 M=1,MMX
12790 AUD(M,II)=ANGFLK(IQUAD,M,II,J,KA,NC)
12800 300 CONTINUE
12810 GOTO 4000
12820 3000C**** Z B O U N D A R Y O P E R A T I O N ----
12830 IFUNC=IBNDCN(3,KD)
12840 GOTO (301,302),IFUNC+1
12900C****

```

```

12910 301      CONTINUE
12920      DO 303 I=1,IMX
12930      DO 303 M=1,MMX
12940      ANF(M,I)=0.0
12950      ANGFLK(IQUAD,M,I,J,KA,NG)=ANF(M,I)
12960 303      CONTINUE
12970      GOTO 4000
12980***** 302      CONTINUE
13000      KDR=1
13010      IF(KD.EQ.1) KDR=2
13020      IO=NQUAD(ID,JD,KDR)
13030      DO 304 I=1,IMX
13040      DO 304 M=1,MMX
13050      ANF(M,I)=ANGFLK(IO,M,I,J,KA,NG)
13060      ANGFLK(IQUAD,M,I,J,KA,NG)=ANF(M,I)
13070 304      CONTINUE
13080 4000      CONTINUE
13090***** L I N E M E S H S W E E P E N T R Y *****
13100      S=DELV(J)=DELZ(K)
13110      DO 20 I=1,IMX
13120      MAPI=MAP(I,J,K)
13130      S(I)=OO(I,J,K,NG)
13140      SFL=SCLFL(I,J,K,NG)
13150      SSS=XSC(NC,NG,MAPI)*SFL
13160      S(I)=S(I)+SSS
13170      XT(I)=XTRA(NG,MAPI)
13180      VOL=S*S*DELX(I)
13190      SS(I,J,K)=(XT(I)+SFL-SSS)*VOL
13200      OV(I,J,K)=OO(I,J,K,NG)*VOL
13210 20      CONTINUE
13220      CALL LINER(ALR,AUD,ANF,AMU,ETA,AKSI,DELX,DELZ,DEL2,S,XT)
13230      KA=K-1+KD
13240      JA=J-1+JD
13250      DO 40 I=1,IMX
13260      IA=I-1+ID
13270      DO 40 M=1,MMX
13280      ANGLI(IQUAD,M,IA,J,K,NG)=ALR(M,I)
13290      ANGLJ(IQUAD,M,I,JA,K,NG)=AUD(M,I)
13300      ANGFLK(IQUAD,M,I,J,KA,NG)=ANF(M,I)
13310 40      CONTINUE
13320***** T U R N I N G P O I N T F O R 1 *****
13330      IDRCT=IDRCT*(-1)
13340      IF(IDRCT.EQ.1) GOTO 3
13350***** S W E E P N E X T L I N E *****
13360      J=J+JDRC
13370      IF(J.EQ.0.OR.J.EQ.JMX+1) GOTO 5
13380      GOTO 3
13390***** 5      CONTINUE
13400      5      CONTINUE
13410***** T U R N I N G P O I N T F O R J *****
13420      JDRC=JDRC*(-1)
13430      IF(JDRC.EQ.1) GOTO 2
13440***** S W E E P N E X T P L A N E *****
13450      K=K+JDRC
13460      IF(K.EQ.0.OR.K.EQ.KMX+1) GOTO 6
13470      GOTO 2
13480***** 6      CONTINUE
13490      6      CONTINUE
13500***** T U R N I N G P O I N T F O R K *****
13510      KDRCT=KDRCT*(-1)
13520      IF(KDRCT.EQ.1) GOTO 1
13530***** S C A L A R F L U X R E F L E S H M E N T *****
13540      DO 33 K=1,KMX
13550      DO 33 J=1,JMX
13560      DO 33 I=1,IMX
13570      SCLFLX=0.0
13580      DO 34 IO=1,8
13590      DO 34 M=1,MMX
13600      AF1=ANGFLI(IQ,M,I,J,K,NG)
13610      AF12=ANGFLI(IQ,M,I+1,J,K,NG)
13620      AFJ1=ANGFLJ(IQ,M,I,J,K,NG)
13630      AFJ2=ANGFLJ(IQ,M,I,J+1,K,NG)
13640      AFK1=ANGFLK(IQ,M,I,J,K+1,NG)
13650      AFK2=ANGFLK(IQ,M,I,J,K+1,NG)
13660      SCLFLX=SCLFLX+(AF1+AF12+AFJ1+AFJ2+AFK1+AFK2)*WGT(M)
13670 34      CONTINUE
13680      SCLFL(I,J,K,NG)=SCLFLX/6.0
13690 33      CONTINUE
13700***** R E B A L A N C E E N T R Y *****
13710      DO 21 K=1,KMX
13720      DO 21 J=1,JMX
13730      DO 21 I=1,IMX
13740      RFC(I,J,K)=1.0
13750      MAPIMAP(I,J,K)
13760      SS(I,J,K)=(XTRA(NG,MAPI)-XSC(NC,NG,MAPI))*DELX(I)
13770      *DELY(J)*DELZ(K)*SCLFL(I,J,K,NG)
13780 21      CONTINUE
13790      DO 22 J=1,JMX
13800      DO 22 K=1,KMX
13810      DO 22 IA=1,IMX+
13820      S=DELV(J)*DELZ(K)
13830      BALXI(1,IA,J,K)=0.0
13840      BALX(2,IA,J,K)=0.0
13850      DO 22 JD=1,2
13860      DO 22 KD=1,2
13870      IQ1=NQUAD(1,JD,KD)
13880      IQ2=NQUAD(2,JD,KD)
13890      DO 22 M=1,MMX
13900      WAM=WGT(M)*AMU(M)*S
13910      AFF=ANGFLI(IQ1,M,IA,J,K,NG)
13920      BALX(1,IA,J,K)=BALX(1,IA,J,K)+AF*WAM
13930      AFF=ANGFLJ(IQ1,M,I,JA,K,NG)
13940      BALX(2,IA,J,K)=BALX(2,IA,J,K)+AF*WAM
13950 22      CONTINUE
13960      DO 23 K=1,KMX
13970      DO 23 I=1,IMX
13980      DO 23 JA=1,IMX+
13990      S=DELZ(K)*DELX(I)
14000      BALY(1,I,JA,K)=0.0
14010      BALY(2,I,JA,K)=0.0
14020      DO 23 KD=1,2
14030      DO 23 ID=1,2
14040      IQ1=NQUAD(1,JD,KD)
14050      IQ2=NQUAD(2,JD,KD)
14060      DO 23 M=1,MMX
14070      WET=WGT(M)*ETA(M)*S
14080      AFF=ANGFLJ(IQ1,M,I,JA,K,NG)
14090      BALY(1,I,JA,K)=BALY(1,I,JA,K)+AF*WET
14100      AFF=ANGFLJ(IQ2,M,I,JA,K,NG)
14110      BALY(2,I,JA,K)=BALY(2,I,JA,K)+AF*WET
14120 23      CONTINUE
14130      DO 24 I=1,IMX
14140      DO 24 JA=1,IMX+
14150      DO 24 KA=1,KMX+
14160      S=DELX(I)*DELY(J)
14170      BALZ(1,I,J,KA)=0.0
14180      BALZ(2,I,J,KA)=0.0
14190      DO 24 ID=1,2

```

```

14200      DD 24 JD=1,2
14210      IQ1=NQUAD(ID,JD,1)
14220      IQ2=NQUAD(ID,JD,2)
14230      DD 24 M=1,MMX
14240      WAK=WGT(M)=AKSI(M)*50
14250      AF=ANGFLK(IQ1,M,1,J,K,A,NG)
14260      BALZ(1,1,J,K,A)=BALZ(1,1,J,K,A)+AF*WAK
14270      AF=ANGFLK(IQ2,M,1,J,K,A,NG)
14280      BALZ(2,1,J,K,A)=BALZ(2,1,J,K,A)+AF*WAK
14290      24    CONTINUE
14300      IF(ISTART.EQ.1.AND.ITROUT.EQ.1) GOTO 701
14305*** R E B A L A N C E   G R A D E   D E T E R M I N A T I O N ***
14310      ICONB=IFLG(NG)
14320      IF(IGRD,NE,2) GOTO 401
14330      IH=ITRIN/2
14340      IH=IH*2
14350      IF(IM,NE,ITRIN) GOTO 401
14360      ICONB=-IFLG(NG)
14370      401    IF(IFLG(NG),GE,-2) GOTO 45
14375      CUL=CONVMX(NG)
14380      IF(IGRD,EQ,3.OR.CMX.LE.CUL) GOTO 46
14390      IFLG(NG)*-4
14400      GOTO 46
14405C****
14410      46    IF(IFLG(NG),LE,-5.OR.CUL,LT,1.OE-3) GOTO 45
14420      CONE=ABS(1.0-EGNOLD/EIGEN)
14430      IF(CONE,GT,1.OE-3) GOTO 45
14440      ICONB=-5
14450      IF(IGRD,EO,3) GOTO 47
14460      IFLG(NG)*-5
14470      ICONB=IFLG(NG)
14480      CALL REBAL( QV,SS,BALX,BALY,BALZ,IBNDCH,RFC)
14490      47    GOTO 901
14500      701    CONTINUE
14510      IF(ICONB,NE,0) GOTO 801
14520      DD 27 K=1,KMX
14530      DO 27 J=1,JMX
14540      DO 27 I=1,IMX
14550      RFC(I,J,K)*1.0
14560      27    CONTINUE
14570      GOTO 901
14580C****
14590      801    CONTINUE
14600      DO 28 K=1,KMX
14610      DO 28 J=1,JMX
14620      DO 28 I=1,IMX
14630      SCLFL(I,J,K,NG)=SCLFL(I,J,K,NG)*RFC(I,J,K)
14640      28    CONTINUE
14650      IF(IBNDCN(1,1),EQ,0) GOTO 1029
14660      DO 29 K=1,KMX
14670      DO 29 J=1,JMX
14680      DO 29 JD=1,2
14690      H2=NQUAD(2,JD,KD)
14700      DO 29 M=1,MMX
14710      ANGFL1(N2,M,IMX+1,J,K,NG)=ANGFL1(N2,M,IMX+1,J,K,
14720      NG)*RFC(JMKX,J,K)
14730      29    CONTINUE
14740      IF(IBNDCN(2,1),EQ,0) GOTO 1030
14750      DO 30 K=1,KMX
14760      DO 30 I=1,IMX
14770      DO 30 ID=1,2
14780      DO 30 KD=1,2
14790      H2=NQUAD(ID,2,KD)
14800      DO 30 M=1,MMX
14810      ANGFLJ(N2,M,I,JMKX+1,K,NG)=ANGFLJ(N2,M,I,JMKX+1,K,
14820      NG)*RFC(I,JMKX,K)
14830      30    CONTINUE
14840      IF(IBNDCN(3,1),EQ,0) GOTO 901
14850      DO 31 J=1,JMX
14860      DO 31 I=1,IMX
14870      DO 31 ID=1,2
14880      DO 31 JD=1,2
14890      H2=NQUAD(ID,JD,2)
14900      DO 31 M=1,MMX
14910      ANGFLK(N2,M,I,J,KMX+1,NG)=ANGFLK(N2,M,I,J,KMX+1,
14920      NG)*RFC(I,J,KMX)
14930      31    CONTINUE
14940C****
14950      901    CONTINUE
14960      E N D   O F   I N H E R   R O U P ****
14970      ITRIN=ITRIN+1
14980      NTREB=NTREB+ITRIN
14990      IF(ITRIN,EO,ITINMX) GOTO 8
15000      CMX=0.0
15010      DO 32 J=1,JMX
15020      DO 32 K=1,KMX
15030      DO 32 I=1,IMX
15040      ERR=ABS(1.0-SCLFL(I,J,K,NG)/SCLFL(I,J,K))
15050      CMX=AMAX1(CMX,ERR)
15060      32    CONTINUE
15070      IF(CMX,LE,CONCR) GOTO 8
15080      GOTO 10
15120C****
15130      8    CONTINUE
15140      WRITE(6,610) NG,ITRIN,NTREB,RFMX,CMX
15150      610    FORMAT(12X,15,17,18,8X,1PE12.3,42X,E12.3)
15160      DO 41 K=1,KMX
15170      DO 41 J=1,JMX
15180      DO 41 I=1,IMX
15190      RF=RFC(I,J,K)
15200      TBALX(1,1,J,K)=TBALX(1,1,J,K)+BALX(1,1,J,K)*RF
15210      TBALX(2,1+1,J,K)=TBALX(2,1+1,J,K)+BALX(2,1+1,J,K)*RF
15220      TBALY(1,1,J,K)=TBALY(1,1,J,K)+BALY(1,1,J,K)*RF
15230      TBALY(2,1,J+1,K)=TBALY(2,1,J+1,K)+BALY(2,1,J+1,K)*RF
15240      TBALZ(1,1,J,K)=TBALZ(1,1,J,K)+BALZ(1,1,J,K)*RF
15250      41    TBALZ(2,1,J,K+1)=TBALZ(2,1,J,K+1)+BALZ(2,1,J,K+1)*RF
15260      DO 42 J=1,JMX
15270      DO 42 K=1,KMX
15280      TBALX(2,1,J,K)=TBALX(2,1,J,K)+BALX(2,1,J,K)*RFC(1,J,K)
15290      42    TBALX(1,IMX+1,J,K)=TBALX(1,IMX+1,J,K)+BALX(1,IMX+1,J,K)
15300      *RFC(1,IMX,J,K)
15310      DO 43 I=1,IMX
15320      DO 43 K=1,KMX
15330      TBALY(2,I,1,K)=TBALY(2,I,1,K)+BALY(2,I,1,K)*RFC(I,1,K)
15340      43    TBALY(1,I,JMKX+1,K)=TBALY(1,I,JMKX+1,K)+BALY(1,I,JMKX+1,K)*RFC(I,
15350      JMKX,K)
15360      DO 44 I=1,IMX
15370      DO 44 J=1,JMX
15380      TBALZ(2,I,J,1)=TBALZ(2,I,J,1)+BALZ(2,I,J,1)*RFC(I,J,1)
15390      44    TBALZ(1,I,J,KMX+1)=TBALZ(1,I,J,KMX+1)+BALZ(1,I,J,KMX+1)*RFC(I,
15400      J,KMX)
15410C---- S W E E P   N E X T   G R O U P ----
15420      NG=NG+1
15430      IF(NG,EO,NGMX+1) GOTO 7
15440      GOTO 11
15450C****
15460      7    CONTINUE
15470      RETURN
15480      END

```

```

15490 SUBROUTINE LINER(ALR,AUD,ANF,AMU,ETA,AKSI,DELX,DELY,DELZ,S,XT)
15500 COMMON /CONTL/IMX,JMX,KMX,MMX,MFIX,NGMX,MAPMX,NSN,NFIX,ITINMX,
15510 & NQUAD(2,2,2)
15520 COMMON /SWEEP/IDRCT,I,J,K,NG
15530 DIMENSION ALR(MFIX,IMX),AUD(MFIX,IMX),ANF(MFIX,IMX),AMU(MFIX),
15540 & ETA(MFIX),AKSI(MFIX),DELX(IMX),DELY(JMX),DELZ(KMX),S(IMX),
15550 & XT(JMX)
15560 DIMENSION F1(3,2),F2(3,2)
15570 1 CONTINUE
15580 DO 2 M=1,MMX
15590   AF1D=ALR(M,I)
15600   AFJD=AUD(M,I)
15610   AFKD=ANF(M,I)
15620   A=2.0*AMU(M)/DELX(1)
15630   B=2.0*ETA(M)/DELY(J)
15640   C=2.0*AKSI(M)/DELZ(K)
15650   AFC=(A*AF1D+B*AFJD+C*AFKD+S(1))/(A+B+C+XT(I))
15660   AFC=AFC+AFC
15670   AFIN=AFC-AF1D
15680   AFJN=AFC-AFJD
15690   AFKN=AFC-AFKD
15700C*** NEGATIVE FLUX FIX - UP ENTRY ***
15710C-----
15720C   FIXUP POSITIVE AF, NEGATIVE AF.
15730C   FACTORS I J K I J K
15740   DATA F1 /1.0,1.0,1.0,0.5,0.5,0.5/
15750   DATA F2 /1.0,1.0,1.0,0.0,0.0,0.0/
15760C-----
15770 IF(AFIN.LE.0.0.OR.AFJN.LE.0.0.OR.AFKN.LE.0.0) GOTO 101
15780 GOTO 103
15790C****
15800 101 IFLAG=0
15810 10 CONTINUE
15820   IFI=1
15830   IFJ=1
15840   IFK=1
15850   IF(AFIN.LT.0.0) IFI=2
15860   IF(AFJN.LT.0.0) IFJ=2
15870   IF(AFKN.LT.0.0) IFK=2
15880   AFC=(A*F1(IFI,IFI)*AF1D+B*F1(2,IFJ)*AFJD+C*F1(3,IFK)*AFKD+
15890 & S(1))/(A*F2(1,IFI)+B*F2(2,IFJ)+C*F2(3,IFK)+XT(I))
15900   AFIN=F2(1,IFI)*(2.0*AFC-AF1D)
15910   AFJN=F2(2,IFJ)*(2.0*AFC-AFJD)
15920   AFKN=F2(3,IFK)*(2.0*AFC-AFKD)
15930   IF(AFIN.LT.0.0.OR.AFJN.LT.0.0.OR.AFKN.LT.0.0) IFLAG=IFLAG+1
15940   IF(IFLAG.GE.1.AND.IFLAG.LE.3) GOTO 10
15950 103 CONTINUE
15960   ALR(M,I)=AFIN
15970   AUD(M,I)=AFJN
15980   ANF(M,I)=AFKN
15990 2 CONTINUE
16000   I=I+IDRCT
16010   IF(I.EQ.0.OR.I.EQ.IMX+1) GOTO 102
16020   IDLD=I-IDRCT
16030   DO 20 M=1,MMX
16040     ALR(M,I)=ALR(M,IDL)
16050 20 CONTINUE
16060 GOTO 1
16070C****
16080 102 CONTINUE
16090 RETURN
16100 END
16110 SUBROUTINE REBAL(OV,SS,BALX,BALY,BALZ,IBNDCN,RFC)
16120 COMMON /CONTL/IMX,JMX,KMX,MMX,MFIX,NGMX,MAPMX,NSN,NFIX,ITINMX,
16130 & NQUAD(2,2,2)
16140 COMMON /MONIT/EGNOLD,EIGEN,PWROLD,PWRNEW,CONCR,CONCRI,CONCRE,
16150 & CONCR,TIMEOUT,TIMMLMT,TIMCPU,ITROUT,ITRIN,ITREB,ISTA,IPRV,NOW,
16160 & IMXM, JNMX, KMXM, NGMX
16170 COMMON /REBFC/IRBMX,RFCUL,RFCLL,RPMX,ICONB,IFLG(70)
16180 COMMON /SWEEP/IDRCT,I,J,K,NG
16190 DIMENSION OV(IMX,JMX,KMX),BALX(2,IMX+1,JMX,KMX),BALY(2,IMX, JMX+1,
16200 & KMX),BALZ(2,IMX,JMX,KMX+1),RFC(IMX,JMX,KMX),SS(IMX,JMX, KMX),
16210 & IBNDCN(3,2)
16220 IF(ICONB.EQ.0) RETURN
16230 IF(ICONB.GT.-5) GOTO 302
16240 ITREB=0
16250 1001 CONTINUE
16260   RFMX=0.0
16270   DO 5 K=1,KMX
16280   DO 5 J=1,JMX
16290   DO 5 I=1,IMX
16300   RFC0=RFC(I,J,K)
16310   FL1=BALX(I,I,J,K)
16320   FL2=BALX(2,I,J,K)
16330   FR1=BALX(I,I+1,J,K)
16340   FR2=BALX(2,I+1,J,K)
16350   FU1=BALY(I,I,J,K)
16360   FU2=BALY(2,I,J,K)
16370   FD1=BALY(I,I,J+1,K)
16380   FD2=BALY(2,I,J+1,K)
16390   FN1=BALZ(I,I,J,K)
16400   FN2=BALZ(2,I,J,K)
16410   FF1=BALZ(I,I,J,K+1)
16420   FF2=BALZ(2,I,J,K+1)
16430   A=OV(I,J,K)
16440   B=SS(I,J,K)
16450   IF(A.GT.0.0.AND.B.GT.0.0) GOTO 301
16460 GOTO 303
16470C****
16480 301 IF(I.EQ.IMX) GOTO 101
16490   A=A+RFC(I+1,J,K)*FR1
16500 GOTO 102
16510C****
16520 101 IF(IBNDCN(1,1).NE.1) GOTO 102
16530   B=B+FR2-FR1
16540 GOTO 100
16550C****
16560 102 B=B+FR2
16570 100 IF(I.EQ.1) GOTO 103
16580   A=A+RFC(I-1,J,K)*FL2
16590 GOTO 104
16600C****
16610 103 IF(IBNDCN(1,2).NE.1) GOTO 104
16620   B=B+FL1-FL2
16630 GOTO 105
16640C****
16650 104 B=B+FL1
16660 105 IF(J.EQ.JMX) GOTO 106
16670   A=A+RFC(I,J+1,K)*FD1
16680 GOTO 107
16690C****
16700 106 IF(IBNDCN(2,1).NE.1) GOTO 107
16710   B=B+FD2-FD1
16720 GOTO 110
16730C****
16740 107 B=B+FD2
16750 110 IF(J.EQ.1) GOTO 111
16760   A=A+RFC(I,J-1,K)*FU2
16770 GOTO 112

```

```

1678OC****  

16790 111 IF(1BNDCN(2,2).NE.1) GOTO 112  

16800      B+B+FU1-FU2  

16810      GOTO 115  

16820C****  

16830 112 B+B+FU1  

16840 115 IF(K.EQ.KMX) GOTO 116  

16850      A=A+RFC(I,J,K+1)*FF1  

16860      GOTO 117  

16870C****  

16880 116 IF(1BNDCN(3,1).NE.1) GOTO 117  

16890      B+B+FF2-FF1  

16900      GOTO 120  

16910C****  

16920 117 B+B+FF2  

16930 120 IF(K.EQ.1) GOTO 121  

16940      A=A+RFC(I,J,K-1)*FN2  

16950      GOTO 122  

16960C****  

16970 121 IF(1BNDCN(2,2).NE.1) GOTO 122  

16980      B+B+FN1-FN2  

16990      GOTO 125  

17000C****  

17010 122 B+B+FN1  

17020 125 CONTINUE  

17030 IF(B.LE.0.0) GOTO 302  

17040      FA/B  

17050      IF(F.GT.RFCUL) GOTO 302  

17060      IF(F.LT.RFCLL) GOTO 302  

17070      RFC(I,J,K)*F  

17080      RFCINV*ABS(RFC(I,J,K)-RFC0)/RFC(I,J,K))  

17090      RFMX=AMAX1(RFCINV,RFMX)  

17100      B CONTINUE  

17110      IF(RFMX.LE.CONCR) RETURN  

17120      ITREB=ITREB+1  

17130      IF(ITREB.LE.IRBMX) GOTO 1001  

17140C*** T O T A L R E B A L A N C E O N L Y ***  

17150 302 TLK=0.0  

17160  TOV=0.0  

17170  TSS=0.0  

17180  DO 131 K=1,KMX  

17190      DO 131 J=1,JMX  

17200 131 TLK=TLK+BALX(1,I,J,K)-BALX(2,1,J,K)-BALX(1,IMX+1,J,K)+BALX(2,  

17210      & IMX+1,J,K)  

17220  DO 132 K=1,KMX  

17230      DO 132 I=1,IMX  

17240 132 TLK=TLK+BALY(1,I,1,K)-BALY(2,I,1,K)-BALY(1,I,IMX+1,K)+BALY(2,I,  

17250      & IMX+1,K)  

17260  DO 133 I=1,IMX  

17270      DO 133 J=1,JMX  

17280 133 TLK=TLK+BALZ(1,I,J,1)-BALZ(2,I,J,1)-BALZ(1,I,J,KMX+1)+BALZ(2,I,  

17290      & J,KMX+1)  

17300  DO 134 K=1,KMX  

17310      DO 134 J=1,JMX  

17320      DO 134 I=1,IMX  

17330      TOV=TOV+OVI(I,J,K)  

17340 134 TSS=TSS+SS(I,J,K)  

17350  F77OV/[TSS+TLK]  

17360  DO 135 K=1,KMX  

17370  DO 135 J=1,JMX  

17380  DO 135 I=1,IMX  

17390 136 RFC(I,J,K)*F  

17400  RETURN  

17410C***  

17420 303 ICDBN=0  

17430  RETURN  

17440  END  

17450  SUBROUTINE CONTES(SCFL,SCLOLD,CONVMX,CONVY,CONVM)  

17460  COMMON /CNTR1/IMX,JMX,KMX,MMX,MFIK,NGMX,MAPMX,NSH,NFIK,ITINMX,  

17470  & NOUDN(2,2,2)  

17480  COMMON /MONIT/EGHOLD,EIGEN,PWROLD,PWRNEW,CONCR,CONCRI,CONCRE,  

17490  & CONCR, TIMOUT,TIMCPU,ITROUT,ITRIN,ITREB,ISTA,IPRV,NOW,  

17500  & IMMX,JMMX,KMMX,NGMMX  

17510  COMMON /DPTON/ISTART,MONT,IROMA,IGRD  

17520  COMMON /REBFC/IRBMX,RFCLL,RFMX,ICDBN,IFLG(70)  

17530  DIMENSION SCFL(IMX,JMX,KMX,NGMX),SCLOLD(IMX,JMX,KMX,NGMX),  

17540  & CONVMX(NGMX),CONVY(IMX),CONVM(IMMX,JMMX),MONI(10),MONJ(10),  

17550  & MONK(10),MONG(10)  

17560  DATA MONI /1,2,3,4,5,6,-1,-1,-1,-1/  

17570  DATA MONJ /1,2,3,4,5,6,-1,-1,-1,-1/  

17580  DATA MONK /1,2,3,1,-1,-1,-1,-1,-1/  

17590  DATA MONG /1,3,-1,-1,-1,-1,-1,-1,-1/  

17600  ISTART=-1  

17610  IF(MONT.NE.-1) GOTO 1001  

17620  M O N I T O R S E C T I O N N O . 1 -----  

17630  MONIMMX=0  

17640  MONJMMX=0  

17650  MONKMMX=0  

17660  MONGMMX=0  

17670  DO 11 I=1,10  

17680  IF(MONI(I)).GT.0) MONIMMX=MONIMMX+1  

17690  IF(MONJ(I)).GT.0) MONJMMX=MONJMMX+1  

17700  IF(MONK(I)).GT.0) MONKMMX=MONKMMX+1  

17710  IF(MONG(I)).GT.0) MONGMMX=MONGMMX+1  

17720  IF(MONI(MONIMMX).GT.1MKX) MONIMMX=MONIMMX-1  

17730  IF(MONJ(MONJMMX).GT.JMX) MONJMMX=MONJMMX-1  

17740  IF(MONK(MONKMMX).GT.KMX) MONKMMX=MONKMMX-1  

17750  IF(MONG(MONGMMX).GT.NGMX) MONGMMX=MONGMMX-1  

17760  11 CONTINUE  

17770  WRITE(6,601) ITROUT  

17780 601  FORMAT(/1H'*** CONVERGENCE INFORMATIONS OF OUTER ITR. NO.',  

17790  & 14, '***')  

17800  C O N V E R G E N C E T E S T S E C T I O N -----  

17810C 1001 MG=1  

17820  DD 3 NG=1,NGMX  

17830  CONVMX(NG)=0.0  

17840  MK=1  

17850  DO 3 K=1,KMX  

17860  MJ=1  

17870  DO 2 J=1,JMX  

17880  DO 1 I=1,IMX  

17890  SCFLIX=SCFL(I,J,K,NG)  

17900  SCLO=SCLOLD(I,J,K,NG)  

17910  CONV(I)=(SCFLIX-SCLO)/SCFLIX  

17920  SCLOLD(I,J,K,NG)=SCFLIX  

17930  CHV=ABS(CONV(I))  

17940  IF(CHV.GE.CONVMX(NG)) CONVMX(NG)=CONV(I)  

17950  1 CONTINUE  

17960  IF(MONT.NE.-1) GOTO 2  

17970  M O N I T O R S E C T I O N N O . 2 -----  

17980  IF(NG.NE.MONG(MG)) GOTO 2  

17990  IF(K.NE.MONK(MK)) GOTO 2  

18000  IF(J.NE.MONJ(MJ)) GOTO 2  

18010  DO 21 MI=1,MONIMX  

18020  CONVM(MI,MJ)=CONV(MONI(MI))  

18030  21 CONTINUE  

18040  MJ=MJ+1  

18050  N E X T J  

18060C ---- N E X T J

```

```

18070      2      CONTINUE
18080      IF(MONT.NE.-1) GOTO 3001
18090C ---- M O N I T O R   S E C T I O N   N O . 3 ----
18100      IF(NG.NE.MONG(MG)) GOTO 3001
18110      IF(K.NE.MONK(MK)) GOTO 3001
18120      WRITE(6,602) NG,K
18130      602      FORMAT(5X,' NG=',I3,3X,' K =',I3//)
18140      WRITE(6,603) (MDNI(MI),MI=1,MONIMX)
18150      603      FORMAT(5X,10(I3,3X)//)
18160      DO 31 MJ=1,MONIMX
18170      DO 32 MI=1,MONIMX
18180      C=ABS((CONVM(MI,MJ)+ALOG(C)/ALOG(10.0))
18190      32      CONTINUE
18200      WRITE(6,604) MDNJ(MJ),(CONVM(MI,MJ),MI=1,MONIMX)
18210      FORMAT(13,2X,10(F6.2])
18220      31      CONTINUE
18230      MK=MK+1
18240      IF(MK.LE.MONIMX) GOTO 301
18250      MG=MG+1
18260      301      CONTINUE
18270C ---- J U D G E   I F   A L L   F L U X E S   C O N V E R G E D   -----
18280      3001      CNVM=ABS((CONVMX(NG)))
18290      CONV=ABS(1.0-EGNOLD/EIGEN)
18300      IF(CNVM.GT.CONCR.OR.CONV.GT.CONCRE) ISTART=0
18310      31      CONTINUE
18320C ---- N E X T   K .   N G
18330      31      CONTINUE
18340C ---- M O N I T O R   S E C T I O N   N O . 4 ----
18350C      ( S T A N D A R D   O P T I O N )
18360C
18370      CMX=0.0
18380      DO 41 NC=1,NGMX
18390      CNV=ABS((CONVMX(NG)))
18400      IF(CMX.GE.CNV) GOTO 101
18410      CMX=CNV
18420      NCX=NG
18430      101      CONTINUE
18440      41      CONTINUE
18450      IHOUR=INT(TIMCPU/60.)
18460      MIN=INT(TIMCPU-FLOAT(IHOUR*60))
18470      SEC=60.0*TIMCPU-FLOAT(3600*IHOUR+60*MIN)
18480      WRITE(6,606) ITROUT,ITREB,RFMX,IHOUR,MIN,SEC,EIGEN,PWRNEW,
18490      & CONVMX(NGX),NGX
18500      606      FORMAT(1H .19,3X,12X,15.6X,1PE12.3,2I6,0PF6.2,2F12.7,1PE12.3,16)
18510      RETURN
18520      END
18530      SUBROUTINE CODA(SCFL,ANGFLI,ANGFLJ,ANGFLK,FISS,QQ)
18540      COMMON /CONT/ IMX,JMX,KMX,MMX,NGMX,MAPMX,NSH,NFIX,ITINMX,
18550      & NOUAD(2,2,2)
18560      DIMENSION SCFL(IMX,IMX,KMX,NGMX), ANGFLI(8,MMIX,IMX+1,IMX,KMX,
18570      & NGMX),ANGFLJ(8,MMIX,IMX,IMX+1,KMX,NGMX),ANGFLK(8,MMIX,IMX,IMX,
18580      & KMX+1,NGMX),QQ(IMX,IMX,KMX,NGMX),IDPT(6),NOUT(6)
18590C ----DUMP OPTIONS-----
18600C      ARRAYS / FLUX,ANI,ANJ,ANK,FIS,SRC/
18610      DATA IDPT / -1,0,0,0,0,-1,0 /
18620      DATA NOUT / 6,9,9,9,6,0 /
18630C      IF(NOUT) (TAKE DUMP ON 'NOUT' FILE + PRINT OUT,
18640      & TAKE NO DUMP,
18650      & TAKE DUMP ON 'NOUT' FILE ONLY.)
18660C
18670      -----.
18680      WRITE(6,666)
18690      666      FORMAT(1H,35X,10(IH),* F L U X   C O N V E R G E D *,10(SH*)//)
18700      CALL REWER(IDPT,NOUT)
18710      IF(IDPT(1).NE.-1) GOTO 101
18720      LREC=IMX*JMX*KMX*NGMX
18730      NF=ABS(NOUT(1))
18740      IF(NF.EQ.0.OR.NF.EQ.6) GOTO 102
18750      CALL DUMPER(NF,2,FLUX,LREC,4H FL,4HUX ,IMX,JMX,KMX,NGMX,+1,-
18760      & 1,4H I ,4H J ,4H K ,4H NG ,4H ,4H )
18770      102      CONTINUE
18780      IF(NOUT(1).LT.0) GOTO 101
18790      CALL DUMPER(6,2,SCFL,LREC,4H LREC,4H FL,4HUX ,IMX,JMX,KMX,NGMX,-1,-
18800      & 1,4H I ,4H J ,4H K ,4H NG ,4H ,4H )
18810      101      CONTINUE
18820      IF(IDPT(2).NE.-1) GOTO 201
18830      LREC=8*MMX*(IMX+1)*JMX*KMX*NGMX
18840      NF=ABS(NOUT(2))
18850      IF(NF.EQ.0.OR.NF.EQ.6) GOTO 202
18860      CALL DUMPER(NF,2,ANGFLI,LREC,4HANG.,4HFL,I, 8 ,MMX,IMX+1,IMX,
18870      & KMX,NGMX,4H IO ,4H M ,4H I ,4H J ,4H K ,4H NG )
18880      202      CONTINUE
18890      IF(NOUT(2).LT.0) GOTO 301
18900      CALL DUMPER(6,2,ANGFLJ,LREC,4HANG.,4HFL,I, 8 ,MMX,IMX+1,IMX,
18910      & KMX,NGMX,4H IO ,4H M ,4H I ,4H J ,4H K ,4H NG )
18920      301      CONTINUE
18930      IF(IDPT(3).NE.-1) GOTO 301
18940      LREC=8*MMX*IMX*(JMX+1)*KMX*NGMX
18950      NF=ABS(NOUT(3))
18960      IF(NF.EQ.0.OR.NF.EQ.6) GOTO 302
18970      CALL DUMPER(NF,2,ANGFLK,LREC,4HANG.,4HFL,I, 8 ,MMX,IMX,IMX+1,
18980      & KMX,NGMX,4H IO ,4H M ,4H I ,4H J ,4H K ,4H NG )
18990      302      CONTINUE
19000      IF(NOUT(3).LT.0) GOTO 301
19010      CALL DUMPER(6,2,ANGFLJ,LREC,4HANG.,4HFL,I, 8 ,MMX,IMX,IMX+1,
19020      & KMX,NGMX,4H IO ,4H M ,4H I ,4H J ,4H K ,4H NG )
19030      301      CONTINUE
19040      IF(IDPT(4).NE.-1) GOTO 401
19050      LREC=8*MMX*IMX*JMX*(KMX+1)*NGMX
19060      NF=ABS(NOUT(4))
19070      IF(NF.EQ.0.OR.NF.EQ.6) GOTO 402
19080      CALL DUMPER(NF,2,ANGFLK,LREC,4HANG.,4HFL,I, 8 ,MMX,IMX,IMX,
19090      & KMX+1,NGMX,4H IO ,4H M ,4H I ,4H J ,4H K ,4H NG )
19100      402      CONTINUE
19110      IF(NOUT(4).LT.0) GOTO 401
19120      CALL DUMPER(6,2,ANGFLK,LREC,4HANG.,4HFL,I, 8 ,MMX,IMX,IMX,
19130      & KMX+1,NGMX,4H IO ,4H M ,4H I ,4H J ,4H K ,4H NG )
19140      401      CONTINUE
19150      IF(IDPT(5).NE.-1) GOTO 501
19160      LREC=IMX*JMX*KMX
19170      NF=ABS(NOUT(5))
19180      IF(NF.EQ.0.OR.NF.EQ.6) GOTO 502
19190      CALL DUMPER(NF,2,FISS,LREC,4H FIS,4HSION,IMX,JMX,KMX,+1,-1,-
19200      & 1,4H I ,4H J ,4H K ,4H ,4H ,4H )
19210      502      CONTINUE
19220      IF(NOUT(5).LT.0) GOTO 501
19230      CALL DUMPER(6,2,FISS,LREC,4H FIS,4HSION,IMX,JMX,KMX,-1,-1,-
19240      & 1,4H I ,4H J ,4H K ,4H ,4H ,4H )
19250      501      CONTINUE
19260      IF(IDPT(6).NE.-1) GOTO 701
19270      LREC=IMX*JMX*KMX*NGMX
19280      NF=ABS(NOUT(6))
19290      IF(NF.EQ.0.OR.NF.EQ.6) GOTO 702
19300      CALL DUMPER(NF,2,QQ,LREC,4H SOU,4HRCE ,IMX,JMX,KMX,NGMX,-1,-
19310      & 1,4H I ,4H J ,4H K ,4H NG ,4H ,4H )
19320      702      CONTINUE
19330      IF(NOUT(6).LT.0) GOTO 701
19340      CALL DUMPER(6,2,QQ,LREC,4H SOU,4HRCE ,IMX,JMX,KMX,NGMX,-1,-
19350

```

```

19360      8   4H  I ,4H  J ,4H  K ,4H  NG ,4H      ]
19370 701 CONTINUE
19380  RETURN
19390  END
19400  SUBROUTINE REACT(SCLFL,ANGFLJ,ANGFLK,GRX,TX,DELX,DELY,DELZ,
19410    & AMU,ETA,AKSI,WGT,XABS,XFIS,XTRA,XSCT,XI,MAP)
19420    DIMENSION SCLFL(1IMX,1JMX,1KMX,1NGMX),ANGFLJ(8,1MFIK,1IMX+1,1JMX,1KMX,
19430    & 1NGMX),ANGFLK(8,1MFIK,1IMX,1JMX+1,1KMX,1NGMX),ANGFLK(8,1MFIK,1IMX,1JMX,
19440    & 1KMX+1,1NGMX),
19450    DIMENSION GRX[30,1NGMX],TX[30],DELX[1IMX],DELY[1JMX],DELZ[1KMX],
19460    & AMU[1MFIK],ETA[1MFIK],AKSI[1MFIK],WGT[1MFIK],XABS[1NGMX,1MAPMX],
19470    & XFIS[1NGMX,1MAPMX],XTRA[1NGMX,1MAPMX],XSCT[1NGMX,1NGMX,1MAPMX],
19480    & XI[1NGMX],MAP[1IMX,1JMX,1KMX]
19490  COMMON /CONTL/IMX,JMX,KMX,MMX,MFIK,NGMX,MAPMX,HSN,NFIK,ITINMX,
19500    & NOUAD(2,2,2)
19510  DD 300 IX=1,30
19520  TX[IX]=O.O
19530  DD 300 NG=1,NGMX
19540  GRX[IX,NG]=O.O
19550 300 CONTINUE
19560  DO 1 NG=1,NGMX
19570  DO 1 K=1,KMX
19580  DO 1 J=1,JMX
19590  DO 1 I=1,IMX
19600  FLXVOL=SCLFL(I,J,K,NG)*DELX(I)*DELY(J)*DELZ(K)
19610  MAPI=MAP(I,J,K)
19620  GRX(1,NG)=GRX(1,NG)+FLXVOL
19630  GRX(2,NG)=GRX(2,NG)+XFIS(NG,MAPI)*FLXVOL
19640  GRX(3,NG)=GRX(3,NG)+XABS(NG,MAPI)*FLXVOL
19650  GRX(4,NG)=GRX(4,NG)+XTRA(NG,MAPI)*FLXVOL
19660  GRX(25,NG)=GRX(25,NG)+XSCT(NG,NG,MAPI)*FLXVOL
19670  DO 310 NN=1,NG-1
19680  FLXVOL=SCLFL(I,J,K,NN)*DELX(I)*DELY(J)*DELZ(K)
19690  SSS=XSCT(NN,NG,MAPI)*FLXVOL
19700  GRX(26,NG)=GRX(26,NG)+SSSS
19710 310 CONTINUE
19720  DD 311 NN=NG-1,NGMX
19730  FLXVOL=SCLFL(I,J,K,NN)*DELX(I)*DELY(J)*DELZ(K)
19740  SSS=XSCT(NN,NG,MAPI)*FLXVOL
19750  GRX(27,NG)=GRX(27,NG)+SSSS
19760 311 CONTINUE
19770 1 CONTINUE
19780  DD 2 NG=1,NGMX
19790  DO 301 J=1,JMX
19800  DO 301 K=1,KMX
19810  SQ=DELY(J)*DELZ(K)
19820  DO 301 JD=1,2
19830  DO 301 KD=1,2
19840  IO1=NOUAD(1,JD,KD)
19850  IO2=NOUAD(2,JD,KD)
19860  DD 301 M=1,MMX
19870  WAM=WGT(M)*AMU(M)=SQ
19880  AF=ANGFLJ(IO2,M,1,J,K,NG)
19890  GRX(6,NG)=GRX(6,NG)+AF*WAM
19900  AF=ANGFLJ(IO1,M,1,J,K,NG)
19910  GRX(12,NG)=GRX(12,NG)+AF*WAM
19920  AF=ANGFLJ(IO1,M,1IMX+1,J,K,NG)
19930  GRX(7,NG)=GRX(7,NG)+AF*WAM
19940  AF=ANGFLJ(IO2,M,1IMX+1,J,K,NG)
19950  GRX(13,NG)=GRX(13,NG)+AF*WAM
19960 301 CONTINUE
19970  GRX(18,NG)=GRX(12,NG)-GRX(6,NG)
19980  GRX(19,NG)=GRX(13,NG)-GRX(7,NG)
19990  DD 302 K=1,KMX
20000  DO 302 I=1,IMX
20010  SQ=DELZ(K)*DELX(I)
20020  DO 302 KD=1,2
20030  DO 302 ID=1,2
20040  IO1=NOUAD(ID,1,KD)
20050  IO2=NOUAD(ID,2,KD)
20060  DO 302 M=1,MMX
20070  WET=WGT(M)=ETA(M)=SQ
20080  AFF=ANGFLJ(IO2,M,1,I,K,NG)
20090  GRX(8,NG)=GRX(8,NG)+AFF*WET
20100  AFF=ANGFLJ(IO1,M,1,I,K,NG)
20110  GRX(14,NG)=GRX(14,NG)+AFF*WET
20120  AFF=ANGFLJ(IO1,M,1,1JMXX+1,K,NG)
20130  GRX(9,NG)=GRX(9,NG)+AFF*WET
20140  AFF=ANGFLJ(IO2,M,1,1JMXX+1,K,NG)
20150  GRX(15,NG)=GRX(15,NG)+AFF*WET
20160 302 CONTINUE
20170  GRX(20,NG)=GRX(14,NG)-GRX(8,NG)
20180  GRX(21,NG)=GRX(15,NG)-GRX(9,NG)
20190  DD 303 I=1,IMX
20200  DO 303 J=1,JMX
20210  SQ=DELX(I)*DELY(J)
20220  DO 303 ID=1,2
20230  DO 303 JD=1,2
20240  IO1=NOUAD(ID,JD,1)
20250  IO2=NOUAD(ID,JD,2)
20260  DO 303 M=1,MMX
20270  WAK=WGT(M)*AKSI(M)*SQ
20280  AF=ANGFLK(IO2,M,1,J,1,NG)
20290  GRX(10,NG)=GRX(10,NG)+AF*WAK
20300  AF=ANGFLK(IO1,M,1,J,1,NG)
20310  GRX(16,NG)=GRX(16,NG)+AF*WAK
20320  AF=ANGFLK(IO1,M,1,J,1KMX+1,NG)
20330  GRX(11,NG)=GRX(11,NG)+AF*WAK
20340  AF=ANGFLK(IO2,M,1,J,1KMX+1,NG)
20350  GRX(17,NG)=GRX(17,NG)+AF*WAK
20360 303 CONTINUE
20370  GRX(22,NG)=GRX(16,NG)-GRX(10,NG)
20380  GRX(23,NG)=GRX(17,NG)-GRX(11,NG)
20390  DD 304 IX=1,30
20400  TX[IX]=TX[IX]+GRX(IX,NG)
20410 304 CONTINUE
20420 2 CONTINUE
20430  TLEAK=0.0
20440  DO 305 IX=18,23
20450  TLEAK=TLEAK+TX[IX]
20460 305 CONTINUE
20470  EIGEN=TX(2)/(ITX(3)+TLEAK)
20480  PWRNEW=TX(2)
20490  DD 306 NG=1,NGMX
20500  GRX(29,NG)=TX(2)*XI(NG)/EIGEN
20510  GRX(30,NG)=GRX(4,NG)-GRX(25,NG)
20520  DD 306 IX=18,23
20530  GRX(30,NG)=GRX(30,NG)+GRX(IX,NG)
20540 306 CONTINUE
20550  DD 307 NG=1,NGMX
20560  DO 307 K=1,KMX
20570  DO 307 J=1,JMX
20580  DO 307 I=1,IMX
20590  SCLFL(I,J,K,NG)=SCLFL(I,J,K,NG)/PWRNEW
20600 307 CONTINUE
20610  WRITE(6,600)
20620 600 FORMAT(1H1,20X,17(1H*),
20630  & ' R E A C T I O N   R A T E S   T A B L E ', 17(1H*)//////)
20640  WRITE(6,601)

```

```

20650 601 FORMAT(12X,5HGROUP,12H FLUX*VOLUME,12H FISSION
20660 8 12H ABSORPTION,12H REMVAL ,12H TRANSPORT,
20670 8 12H SELF SCAT.,12H UP SCAT.,12H DOWN SCAT./)
20680 DO 320 NG=1,NGMX
20690 WRITE(6,602) NG,GRX(1,NG),GRX(29,NG),GRX(3,NG),GRX(30,NG),GRX(4,
20700 8 ,NG),GRX(25,NG),GRX(27,NG),GRX(26,NG)
20710 320 CONTINUE
20720 602 FORMAT(12X,I3,2X,8(1PE12.4))
20730 WRITE(6,602) TX(1),TX(29),TX(3),TX(30),TX(4),TX(25),TX(27), TX(26)
20740 603 FORMAT(12X,5HTOTAL,8(1PE12.4)//)
20750 WRITE(6,604)
20760 604 FORMAT(5X,'IN FLOWS')
20770 WRITE(6,605)
20780 605 FORMAT(124X,5HGROUP,12H LEFT .12H RIGHT
20790 8 12H FRONT .12H BACK .12H TOP
20800 8 12H BOTTOM /)
20810 DO 321 NG=1,NGMX
20820 WRITE(6,606) NG,GRX(6,NG),GRX(7,NG),GRX(8,NG),GRX(9,NG),GRX(10,
20830 8 ,NG),GRX(11,NG)
20840 321 CONTINUE
20850 606 FORMAT(124X,I3,2X,6(1PE12.4))
20860 WRITE(6,607) TX(6),TX(7),TX(8),TX(9),TX(10),TX(11)
20870 607 FORMAT(124X,5HTOTAL,6(1PE12.4)//)
20880 WRITE(6,608)
20890 608 FORMAT(5X,'OUT FLOWS')
20900 WRITE(6,609)
20910 DO 322 NG=1,NGMX
20920 WRITE(6,606) NG,GRX(12,NG),GRX(13,NG),GRX(14,NG),GRX(15,NG),
20930 8 ,GRX(16,NG),GRX(17,NG)
20940 322 CONTINUE
20950 WRITE(6,607) TX(12),TX(13),TX(14),TX(15),TX(16),TX(17)
20960 WRITE(6,609)
20970 609 FORMAT(5X,'NET FLOWS')
20980 WRITE(6,605)
20990 DD 323 NG=1,NGMX
21000 WRITE(6,606) NG,GRX(18,NG),GRX(19,NG),GRX(20,NG),GRX(21,NG),
21010 8 ,GRX(22,NG),GRX(23,NG)
21020 323 CONTINUE
21030 WRITE(6,607) TX(18),TX(19),TX(20),TX(21),TX(22),TX(23)
21040 WRITE(6,610) TX(2),TX(3),TLEAK,EIGEN
21050 610 FORMAT(//10X,'TOTAL FISSION ',1PE12.4/10X,
21060 8 'TOTAL ABSORPTION ',1PE12.4/10X,'TOTAL LEAKAGE ',1PE12.4/
21070 8 '10X,EIGEN VALUE ',OPF11.4//1H1,20X,10I1H*),
21080 8 'POWER AVERAGE FLUX DISTRIBUTION ',
21090 8 'N S ',10I1H*)
21100 LREC=IMX*JMX*KMX=NGMX
21110 CALL DUMPER(6,2,SCLFL,REC,4H SCL,4HFL ,IMX,JMX,KMX,NGMX,-1,-1,
21120 8 4H I ,4H J ,4H K ,4H NG ,4H ,4H )
21130 RETURN
21140 END
21150 SUBROUTINE REWER(IOP,TNDUT)
21160 DIMENSION IDPT(6),NOUT(6)
21170 DO 1 IOP=1,6
21180 IF(IOPT(IOP).LE.0) GOTO 101
21190 NF=1ABS(NOUT(IOPT(IOP)))
21200 REWIND NF
21210 101 CONTINUE
21220 1 CONTINUE
21230 RETURN
21240 END
21250 SUBROUTINE DUMPRD(DELX,DELY,DELZ,MAP,XABS,KFIS,XTRA,XSCT,XI,
21260 & IBNDCH,ISCTMX,ISCTMN,ANGFLJ,ANGFLK,SCLFL,SCLOL2, BALX,
21270 & BALY,BALZ)
21280 DIMENSION DELX(IMX),DELY(JMX),DELZ(KMX),MAP(IMX,JMX,KMX),
21290 & XABS(NGMX,MAPMX),XFIS(NGMX,MAPMX),XTRA(NGMX,MAPMX),XSCT(NGMX,
21300 & NGMX,MAPMX),XI(NGMX),IBNDCH(3,2),ISCTMX(NGMX,MAPMX),
21310 & ISCTMN(NGMX,MAPMX)
21320 DIMENSION ANGFLJ(8,MFIX,IMX+1,JMX,KMX,NGMX),ANGFLJ(8,MFIX,IMX,JMX+
21330 8 ,1,KMX,NGMX),ANGFLJ(8,MFIX,IMX,JMX,KMX+1,NGMX)
21340 DIMENSION SCLFL(IMX,JMX,KMX,NGMX),SCLOL2(IMX,JMX,KMX,NGMX),
21350 & BALX(2,IMX+1,JMX,KMX),BALY(2,IMX,JMX+1,KMX),BALZ(2,IMX,JMX,KMX+
21360 8 ,1)
21370 COMMON /CONTL/IMX,JMX,KMX,MMX,MMXD,MFI XD,NGMXD,MAPMXD,NSND,NFI XD
21380 & NOUAD(2,2,2)
21390 COMMON /MONIT/EGNOLD,EIGEN,PWRDLD,PWRNEW,CONCR,CONCRE,
21400 & CONCRR,TIMOUT,TIMMLT,ITCPU,ITROUT,ITRIN,ITREB,ISTA,IPRV,NOW,
21410 & INMXM,JMXM,KMXM,NGMXM
21420 REWIND 1
21430 READ(1) IMXD,JMXD,KMXD,MMXD,MFI XD,NGMXD,MAPMXD,NSND,NFI XD
21440 IF(IMX.NE.IMXD) STOP '.... INPUT MISMATCH IN *IMX*'
21450 IF(JMX.NE.JMXD) STOP '.... INPUT MISMATCH IN *JMX*'
21460 IF(KMX.NE.KMXD) STOP '.... INPUT MISMATCH IN *KMX*'
21470 IF(NGMX.NE.NGMXD) STOP '.... INPUT MISMATCH IN *NGMX*'
21480 IF(MAPMX.NE.MAPMXD) STOP '.... INPUT MISMATCH IN *MAPMX*'
21490 IF(NSND.NE.NSND) STOP '.... INPUT MISMATCH IN *NSND*'
21500 READ(1) EGNOLD,EIGEND,PWRDLD,PWRNEW
21510 IF(EIGEN,LE,0,0) EIGEN=EIGEND
21520 READ(1) (DELX(I),I=1,IMX)
21530 READ(1) (DELY(J),J=1,JMX)
21540 READ(1) (DELZ(K),K=1,KMX)
21550 DO 1 K=1,KMX
21560 DD 1 J=1,JMX
21570 READ(1) (MAP(I,J,K),I=1,IMX)
21580 1 CONTINUE
21590 DO 10 M=1,MAPMX
21600 READ(1) (XABS(N,M),N=1,NGMX)
21610 READ(1) (XFIS(N,M),N=1,NGMX)
21620 READ(1) (XTRA(N,M),N=1,NGMX)
21630 10 CONTINUE
21640 DD 2 M=1,MAPMX
21650 DD 2 N=1,NGMX
21660 READ(1) (XSCT(L,N,M),L=1,NGMX)
21670 2 CONTINUE
21680 READ(1) (XI(N),N=1,NGMX)
21690 DD 11 J=1,2
21700 READ(1) (IBNDCN(I,J),J=1,3)
21710 11 CONTINUE
21720 DD 12 M=1,MAPMX
21730 READ(1) (ISCTMX(N,M),N=1,NGMX)
21740 READ(1) (ISCTMN(N,M),N=1,NGMX)
21750 12 CONTINUE
21760 DO 3 N=1,NGMX
21770 DD 3 K=1,KMX
21780 DD 3 J=1,JMX
21790 DD 3 I=1,IMX+1
21800 DD 3 M=1,MFIX
21810 READ(1) (ANGFLJ(L,M,I,J,K,N),L=1,8)
21820 3 CONTINUE
21830 DO 4 N=1,NGMX
21840 DD 4 K=1,KMX
21850 DD 4 J=1,JMX+1
21860 DD 4 I=1,IMX
21870 DD 4 M=1,MFIX
21880 READ(1) (ANGFLJ(L,M,I,J,K,N),L=1,8)
21890 4 CONTINUE
21900 DO 5 N=1,NGMX
21910 DD 5 K=1,KMX+1
21920 DD 5 J=1,JMX
21930 DD 5 I=1,IMX

```

```

21940      DO 5 M=1,MFIX
21950      READ(1) [ANGFLK(L,M,I,J,K,N),L=1,8]
21960 5 CONTINUE
21970      DO 7 N=1,NGMX
21980      DO 7 K=1,KMX
21990      DO 7 J=1,IMX
22000      READ(1) [SCLDL2(I,J,K,N),I=1,IMX]
22010 7 CONTINUE
22020      DO 8 N=1,NGMX
22030      DO 8 K=1,KMX
22040      DO 8 J=1,IMX
22050      READ(1) [SCLFL(I,J,K,N),I=1,IMX]
22060 8 CONTINUE
22070      DO 14 K=1,KMX
22080      DO 14 J=1,IMX
22090      DO 14 I=1,IMX+1
22100      READ(1) [BALX(ID,I,J,K),ID=1,2]
22110 14 CONTINUE
22120      DO 15 K=1,KMX
22130      DO 15 J=1,IMX+1
22140      DO 15 I=1,IMX
22150      READ(1) [BALY(ID,I,J,K),ID=1,2]
22160 15 CONTINUE
22170      DO 16 K=1,KMX+1
22180      DO 16 J=1,IMX
22190      DO 16 I=1,IMX
22200      READ(1) [BALZ(ID,I,J,K),ID=1,2]
22210 16 CONTINUE
22220      WRITE(6,601)
22230 601 FORMAT(//1H ,132(1H*)//25X,
22240     & 'R E S T A R T   D A T A   G O T T E N',
22250     & '   F R O M   U N I T   N O . 1'//1H ,132(1H*)//)
22260      REWIND 1
22270      RETURN
22280      END
22290      SUBROUTINE DUMPPWR(DELX,DELY,DELZ,MAP,XABS,XFIS,XTRA,XSCF,XI,
22300     & IBNDCN,ISCTMX,ISCTMN,ANGFLJ,ANGFLK,SCLFL,SCLDL2,BALX,
22310     & BALY,BALZ)
22320      DIMENSION DELX(IMX),DELY(IMX),DELZ(KMX),MAP(IMX,IMX,KMX),
22330     & XABS(NGMX,MAPMX),XFIS(NGMX,MAPMX),XTRA(NGMX,MAPMX),XSCF(NGMX,
22340     & NGMX,MAPMX),XI(NGMX),IBNDCN(3,2),ISCTMX(NGMX,MAPMX),
22350     & ISCTMN(NGMX,MAPMX)
22360      DIMENSION ANGFLJ(8,MPFIX,IMX+1,IMX,KMX,NGMX),ANGFLK(8,MPFIX,IMX,IMX+1,
22370     & 1,KMX,NGMX),ANGFLK(8,MPFIX,IMX,IMX,KMX+1,NGMX)
22380      DIMENSION SCLFL(IMX,IMX,KMX,NGMX),SCLDL2(IMX,IMX,KMX,NGMX),
22390     & BALX(2,IMX+1,IMX,KMX),BALY(2,IMX,IMX+1,KMX),BALZ(2,IMX,IMX,KMX+1)
22400     & 1)
22410      COMMON /CONTL/IMX,IMX,KMX,MMX,MPFIX,NGMX,MAPMX,NSN,NFIIX,
22420     & NOUAD(2,2,2)
22430      COMMON /MONIT/EGNOLD,EIGEN,PWROLD,PWRNEW,CONCR,CONCRI,CONCRE,
22440     & CONCR,TIMOUT,TIMLMT,TIMCPU,ITROUT,ITRIN,ITREB,ISTA,IPRV,NOW,
22450     & IMXM, JMXM, KMXM, NGMXM
22460      REWIND 2
22470      WRITE(2) IMX,JMX,KMX,MMX,MPFIX,NGMX,MAPMX,NSN,NFIIX
22480      WRITE(2) EGNOLD,EIGEN,PWROLD,PWRNEW
22490      WRITE(2) (DELX(I),I=1,IMX)
22500      WRITE(2) (DELY(J),J=1,IMX)
22510      WRITE(2) (DELZ(K),K=1,KMX)
22520      DO 1 K=1,KMX
22530      DO 1 J=1,IMX
22540      WRITE(2) (MAP(I,J,K),I=1,IMX)
22550 1 CONTINUE
22560      DO 10 M=1,MAPMX
22570      WRITE(2) (XABS(N,M),N=1,NGMX)
22580      WRITE(2) (XFIS(N,M),N=1,NGMX)
22590      WRITE(2) (XTRA(N,M),N=1,NGMX)
22600 10 CONTINUE
22610      DO 12 M=1,MAPMX
22620      DO 12 N=1,NGMX
22630      WRITE(2) (XSCT(L,N,M),L=1,NGMX)
22640 12 CONTINUE
22650      WRITE(2) (XI(N),N=1,NGMX)
22660      DO 11 J=1,2
22670      WRITE(2) (IBNDCN(I,J),I=1,3)
22680 11 CONTINUE
22690      DO 13 M=1,MAPMX
22700      WRITE(2) (ISCTMX(N,M),N=1,NGMX)
22710      WRITE(2) (ISCTMN(N,M),N=1,NGMX)
22720 13 CONTINUE
22730      DO 3 N=1,NGMX
22740      DO 3 K=1,KMX
22750      DO 3 J=1,IMX
22760      DO 3 I=1,IMX+1
22770      DO 3 M=1,MPFIX
22780      WRITE(2) (ANGFLJ(L,M,I,J,K,N),L=1,8)
22790 3 CONTINUE
22800      DO 4 N=1,NGMX
22810      DO 4 K=1,KMX
22820      DO 4 J=1,IMX+1
22830      DO 4 I=1,IMX
22840      DO 4 M=1,MPFIX
22850      WRITE(2) (ANGFLJ(L,M,I,J,K,N),L=1,8)
22860 4 CONTINUE
22870      DO 5 N=1,NGMX
22880      DO 5 K=1,KMX+1
22890      DO 5 J=1,IMX
22900      DO 5 I=1,IMX
22910      DO 5 M=1,MPFIX
22920      WRITE(2) (ANGFLK(L,M,I,J,K,N),L=1,8)
22930 5 CONTINUE
22940      DO 7 N=1,NGMX
22950      DO 7 K=1,KMX
22960      DO 7 J=1,IMX
22970      WRITE(2) (SCLDL2(I,J,K,N),I=1,IMX)
22980 7 CONTINUE
22990      DO 8 N=1,NGMX
23000      DO 8 K=1,KMX
23010      DO 8 J=1,IMX
23020      WRITE(2) (SCLFL(I,J,K,N),I=1,IMX)
23030 8 CONTINUE
23040      DO 14 K=1,KMX
23050      DO 14 J=1,IMX
23060      DO 14 I=1,IMX+1
23070      WRITE(2) (BALX(ID,I,J,K),ID=1,2)
23080 14 CONTINUE
23090      DO 15 K=1,KMX
23100      DO 15 J=1,IMX+1
23110      DO 15 I=1,IMX
23120      WRITE(2) (BALY(ID,I,J,K),ID=1,2)
23130 15 CONTINUE
23140      DO 16 K=1,KMX+1
23150      DO 16 J=1,IMX
23160      DO 16 I=1,IMX
23170      WRITE(2) (BALZ(ID,I,J,K),ID=1,2)
23180 16 CONTINUE
23190      WRITE(6,601)
23200 601 FORMAT(//1H ,132(1H*)//25X,'R E S T A R T   D U M P   T A K E N',
23210     & '   O N   U N I T   N O . 2'//1H ,132(1H*)//)
23220      REWIND 2

```

```

23230      END
23240      SUBROUTINE DUMPER(NFOUT,IFUNC,ARRAY,LREC,NAME1,NAME2,IDMX1, IDMX2,
23250      & IDMX3, IDMX4, IDMX5, IDMX6, IDNAM1, IDNAM2, IDNAM3, IDNAM4, IDNAM5,
23260      & IDNAM6)
23270      DIMENSION IDMX(6),IDNAME(6),IDNUMB(6)
23280      CHARACTER=4 IDNAME,NAME1,NAME2
23290      CHARACTER=4 IDNAM1, IDNAM2, IDNAM3, IDNAM4, IDNAM5, IDNAM6
23310      IDMX(1)=IDMX1
23320      IDMX(2)=IDMX2
23330      IDMX(3)=IDMX3
23340      IDMX(4)=IDMX4
23350      IDMX(5)=IDMX5
23360      IDMX(6)=IDMX6
23370      IDNAME(1)=IDNAM1
23380      IDNAME(2)=IDNAM2
23390      IDNAME(3)=IDNAM3
23400      IDNAME(4)=IDNAM4
23410      IDNAME(5)=IDNAM5
23420      IDNAME(6)=IDNAM6
23430      IF(NFDOUT.EQ.6) GOTO 3
23440      GOTO(1,2),IFUNC
23450C =
23460      1    CONTINUE
23470C*   INTEGER DUMP * * * *
23480      DO 11 ID=1,LREC
23490      WRITE(NFOUT) INT(ARRAY(ID))
23500      11    CONTINUE
23510      RETURN
23520C =
23530      2    CONTINUE
23540C*   REAL DUMP * * * *
23550      DO 21 ID=1,LREC
23560      WRITE(NFOUT) ARRAY(ID)
23570      21    CONTINUE
23580      RETURN
23590C =
23600      3    CONTINUE
23610C*   BLOCKED DATA ARIA * * * *
23620      WRITE(6,601) NAME1,NAME2, IDNAM1, IDNAM2
23630      601 FORMAT(//1H .10(2H= ),' D U M P   L I S T   O F ',2A4,10(2H =)/
23640      & 15X,'( ',AC,' FOR HORIZONTAL   ',A4,' FOR VERTICAL ARRAYS. )'//)
23650      LBREC=IDMX(1)+IDMX(2)+IDMX(3)+IDMX(4)+IDMX(5)+IDMX(6)
23660      IF(LBREC.LT.0) LBREC=-LBREC
23670      IF(LREC.NE.LBREC) STOP '...RECORD SIZE ERROR.'
23680      IDIM=0
23690      DO 300 ID=1,6
23700      IF(IDMX(ID).EQ.-1) GOTO 300
23710      IF(IDMX(ID).EQ.0.DR.IDMX(ID).LT.-1)
23720      &  STOP '...DUMP OPTION ERROR.'
23730      IDIM=IDIM+1
23740      300 CONTINUE
23750      DO 303 ID=1,6
23760      IDMX(ID)=IABS(IDMX(ID))
23770      303 CONTINUE
23780      DO 30 ID6=1, IDMX(6)
23790      IDNUMB(6)=ID6
23800      DO 30 ID5=1, IDMX(6)
23810      IDNUMB(5)=ID5
23820      DO 30 ID4=1, IDMX(4)
23830      IDNUMB(4)=ID4
23840      IF(IDIM.LT.4) GOTO 5
23850      WRITE(6,602) (IDNAME(IDS),IDNUMB(IDS),IDS=4,1DIM)
23860      602 FORMAT(5X,3(A4,' ',I3,3X)//)
23870      5    CONTINUE
23880      DO 30 ID3=1, IDMX(3)
23890      WRITE(6,602) IDNAM3, ID3
23900      IF(IFUNC.EQ.1) GOTO 6
23910      WRITE(6,602) (ID1, ID1=1, IDMX(1))
23920      603  FORMAT(5X,10(1I6,6X)//)
23930      6    CONTINUE
23940      GOTO(31,32),IFUNC
23950C =
23960      31    CONTINUE
23970C*   BLOCKED INTEGER DUMP * * * *
23980      DO 301 ID2=1, IDMX(2)
23990      &  IDD=(((((ID6-1)*IDMX(5)+ID5-1)*IDMX(4)+ID4-1)*IDMX(3)+
24000      &  ID3-1)*IDMX(2)+ID2-1)*IDMX(1))
24010      604  FORMAT(1H ,3014)
24020      301  CONTINUE
24030      GOTO 999
24040      GOTO 999
24050C =
24060      32    CONTINUE
24070C*   BLOCKED REAL DUMP * * * *
24080      DO 302 ID2=1, IDMX(2)
24090      &  IDD=(((((ID6-1)*IDMX(5)+ID5-1)*IDMX(4)+ID4-1)*IDMX(3)+
24100      &  ID3-1)*IDMX(2)+ID2-1)*IDMX(1))
24110      605  WRITE(6,605) ID2,(ARRAY(IDD+ID1),ID1=1, IDMX(1))
24120      302  CONTINUE
24130      999  CONTINUE
24140      30 CONTINUE
24150      RETURN
24160      END

```